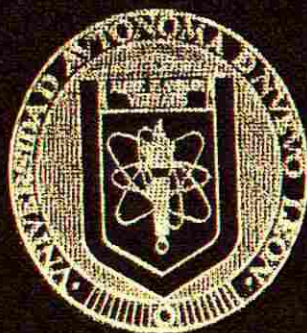


UNIVERSIDAD AUTONOMA DE NUEVO LEON

FACULTAD DE INGENIERIA MECANICA
Y ELECTRICA

DIVISION DE ESTUDIOS POSTGRADO



NUEVA FAMILIA DE VENTANAS PARA
ESTIMACION ESPECTRAL Y DISEÑO
DE FILTROS DIGITALES

POR

RODOLFO RUBEN TREVIÑO MARTINEZ

T E S I S

EN OPCION AL GRADO DE MAESTRO EN
CIENCIAS DE LA INGENIERIA CON
ESPECIALIDAD EN TELECOMUNICACIONES

CIUDAD UNIVERSITARIA

MAYO DE 1999

ÍNDICE

<i>Agradecimientos</i>	iv
<i>Resumen</i>	v
<i>Índice de figuras</i>	xii
<i>Índice de tablas</i>	xvi

CAPÍTULO I. INTRODUCCIÓN

1.1 Introducción	1
1.2 Antecedentes del proyecto de tesis	2
1.3 Operación general del sistema	5
1.4 Objetivos de la tesis	6
1.5 Estructura de la tesis	7

CAPÍTULO 2. CARACTERÍSTICAS DEL PROCESADOR DE SEÑALES

2.1 Introducción	9
2.2 Organización del <i>hardware</i>	10
2.3 Tratamiento de las señales analógicas de entrada	12
2.4 Organización del <i>software</i>	13
2.5 Introducción al sistema operativo	13
2.5.1 Intérprete de instrucciones	14
2.5.2 Estados del intérprete de instrucciones	15
2.6 Definiciones	15
2.6.1 Estructuras de datos	15
2.6.2 Memoria intermedia de entrada (Input channel pipe)	16
2.6.3 Memoria intermedia de salida (Output channel pipe)	16
2.6.4 Memorias intermedias de comunicación (Communication pipes)	16

INDICE (continuación)

2.7 Instrucciones del sistema operativo	17
2.8 Transferencia de datos hacia la computadora anfitriona	19
2.9 Consideraciones para aumentar la eficiencia de una aplicación	19
2.10 Desbordamiento de datos de una memoria intermedia	20
2.11 Herramientas de <i>software</i> para el desarrollo de aplicaciones	21
2.12 Programación con lenguajes de alto nivel	21
2.12.1 Memorias intermedias de comunicación en la computadora anfitriona	22
2.12.2 Dispositivos ACCEL	22
2.13 Interacción con la tarjeta procesadora mediante el lenguaje de programación C	23
2.13.1 Programa que establece comunicación en formato texto	24
2.13.2 Transferencia de bloques binarios para su registro en disco	25
2.14 Programación de tareas de procesamiento	29
2.15 Conclusiones	32

CAPÍTULO 3. NUEVA FAMILIA DE VENTANAS PARA ESTIMACIÓN ESPECTRAL Y DISEÑO DE FILTROS DIGITALES

3.1 Introducción	35
3.2 Obtención de la nueva ventana	37
3.3 Aproximación a una curva gaussiana	40
3.4 Definición de una ventana	42
3.5 Comparación de la ventana propuesta con las ventanas clásicas	47
3.6 Análisis de señales senoidales	51
3.7 Espectrogramas	53
3.8 Aplicaciones de la nueva familia de ventanas en el diseño de filtros FIR	54

ÍNDICE (continuación)

3.8.1 Discretización de los filtros	56
3.8.2 Implementación de los filtros	58
3.9 Conclusiones	59

CAPÍTULO 4. NUEVOS FILTROS DIGITALES PARA DETECCIÓN DE FALLAS

4.1 Introducción	61
4.2 Familia de filtros pasapares	63
4.3 Filtrado digital para la detección de fallas empleando el filtro pasapares de orden uno en conjunción con un filtro de promedio deslizante de medio ciclo de duración	69
4.4 Filtrado digital para la detección de fallas empleando el filtro pasapares de orden dos en conjunción con un filtro de promedio deslizante de un ciclo de duración	71
4.5 Evaluación de los filtros ante señales de corriente de falla	73
4.5.1 Evaluación del filtro pasapares de orden uno	74
4.5.2 Evaluación del filtro pasapares de orden dos	75
4.5.3 Evaluación del filtro pasapares de orden cuatro	75
4.5.4 Evaluación del esquema de filtrado integrado por el filtro pasapares de orden uno en conjunción con el filtro de promedio deslizante de medio ciclo de duración	79
4.5.5 Evaluación del esquema de filtrado integrado por el filtro pasapares de orden dos en conjunción con el filtro de promedio deslizante de un ciclo de duración	79
4.6 Evaluación de los filtros ante señales de voltaje de falla	82
4.6.1 Evaluación del filtro pasapares de orden uno	82
4.6.2 Evaluación del filtro pasapares de orden dos	83
4.6.3 Evaluación del filtro pasapares de orden cuatro	84
4.6.4 Evaluación del esquema de filtrado integrado por el filtro pasapares de orden uno en conjunción con el filtro de promedio deslizante de medio ciclo de duración	84

ÍNDICE (continuación)

4.6.5 Evaluación del esquema de filtrado integrado por el filtro pasapares de orden dos en conjunción con el filtro de promedio deslizante de un ciclo de duración	86
4.7 Conclusiones	86

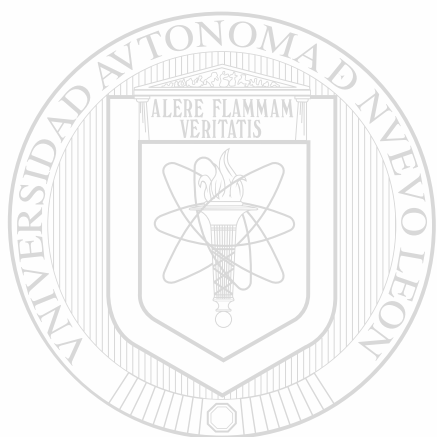
CAPÍTULO 5. APLICACIÓN DE LOS NUEVOS FILTROS DIGITALES EN UN REGISTRADOR DE FALLAS

5.1 Introducción	89
5.2 Descripción general del sistema	89
5.3 Diagrama de transición de estados del programa principal	92
5.3.1 Estado 0: Programa inactivo	92
5.3.2 Estado 1: Configuración inicial	93
5.3.3 Estado 2: Monitor	94
5.3.4 Estado 3: Registro de datos	95
5.3.5 Estado 4: Comunicaciones	95
5.3.6 Estado 5: Configuración local	96
5.3.7 Transiciones entre los dispositivos	98
5.4 Acondicionamiento y configuración de las señales analógicas de entrada	99
5.5 Descripción de la lógica de operación del algoritmo de detección	101
5.6 Diagrama de transición de estados del algoritmo de detección	104
5.6.1 Estado 0: Inactivo	104
5.6.2 Estado 1: Configuración inicial	104
5.6.3 Estado 2: Detección de la falla	104
5.6.4 Estado 3: Transferencia de datos	105
5.6.5 Transiciones entre los dispositivos	105
5.7 Funciones principales del algoritmo de detección	106
5.8 Conclusiones	109

ÍNDICE (continuación)

CAPÍTULO 6. CONCLUSIONES

6.1 Conclusiones	110
6.2 Aportaciones	112
6.3 Recomendaciones para trabajos futuros	113
REFERENCIAS	115
RESUMEN AUTOBIOGRÁFICO	119



UANL

UNIVERSIDAD AUTÓNOMA DE NUEVO LEÓN



DIRECCIÓN GENERAL DE BIBLIOTECAS

ÍNDICE DE FIGURAS

1.1	Diagrama a bloques de los componentes físicos que integran el sistema	5
2.1	Organización del <i>hardware</i> de la tarjeta procesadora	11
2.2	Organización del <i>software</i> para una aplicación típica	14
2.3	Diagrama que representa el papel desempeñado por el controlador ACCEL al coordinar la comunicación entre la computadora anfitriona y la tarjeta procesadora	23
3.1	Respuesta a la frecuencia del filtro pasa bajos ideal de ancho de banda f_0	37
3.2	Función seno cardinal de amplitud $2f_0$, $To_0(u) = 2senc(2\pi u) = Tv(u)$ y $u=t/T$	38
3.3	Características frecuenciales de las funciones $O_N(u)$, $u=f/f_0$	40
3.4	Características temporales de las funciones $o_N(u)$, para una duración de cuatro ciclos, $u=t/T$ y $N=0,2,4,8$	40
3.5	Espectro de amplitud (en dB) de la nueva ventana para diferentes valores del factor leptógeno, manteniendo constante la duración $D=3T$ con $M=32$. a) $N=2$. b) $N=4$. c) $N=6$. d) $N=8$	44
3.6	Espectro de amplitud (en dB) de la nueva ventana (considerando $N=4$ en todos los casos) para diferentes valores del intervalo de duración D con $M=32$. a) $D=T$. b) $D=2T$. c) $D=3T$. d) $D=4T$	45
3.7	Espectro de amplitud (en dB) de la nueva ventana para diferentes cantidades de muestras M , manteniendo constante la duración $D=3T$, con $N=4$. a) $M=16$. b) $M=32$. c) $M=64$. d) $M=128$	46
3.8	Espectro de amplitud para diferentes ventanas	48
3.9	Espectro de amplitud que muestra la nueva ventana equivalente para algunas ventanas clásicas tomando $L=32$ muestras. La nueva ventana requirió $N=4$ y una duración $D=2.6T$ en ambas gráficas. a) Ventana equivalente a la de Hamming. b) Ventana equivalente a la de Hanning	50
3.10	Espectro de amplitud para dos tonos puros empleando diferentes ventanas. a) Ventana rectangular. b) Ventana de Hanning. c) Ventana de Hamming. d) Ventana \bar{o}_4	53
3.11	Espectrogramas que ilustran el transitorio de una señal en la que se introduce una segunda componente armónica a) Ventana \bar{o}_4 . b) Ventana rectangular	54
3.12	Filtro convencional de Fourier tipo coseno, donde $u=f/f_0$	57

ÍNDICE DE FIGURAS (continuación)

3.13	Respuesta a la frecuencia del filtro $H_c(f)$ utilizando la ventana $\bar{\sigma}_2(t)$ de duración $D=3T$ y $M=32$, donde $u=ff_0$	57
4.1	Ejemplo de señal de corriente de falla con componente aperiódica para una línea larga	62
4.2	Demostración de la concentración energética de baja frecuencia para una señal de corriente de falla sin componente aperiódica. a) Señal de corriente de falla sin componente aperiódica muestreada a 16 muestras por ciclo. b) Espectro de amplitud normalizado centrado en la discontinuidad empleando la ventana $\bar{\sigma}_4$ con $L=16$, donde $u=ff_0$	62
4.3	Esquema de detección que emplea un filtro pasapares de orden N en conjunción con un filtro de promedio deslizante. El presente esquema construye un filtro acoplado que permite el paso de la energía de la banda base	63
4.4	Gráficas que ilustran la amplitud y localización de los componentes discretos de la distribución de Bernoulli de orden N . a) $N=1$. b) $N=2$. c) $N=3$. d) $N=4$	65
4.5	Respuesta a la frecuencia de los filtros pasapares, donde $u=ff_0$. a) Filtro de orden uno. b) Filtro de orden dos. c) Filtro de orden tres. d) Filtro de orden cuatro	67
4.6	Espectro de amplitud para los filtros pasaimpares de orden dos y cuatro, donde $u=ff_0$. a) Filtro de orden dos. b) Filtro de orden cuatro	68
4.7	Respuesta a la frecuencia del filtro de promedio deslizante de medio ciclo de duración, donde $u=ff_0$	70
4.8	Respuesta a la frecuencia total para el esquema de filtrado integrado por el filtro pasapares de orden uno en conjunción con el filtro de promedio deslizante de medio ciclo, donde $u=ff_0$	70
4.9	Respuesta a la frecuencia del filtro de promedio deslizante de un ciclo de duración, donde $u=ff_0$	71
4.10	Respuesta a la frecuencia del esquema total de filtrado	72
4.11	Diagrama a bloques donde se muestra el esquema de filtrado que utiliza el filtro pasapares de orden dos en conjunción con un filtro de promedio deslizante de un ciclo de duración (encerrado en líneas punteadas) y la posible utilización del filtro pasaimpares en aplicaciones de medición fasorial; para el presente caso $N=2$	73

ÍNDICE DE FIGURAS (continuación)

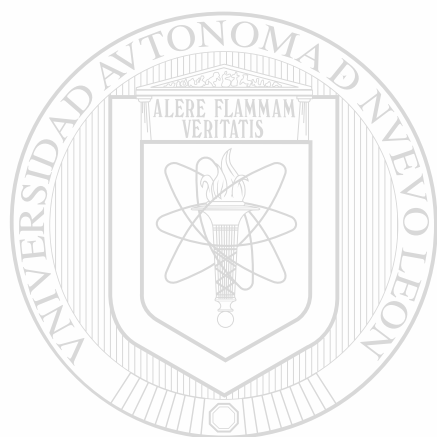
- 4.12 Ejemplos de señales de corriente de falla. a) Señal de corriente de falla sin componente aperiódica en una línea corta. b) Señal de falla con mínima componente aperiódica en una línea larga. c) Señal de falla con componente aperiódica en una línea larga. d) Señal de falla con máxima componente aperiódica en una línea larga74
- 4.13 Respuesta del filtro pasapares de orden uno ante las señales de falla de la Fig. 4.12. a) Salida para señal de falla sin componente aperiódica en línea corta. b) Salida para señal de falla con mínima componente aperiódica en una línea larga. c) Salida para señal de falla con componente aperiódica en una línea larga. d) Salida para señal de falla con máxima componente aperiódica en una línea larga76
- 4.14 Respuesta del filtro pasapares de orden dos ante las señales de falla de la Fig. 4.12. a) Salida para señal de falla sin componente aperiódica en línea corta. b) Salida para señal de falla con mínima componente aperiódica en una línea larga. c) Salida para señal de falla con componente aperiódica en una línea larga. d) Salida para señal de falla con máxima componente aperiódica en una línea larga77
- 4.15 Respuesta del filtro pasapares de orden cuatro ante las señales de falla de la Fig. 4.12. a) Salida para señal de falla sin componente aperiódica en línea corta. b) Salida para señal de falla con mínima componente aperiódica en una línea larga. c) Salida para señal de falla con componente aperiódica en una línea larga. d) Salida para señal de falla con máxima componente aperiódica en una línea larga78
- 4.16 Respuesta del filtro pasapares de orden uno en conjunción con un filtro de promedio deslizando de medio ciclo ante las señales de falla de la Fig. 4.12. a) Salida para señal de falla sin componente aperiódica en línea corta. b) Salida para señal de falla con mínima componente aperiódica en una línea larga. c) Salida para señal de falla con componente aperiódica en una línea larga. d) Salida para señal de falla con máxima componente aperiódica en una línea larga80
- 4.17 Respuesta del filtro pasapares de orden dos en conjunción con un filtro de promedio deslizando de un ciclo (ver Fig. 4.11) ante las señales de falla de la Fig. 4.12. a) Salida para señal de falla sin componente aperiódica en línea corta. b) Salida para señal de falla con mínima componente aperiódica en línea larga. c) Salida para señal de falla con componente aperiódica en línea larga. d) Salida para señal de falla con máxima componente aperiódica en línea larga81

ÍNDICE DE FIGURAS (continuación)

4.18	Ejemplos de señales de voltaje de falla. a) Señal en donde existe una disminución repentina en la amplitud del voltaje. b) Señal de voltaje en donde ocurre un cambio de fase y una disminución repentina en la amplitud	82
4.19	Respuesta del filtro pasapases de orden uno ante las señales de voltaje de falla de la Fig. 4.18. a) Salida para una señal de voltaje en donde existe una disminución repentina en la amplitud. b) Salida para una señal en donde existe un cambio de fase y una disminución repentina en la amplitud	83
4.20	Respuesta del filtro pasapases de orden dos ante las señales de voltaje de falla de la Fig. 4.18. a) Salida para una señal de voltaje en donde existe una disminución repentina en la amplitud. b) Salida para una señal en donde existe un cambio de fase y una disminución repentina en la amplitud	84
4.21	Respuesta del filtro pasapases de orden cuatro ante las señales de voltaje de falla de la Fig. 4.18. a) Salida para una señal en donde existe una disminución repentina en la amplitud. b) Salida para una señal de voltaje en donde existe un cambio de fase y una disminución repentina en la amplitud	85
4.22	Respuesta del filtro pasapases de orden uno en conjunción con un filtro de promedio deslizante de medio ciclo ante las señales de voltaje de falla de la Fig. 4.18. a) Salida para una señal de voltaje en donde existe una disminución repentina en la amplitud. b) Salida para una señal en donde existe un cambio de fase y una disminución repentina en la amplitud	85
4.23	Respuesta del filtro pasapases de orden dos en conjunción con un filtro de promedio deslizante de un ciclo (ver Fig. 4.11) para las señales de voltaje de falla de la Fig. 4.18. a) Salida para una señal de voltaje en donde existe una disminución repentina en la amplitud. b) Salida para una señal en donde existe un cambio de fase y una disminución repentina en la amplitud	86
5.1	Diagrama a bloques simplificado que describe la lógica de operación del programa principal residente en la computadora anfitriona	90
5.2	Diagrama de transición de estados del programa principal	93
5.3	Opciones del menú principal del sistema	97
5.4	Diagrama a bloques que muestra la lógica de operación del algoritmo de detección	102
5.5	Diagrama de transición de estados del algoritmo de detección	105

ÍNDICE DE TABLAS

2.1	Especificaciones técnicas de la tarjeta procesadora	11
2.2	Estados del intérprete de instrucciones del SO	15
3.1	Comparación de las ventanas	49
4.1	Ciclos de señal requeridos para elaborar cada muestra de salida de los filtros pasapares	67
5.1	Configuración de las entradas analógicas de voltaje y corriente	101



UANL

UNIVERSIDAD AUTÓNOMA DE NUEVO LEÓN



DIRECCIÓN GENERAL DE BIBLIOTECAS

INTRODUCCIÓN

1.1 INTRODUCCIÓN

Una de las principales aportaciones de la presente tesis es la propuesta de una nueva familia de ventanas para estimación espectral y para el diseño de filtros digitales FIR. Estas ventanas han tenido muy buenos resultados en diversas aplicaciones de procesamiento de señales periódicas [2,3,4,5,46,47]; en particular en el diseño de filtros más precisos para medición fasorial.

Generalmente los diversos dispositivos tanto de medición fasorial como los detectores de fallas y disturbios utilizan el filtrado convencional de Fourier para calcular los fasores que alimentan los algoritmos que rigen las diversas funciones de protección, control, medición y registro dinámico de variables [18,36,37]. Esta técnica de filtrado utiliza los filtros Coseno y Seno para obtener las proyecciones ortogonales del fasor. Sus respuestas impulsionales se forman restringiendo mediante una ventana rectangular las funciones seno y coseno. Para eliminar las armónicas, se requiere que la duración de la ventana rectangular sea múltiplo de un ciclo, y que el tiempo de muestreo sea una fracción de ciclo. La desventaja de estos filtros es que son sensibles a las pequeñas desviaciones frecuenciales y permeables a la energía frecuencial interarmónica, lo que conduce a mediciones erróneas. Estas son limitaciones debidas a los importantes lóbulos laterales que la ventana rectangular tiene en su espectro de frecuencia.

Los nuevos filtros digitales obtenidos a partir de la nueva familia de ventanas se liberan de las condiciones impuestas por la ventana rectangular en duración y tiempo de muestreo. Eliminan la energía interarmónica, obteniendo mediciones más exactas, y son adecuados para la detección de fallas, localización y medición.

Actualmente ningún método de segmentación por ventana, diferente al de Fourier, se ha implementado en los equipos comerciales de medición. Por lo que la principal contribución del presente trabajo, al sugerir la implementación de las nuevas ventanas en los algoritmos de medición, adquiere mayor relevancia. Con el fin de detallar la elaboración de este trabajo a continuación se explican los antecedentes del proyecto, la operación general del sistema y los objetivos y estructura de la tesis.

1.2 ANTECEDENTES DEL PROYECTO DE TESIS

El monitoreo de los sistemas eléctricos de potencia y el análisis de las señales registradas antes, durante y después de una disturbio son problemas de particular interés para la industria eléctrica, y su importancia se ha incrementado a un ritmo constante a través de los años [28].

En el pasado las líneas de transmisión tenían capacidad disponible, y en general, transmitían su potencia de un punto a otro con pocas interconexiones paralelas; la evaluación de las perturbaciones en este tipo de líneas era relativamente directa. Cuando los sistemas crecieron, se hicieron cada vez más complejos, en gran parte debido al aumento del número de interconexiones con redes de mayor carga. Los sistemas comenzaron a ser operados cerca de los límites de estabilidad debido a presiones ambientales y económicas; aumentando la dependencia en los sistemas de control para mantener la estabilidad del sistema. Debido a estas razones el análisis de las fallas se hizo más complejo y el monitoreo del sistema llegó a ser imprescindible para la confiabilidad y el mantenimiento del mismo [29]. A partir de los años 70, diversas compañías desarrollaron unidades de adquisición de datos para el registro de datos de prefalla, falla y postfalla con la finalidad de obtener información sobre la estabilidad transitoria del sistema [32,33,34,35].

Un resumen donde se estudia la instrumentación necesaria para monitorear el comportamiento dinámico de los SEP durante diferentes perturbaciones se presenta en [39]. En [29] se presenta otro resumen en donde se discute la experiencia adquirida por varias compañías eléctricas con respecto a la operación de varios equipos registradores de fallas y disturbios. En [30] se presenta la aplicación de los registradores de fallas y disturbios en análisis de protecciones. Por otra parte, en [31] se presenta la experiencia adquirida con varios registradores de fallas instalados en diferentes subestaciones, ahí se presenta el diseño y características de los dispositivos, los datos recolectados y la aplicación de éstos para identificar problemas en equipos de protección. En [40] se presenta el diseño, instalación y operación de un sistema de monitores dinámicos, cuyo objetivo es validar los modelos computacionales de un sistema de control; además se describe el empleo de las técnicas de Fourier en el análisis de disturbios del sistema.

Muchas razones justifican la importancia del registro de datos generados durante un disturbio [30,31], entre ellas se pueden considerar:

- La necesidad de un conocimiento real de los fenómenos dinámicos para la validación de las simulaciones generadas por computadora.
- La creación de bases de datos, por una parte, para probar y mejorar nuevos algoritmos de protección, y por otra, para elaborar estadísticas que son importantes en la validación de los modelos eléctricos.
- La necesidad de identificar fallas en los diferentes equipos, verificando la operación adecuada de los sistemas de protección y control.
- Con los datos registrados es posible obtener información relacionada con la estabilidad y la dinámica del sistema y muchos otros datos de interés.

Actualmente los equipos registradores permiten almacenar la información de los transitorios provocados por una falla. Estos equipos, basados en microprocesadores, poseen una alta capacidad de procesamiento, almacenamiento y comunicación de datos. Algunos de

ellos incluyen su propio *software* de análisis, se comunican con otros dispositivos mediante canales de fibra óptica y cuentan con canales especiales para la sincronización [42,43]. Estos equipos, orientados a las compañías eléctricas y a las grandes industrias, ofrecen un medio de detección y registro de las señales eléctricas durante la producción de una falla. También brindan la oportunidad de analizar posteriormente los registros almacenados. Los registros de datos se almacenan en archivos de longitud variable, e incluyen datos de prefalla, falla y postfalla [41,44]. La principal desventaja es su costo, y muchas veces usan protocolos cerrados por lo que crean una dependencia hacia el fabricante cuando requieren mantenimiento o cuando se desea modificar sus algoritmos internos. En particular, ofrecen datos fasoriales aplicando sus propios algoritmos sobre señales digitales, lo cual impide el acceso directo a éstas.

Otra fuerte limitación de dichos equipos es que su *software* está programado en una memoria fija (*EPROM*), por lo que es difícil de modificar. Esta falta de flexibilidad impide variar inteligentemente el procesamiento de datos y los modos de comunicación adaptándolos a las circunstancias propias del evento o del lugar.

Una de las contribuciones de la presente investigación es el diseño de un sistema para monitorear y registrar fallas en sistemas eléctricos de potencia [2]. El desarrollo y prueba del *software* en todas sus etapas constituye una parte importante del presente trabajo, la cual se describe ampliamente en [45]. La finalidad del sistema es la de recolectar información para el estudio de oscilaciones electromecánicas. Las partes que integran dicho sistema son (ver Fig. 1.1): los módulos de acondicionamiento de señales (tarjeta adecuadora), una computadora personal (computadora anfitriona), una tarjeta procesadora de alta velocidad y un módem. Cada registrador se encargará de detectar, registrar y comunicar las señales desde diferentes sitios estratégicos del Área Noreste del Sistema Nacional de Energía Eléctrica de CFE.

El proyecto piloto pretende conectar cinco registradores a un concentrador ubicado en el Centro Nacional de Control de Energía (CENACE) en Monterrey. Los datos se enviarán a este concentrador, desde los diferentes puntos del sistema, inmediatamente después de que se haya registrado una falla. Para transportar los datos, se emplea un programa de

telecomunicaciones, dicho programa forma parte de una red de transmisión de datos, la cual se encarga de transferirlos al concentrador, vía módem. La red lleva a cabo la sincronización de cada uno de los registradores y es capaz de establecer sesiones remotas para configurar el sistema. El problema de diseño de la red de datos constituye el tema de otro trabajo paralelo de investigación, por lo que aquí se supone que ya se dispone de dicha red.

Los registradores estarían ubicados en las subestaciones y plantas generadoras claves del Área Noreste, tales como: Río Escondido en Coahuila, Río Bravo y Altamira en Tamaulipas, San Jerónimo y Monterrey en Nuevo León.

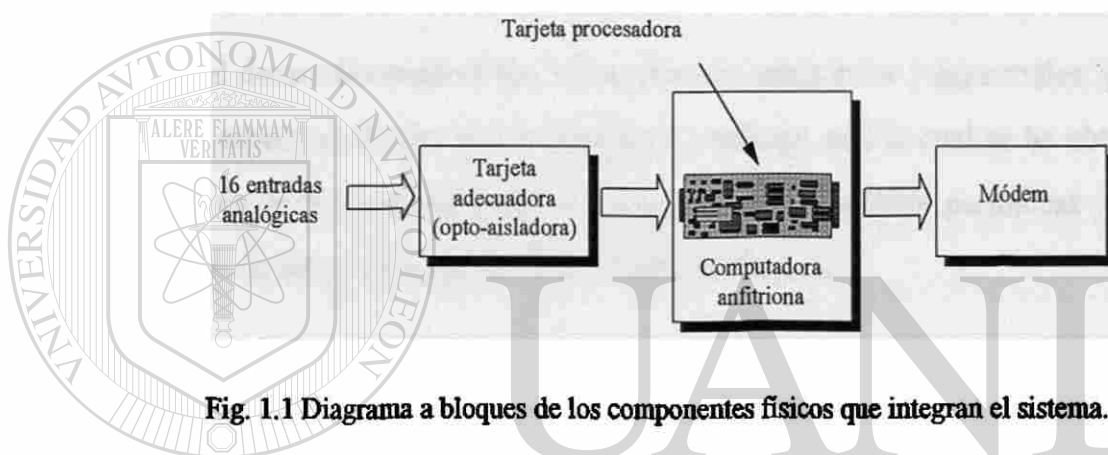


Fig. 1.1 Diagrama a bloques de los componentes físicos que integran el sistema.

1.3 OPERACIÓN GENERAL DEL SISTEMA

La función principal de la tarjeta procesadora es la detección de la falla. Para ello adquiere y procesa las señales de voltaje y corriente. Tiene capacidad para adquirir 16 entradas analógicas empleando una frecuencia de muestreo de 960 Hz (16 muestras por ciclo) en cada entrada. La detección del instante de la falla se realiza aplicando un esquema de filtrado digital a las señales de voltaje y corriente. Dada la frecuencia de muestreo utilizada, el registrador operará en la banda de frecuencias de 0 a 480 Hz. El detector se activará ante fenómenos de baja frecuencia como la componente aperiódica exponencial o la energía de la discontinuidad que produce una falla. Al momento de detectar la falla, el algoritmo memoriza un intervalo de prefalla, de hasta 1.6 segundos, y uno de postfalla, de hasta varias horas de duración. El algoritmo de detección es configurado por la computadora anfitriona. El traspaso de la función de detección al procesador de la tarjeta, permite que el procesador de la

computadora anfitriona atiende otras tareas, y sólo cuando ocurre una falla se encarga de registrarla. Cuando el algoritmo de detección advierte la existencia de una falla, interrumpe el programa de la computadora anfitriona, con el objeto de transferirle los datos. El programa de la computadora anfitriona registra el intervalo de prefalla y controla el intervalo de grabación de postfalla. Una vez que se ha registrado una falla, la computadora anfitriona se enlaza con el concentrador de datos a través de la red telefónica nacional.

1.4 OBJETIVOS DE LA TESIS

Los objetivos principales de la tesis son:

- Presentar el desarrollo matemático, características temporales y espectrales, y aplicaciones en análisis espectral, de una nueva familia de ventanas, con la cual se ha obtenido buenos resultados en diversas aplicaciones de procesamiento de señales periódicas y en particular en el diseño de filtros más precisos para medición fasorial.
 - Presentar el análisis matemático, ecuaciones de diferencia y características espectrales de una nueva familia de filtros peine denominados filtros pasapares y pasaimpares.
-
- Evaluar los filtros pasapares ante diversas señales de falla y comparar los resultados con los obtenidos con otros esquemas de filtrado.
 - Diseñar un sistema para registrar las señales trifásicas de voltaje y corriente en las subestaciones de un sistema eléctrico de potencia. El sistema deberá activarse automáticamente y deberá registrar dichas señales al momento de presentarse una falla. Para ello emplea un algoritmo de detección, el cual se ejecuta en una tarjeta procesadora de alta velocidad.
 - Describir el funcionamiento y características esenciales de la tarjeta procesadora.
 - Elaborar un *software* que interactúe con la tarjeta procesadora. Así mismo, elaborar el *software* del algoritmo de detección. En ambos casos, explotando las primitivas proporcionadas por el fabricante de la tarjeta.

- Elaborar el *software* del sistema acompañado de documentación detallada a fin de poder realizar futuras modificaciones que otras aplicaciones requieran.
- Crear una base de datos a partir de los registros de falla, para explotar su contenido realizando los siguientes estudios: medición fasorial, variación dinámica de la frecuencia, medición de potencias activas y reactivas, análisis espectral (espectrogramas), identificación de los modelos dinámicos de oscilaciones electromecánicas y estudios de perturbaciones en generadores.

1.5 ESTRUCTURA DE LA TESIS

En la tesis se contemplan seis Capítulos y referencias bibliográficas. A continuación se describe brevemente el contenido de cada Capítulo:

En el Capítulo I se introduce y describe la importancia de la tesis, se presenta el funcionamiento general del sistema, se establecen los objetivos fundamentales del trabajo y su estructura general.

En el Capítulo 2 se describen las características de la tarjeta procesadora (organización de su *hardware* y *software*) y el funcionamiento de su sistema operativo. Además, se presenta la forma en que se lleva a cabo la comunicación con la computadora anfitriona y la manera de programar tareas de procesamiento.

En el Capítulo 3, como parte fundamental de la presente investigación, se presenta la deducción matemática de una nueva ventana para estimación espectral. Se presenta su desarrollo matemático, características temporales y espectrales, se realiza una comparación con otras ventanas clásicas, se presentan aplicaciones en análisis armónico y en espectrogramas. Finalmente se ilustra su aplicación en el diseño de filtros digitales FIR. De esta última aplicación se obtiene una nueva familia de filtros digitales muy útiles para medición fasorial cuya característica principal es la de poseer una excelente banda de rechazo.

En el Capítulo 4 se presenta el desarrollo matemático, ecuaciones de diferencia y características espectrales de una nueva familia de filtros tipo peine, derivados de los filtros

anteriores. Por sus características espectrales se les denomina filtros pasapares y pasaimpares. Estos filtros se proponen para la detección de fallas en SEP. También se presenta el diseño de un detector de fallas, el cual consiste de un filtro acoplado que permite el paso de la energía en la banda base y de un comparador de umbral que señala cuando dicha energía sobrepasa un cierto nivel. Se describen sus características espectrales y temporales. Finalmente, se evalúa el comportamiento tanto de los filtros pasapares así como el del detector ante diversas señales de falla.

En el capítulo 5, como una aplicación práctica de la presente investigación, se presenta una descripción exhaustiva de la operación del sistema, mostrando para ello los diagramas de transición de estado tanto del programa principal que se ejecuta en la computadora anfitriona como del algoritmo de detección ejecutado en la tarjeta procesadora. Se describe la forma en que se lleva a cabo la transferencia y registro de datos entre estos dos dispositivos y la forma en que el sistema interactúa con el programa de telecomunicaciones.

Por último, en el Capítulo 6 se presentan las conclusiones generales de la tesis y se mencionan sus aportaciones principales. Se dan, asimismo, recomendaciones para trabajos futuros en esta área.

CARACTERÍSTICAS DEL PROCESADOR DE SEÑALES

2.1 INTRODUCCIÓN

En la actualidad los sistemas de procesamiento de señales son ejecutados en procesadores digitales de señales (DSP, *Digital Signal Processor*), el uso de estos dispositivos se ha incrementado en forma exponencial en la última década, principalmente debido al gran desarrollo de la tecnología de los circuitos integrados [13]. Estos han aumentado considerablemente su velocidad de procesamiento y su densidad de integración, permitiendo la implementación en tiempo real de algoritmos cada vez más complejos tanto en número de operaciones como en volumen de datos procesados. Esta tecnología ha ofrecido ya soluciones eficientes y abierto las puertas a una amplia variedad de nuevas aplicaciones en telefonía, navegación, comunicación de datos, sonar, radar, sismología, etc.

Dada la importancia de estos dispositivos, en el presente Capítulo y como una aplicación práctica de la presente investigación, se describen las características de la tarjeta procesadora, en la cual se ejecutan los filtros digitales desarrollados en esta tesis. Cabe aclarar que dichos filtros forman parte del algoritmo encargado de la detección de fallas.

La tarjeta procesadora es un sistema integral de adquisición y procesamiento de datos que ocupa una ranura de expansión en una computadora personal (computadora anfitriona). Combina un *hardware* de adquisición de datos con un microprocesador de 16 *bits*, una memoria intermedia y un sistema operativo multitarea de tiempo real. La tarjeta procesadora maneja todos los detalles de bajo nivel de la adquisición de datos mientras ejecuta cálculos en tiempo real. Esto permite que la computadora anfitriona se encargue solamente de la

administración de archivos y de la interacción con el usuario y con otros periféricos. En este capítulo se presentan sus características y funcionamiento. Se describe su sistema operativo y las herramientas de *software*, las cuales apoyan y facilitan la realización de aplicaciones. Se presenta la forma de establecer comunicación mediante programas escritos en lenguaje de programación C. Para ello, se muestran varios ejemplos de aplicación y diversas alternativas para la transferencia de datos. Finalmente, se describen los pasos necesarios para diseñar y programar tareas de procesamiento según las especificaciones de una aplicación.

2.2 ORGANIZACIÓN DEL HARDWARE

La Fig. 2.1 muestra la organización del *hardware* de la tarjeta procesadora. Se puede observar que posee los componentes principales de una microcomputadora: microprocesador, memoria RAM y ROM, entradas y salidas tanto digitales como analógicas, circuitos de sincronización y control. Además de controladores de acceso directo a memoria DMA (*Direct Memory Access*) y *buffers* FIFO (*first in-first out*), cuenta con un microprocesador Intel 486 para emular el procesador de señales digitales. Esto permite una mejor flexibilidad en la gestión del sistema, especialmente en el manejo de entradas de datos. Además, las tareas de procesamiento de señales digitales se programan con un compilador de lenguaje C genérico, normalmente el mismo que se utiliza para programar la computadora anfitriona.

Los circuitos de tiempo controlan las entradas y salidas, descargando al procesador de dichas tareas. Los controladores FIFO y DMA son responsables de la transferencia rápida de datos hacia la memoria de la computadora anfitriona con intervención mínima del procesador. Los voltajes de entrada son multiplexados y luego amplificados. El proceso de cuantificación utiliza un cuantificador con 12 *bits* de resolución. Dentro de la tarjeta procesadora estos números son representados mediante enteros de 16 *bits*.

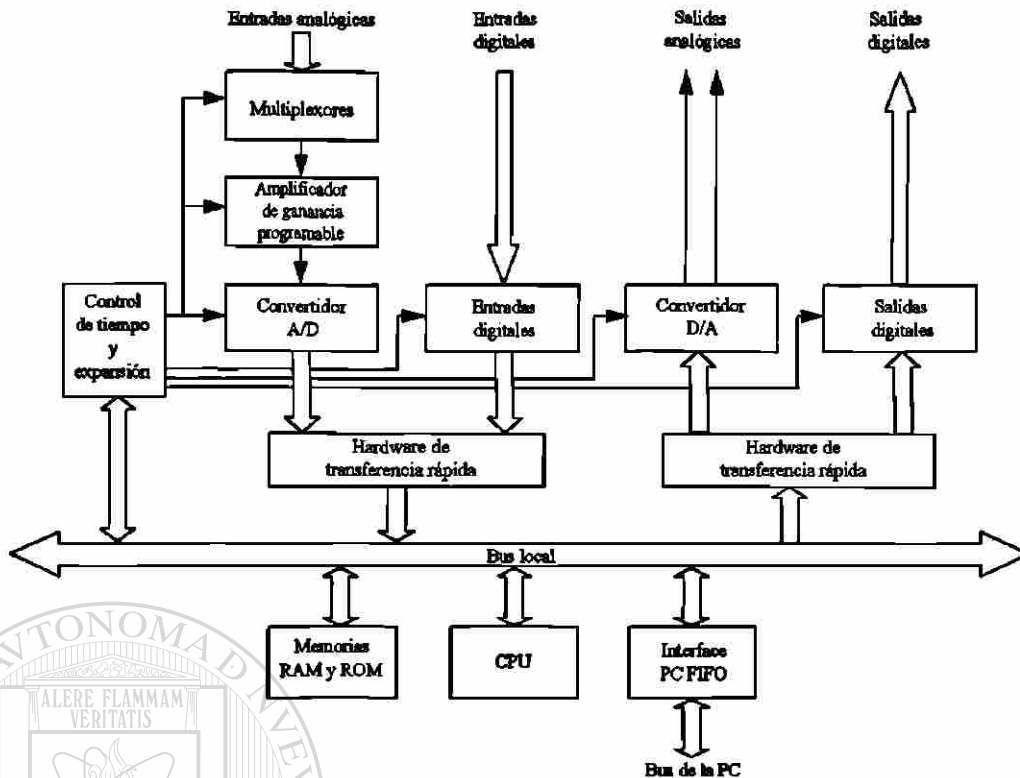


Fig. 2.1 Organización del *hardware* de la tarjeta procesadora.

La Tabla 2.1 presenta un resumen de las principales especificaciones técnicas de la tarjeta procesadora. Una información más completa y detalles para la instalación de su *hardware* y *software* se presenta en [21].

Tabla 2.1 Especificaciones técnicas de la tarjeta procesadora

Entradas analógicas (asíncronas):	16
Niveles de entrada:	0 a 5 volts, -2.5 a 2.5 volts, -5 a 5 volts y -10 a 10 volts
Frecuencia de muestreo máxima:	769 KHz
Ganancias por entrada analógica:	1, 10, 100 y 500.
Entradas discretas (síncronas):	16
Salidas analógicas:	2
Niveles de salida:	Idénticos a los niveles de entrada.
Salidas discretas:	16
Microprocesador:	Intel 486SX2
Velocidad del procesador:	48 MHz
Memoria RAM:	4 Mb
Resolución del convertidor análogo digital (A/D):	12 bits
Procesador digital de señales:	Emulación en el procesador principal

En la siguiente sección se explica el proceso de conversión A/D para las señales analógicas de entrada.

2.3 TRATAMIENTO DE LAS SEÑALES ANALÓGICAS DE ENTRADA

Las entradas y salidas analógicas de la tarjeta procesadora son señales de voltaje. La tarjeta procesadora convierte los niveles de voltaje de cada entrada a enteros, mediante un convertidor A/D.

Los voltajes en cada entrada analógica son amplificados y alimentados a un convertidor A/D. La ganancia del amplificador varía de 1 a 500 y se especifica independientemente para cada señal de entrada. Cada vez que se muestrea una señal analógica de entrada, el convertidor A/D devuelve un entero de 16 *bits*. El intervalo válido de los voltajes de entrada depende de la ganancia del amplificador y del rango dinámico del convertidor A/D. La Tabla 2.1 muestra los intervalos de las señales de entrada que pueden ser configurados. Esta configuración es llevada a cabo mediante interruptores implementados en *hardware*; detalles de esta configuración se describe ampliamente en [21].

Para un intervalo de entrada bipolar, las posibles salidas del convertidor A/D variarán de -32768 a +32752. Esto corresponde a una variación de la señal de entrada desde -X hasta ligeramente abajo de +X, donde X representa el valor de saturación del convertidor A/D (2.5, 5 o 10 volts).

La siguiente ecuación relaciona el voltaje de entrada del convertidor A/D en función de su salida y del valor de saturación del mismo:

$$V = \frac{R}{32768} X, \quad (2.1)$$

donde, V representa el voltaje de entrada al convertidor A/D, R su salida y X el valor de saturación.

Con el objeto de comprender el funcionamiento del *software*, a continuación se describe su organización y se presenta una introducción a su sistema operativo.

2.4 ORGANIZACIÓN DEL SOFTWARE

La tarjeta procesadora cuenta con un sistema operativo (SO) multitarea de tiempo real [22] y con una amplia variedad de programas y herramientas de *software* que simplifican la realización de aplicaciones [23,24,25].

En el SO, un procedimiento es definido como un grupo de instrucciones que ejecutan alguna función. El SO permite que el usuario defina procedimientos de entrada, de procesamiento y de salida. En los del segundo tipo se encuentran las instrucciones que definen tareas de procesamiento. Cuando un procedimiento está activo, todas las tareas que integran el procedimiento se ejecutan simultáneamente. Una misma instrucción puede usarse varias veces para definir distintas tareas y cada tarea puede procesar datos provenientes de diferentes entradas. Por último, una aplicación comúnmente está integrada por un procedimiento de entrada, uno de procesamiento y posiblemente por uno de salida.

2.5 INTRODUCCIÓN AL SISTEMA OPERATIVO

El SO es cargado en la memoria RAM de la tarjeta. Cuando se ejecuta alguna aplicación, el SO controla el proceso de muestreo de las señales analógicas y organiza las diversas tareas que en ese momento se están ejecutando. Una tarea definida en el SO se encargará de procesar datos y transferirlos hacia la computadora anfitriona para su ulterior procesamiento. Las tareas se comunican a través de memorias intermedias (*buffers*) dinámicas, a las cuales se puede agregar o sustraer datos, reteniéndolos hasta que sean procesados. El SO realiza automáticamente la asignación de memoria, permitiendo su expansión y contracción; conserva los datos de las memorias intermedias en el orden correcto y realiza tareas de sincronización. Si alguna tarea excede el tiempo asignado o no puede proceder por cualquier otra razón, el SO continúa con la siguiente tarea.

El SO también proporciona memorias especiales llamadas “disparadores”, las cuales se usan principalmente en aplicaciones que requieren la sincronización de diferentes tareas. Una tarea se define mediante una instrucción y especificando uno o más de los siguientes parámetros: constantes, variables, memorias intermedias y “disparadores”.

La Fig. 2.2 presenta un diagrama que muestra la organización del *software* para una aplicación típica.

2.5.1 Intérprete de instrucciones

El intérprete de instrucciones del sistema operativo es un programa que siempre se encuentra activo. Su función principal es analizar y ejecutar las instrucciones que son enviadas de la computadora anfitriona hacia la tarjeta procesadora.

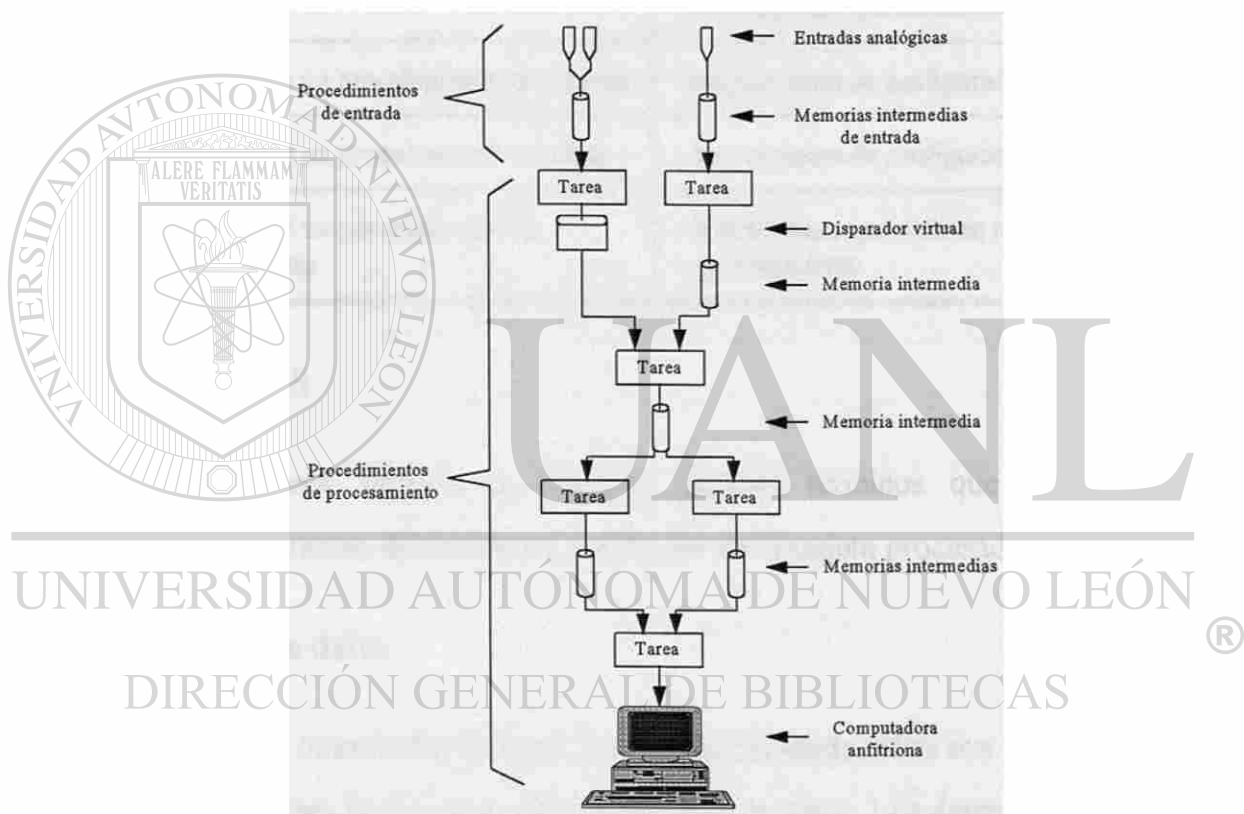


Fig. 2.2 Organización del *software* para una aplicación típica.

Las instrucciones del sistema operativo se dividen en las siguientes categorías: instrucciones del sistema, instrucciones que definen estructuras de datos, instrucciones de configuración e instrucciones que definen tareas de procesamiento. Las de configuración se subdividen a su vez en: instrucciones de configuración de entrada y salida.

2.5.2 Estados del intérprete de instrucciones

El intérprete de instrucciones tiene diferentes estados de operación. Cada clase de instrucciones debe introducirse cuando el intérprete se encuentra en un estado apropiado. La Tabla 2.2 muestra las instrucciones que pueden introducirse en cada estado.

Tabla 2.2 Estados del intérprete de instrucciones del SO

Estado	Tipos de instrucciones
1.- Sistema	- Instrucciones del sistema - Instrucciones que definen estructuras de datos
2.- Definición de un procedimiento de entrada	- Instrucciones de configuración de entrada
3.- Definición de un procedimiento de salida	- Instrucciones de configuración de salida
4.- Definición de un procedimiento de procesamiento	- Instrucciones que definen tareas de procesamiento

2.6 DEFINICIONES

En la presente sección se explican algunos términos que se relacionan con características importantes del *hardware* y *software* de la tarjeta procesadora.

2.6.1 Estructuras de datos

1) *Memorias intermedias (pipes)*: Las memorias intermedias son *buffer* FIFO (*first in-first out*) utilizadas para el almacenamiento temporal de datos. Los datos son agregados en un extremo de la memoria y son extraídos del extremo opuesto, de esta manera, los datos extraídos se encuentran en el mismo orden en que fueron introducidos. Por su parte, si los datos son agregados a una velocidad mayor que a la que son extraídos, el tamaño de la memoria se incrementa. El espacio de almacenamiento es asignado y liberado automáticamente por el SO, permitiendo que la memoria se expanda o contraiga tanto como sea requerido.

2) “Disparadores” (*Triggers*): Los “disparadores” son memorias intermedias especiales que permiten una comunicación sincronizada entre diferentes tareas. Existen dos clases de tareas que utilizan este tipo de memorias. Las primeras, se encargan de insertar un disparo sólo cuando ocurre un evento específico, en este momento, dicha tarea almacena el número de muestra del dato causante del disparo en esta memoria especial. Las segundas, esperan a que la tarea anterior inserte un disparo antes de emprender una acción específica; en el momento en que detecta un disparo, procesa datos relativos al mismo, teniendo capacidad para procesar datos generados antes y después del evento.

2.6.2 Memoria intermedia de entrada (*Input channel pipe*)

Las memorias intermedias de entrada son memorias especiales en las que el *hardware* de la tarjeta procesadora coloca los valores de salida del convertidor A/D y los datos provenientes de las entradas discretas. Cada memoria intermedia de entrada se asocia a una entrada analógica, o en su caso, al puerto de comunicación binario. Las entradas analógicas son digitalizadas secuencialmente por el convertidor A/D. Algunas de ellas pueden ignorarse y también pueden tener ganancias diferentes. Varias tareas pueden leer datos de una misma memoria intermedia de entrada.

2.6.3 Memoria intermedia de salida (*Output channel pipe*)

Una memoria intermedia de salida es una memoria especial, a partir de la cual el *hardware* de la tarjeta procesadora dispone de datos para alimentar al convertidor D/A o para alimentar las salidas discretas. Cada memoria intermedia de salida se asocia a una salida analógica o al puerto de comunicación binario.

2.6.4 Memorias intermedias de comunicación (*Communication pipes*)

Las memorias intermedias de comunicación son usadas para coordinar la transferencia de datos entre la tarjeta procesadora y la computadora anfitriona. La comunicación se establece a través del bus principal de la computadora anfitriona. El SO coloca los datos que son enviados de la computadora anfitriona hacia la tarjeta procesadora en una memoria

intermedia de comunicación de entrada. Así mismo, los datos que serán transferidos de la tarjeta procesadora hacia la computadora anfitriona, se colocan en una memoria intermedia de comunicación de salida. La comunicación puede realizarse de dos formas: en formato texto o binario. La tarjeta procesadora define automáticamente cuatro memorias intermedias las cuales llevan a cabo ambos tipos de comunicación: \$SYSIN, \$SYSOUT, \$BININ y \$BINOUT. Las primeras dos se usan para establecer una comunicación en formato texto y las restantes para comunicación binaria; su descripción se presenta a continuación:

1. \$SYSIN. Los datos que son transferidos de la computadora anfitriona hacia la tarjeta procesadora se colocan en esta memoria. El intérprete de instrucciones lee los datos presentes en dicha memoria para su ulterior procesamiento.
2. \$SYSOUT. Los datos e información del sistema (mensajes de error e información de estado) que son transferidos de la tarjeta procesadora hacia la computadora anfitriona se colocan en esta memoria.
3. \$BININ y \$BINOUT son memorias intermedias de comunicación de entrada y salida, respectivamente. Se usan para transferir datos binarios a alta velocidad mediante DMA y evitan la conversión de formato texto a binario y viceversa, lo cual las hace más eficientes que \$SYSIN y \$SYSOUT.

A continuación se describen los diferentes tipos de instrucciones que utiliza el sistema operativo.

2.7 INSTRUCCIONES DEL SISTEMA OPERATIVO

El SO cuenta con una gran variedad de instrucciones, las cuales realizan diferentes funciones dentro de un estado de operación determinado. En esta sección se presenta una descripción de cada una de estas instrucciones, mostrando para ello sus funciones específicas. Una información más detallada de éstas se encuentra en [22,25].

1) *Instrucciones del sistema*: Estas instrucciones inician y detienen el proceso de muestreo, establecen las opciones del SO y solicitan información de estado.

2) *Instrucciones que definen estructuras de datos:* Estas instrucciones ejecutan el siguiente conjunto de tareas relacionadas:

- definen símbolos del sistema (nombres de variables, constantes, memorias intermedias, disparadores, etc.);
- asignan memoria dinámicamente,
- inicializan el área de memoria apropiada.

3) *Instrucciones de configuración de entrada:* Definen la configuración del *hardware* de muestreo de la tarjeta procesadora.

4) *Instrucciones de configuración de salida:* Definen la configuración del *hardware* de salida (convertidor D/A) de la tarjeta procesadora.

5) *Instrucciones que definen tareas de procesamiento:* Al declarar una instrucción que define una tarea de procesamiento, la tarjeta procesadora establece una estructura adecuada para ejecutarla. Una tarea de procesamiento usualmente lee datos de una o más memorias intermedias, los procesa en alguna forma, y posteriormente registra los resultados en otra u otras memorias. Existen dos clases de tareas: las predefinidas por el SO y las que son programadas por el usuario, estas últimas posteriormente son cargadas al SO mediante programas especializados.

Cuando se inicia un procedimiento, se inicia a su vez la ejecución de las tareas que lo integran. Éstas son ejecutadas por programas altamente optimizados escritos en lenguaje ensamblador o lenguaje C.

A continuación se describen las instrucciones utilizadas para transferir datos hacia la computadora anfitriona.

2.8 TRANSFERENCIA DE DATOS HACIA LA COMPUTADORA ANFITRIONA

El objetivo de esta sección es presentar las características y funcionamiento de las instrucciones que se utilizan para transferir datos hacia la computadora anfitriona. Existen instrucciones que realizan esta transferencia en formato texto y otras en formato binario. Las instrucciones PRINT y FORMAT se usan para transferir datos en formato texto. Ambas instrucciones formatean los datos en caracteres ASCII antes de que sean enviados hacia la computadora anfitriona.

Para transferir datos binarios a alta velocidad se utiliza la instrucción BPRINT. Esta instrucción trabaja en forma similar a la instrucción PRINT, excepto que los datos son transferidos directamente en modo binario. Otra forma de transferir datos binarios hacia la computadora anfitriona, se realiza al definir la memoria intermedia \$BINOUT como la memoria intermedia de salida de alguna tarea. En la siguiente sección se explican las recomendaciones para aumentar la eficiencia de una aplicación.

2.9 CONSIDERACIONES PARA AUMENTAR LA EFICIENCIA DE UNA APLICACIÓN

La eficiencia de una aplicación dependerá del volumen de datos de entrada a procesar, de la cantidad y tipo de tareas y del número de operaciones, de la forma en que se transferirán los datos procesados hacia la computadora anfitriona, de la velocidad del reloj de la tarjeta procesadora y de la computadora anfitriona, y de otros factores. La tarjeta procesadora invierte una pequeña cantidad de tiempo cada vez que deposita o toma un dato de una memoria intermedia. Por lo que, cada operación innecesaria limitará la máxima velocidad de procesamiento que pueda alcanzar.

En la mayoría de las aplicaciones, se recomienda procesar los datos en la tarjeta procesadora, en vez de transferirlos hacia la computadora anfitriona para su procesamiento. Este paralelismo permite que la carga computacional recaiga en la tarjeta procesadora, mientras que la computadora anfitriona se dedica a otras tareas (atención del *mouse*, teclado, impresora, interfaz gráfica, etc.). Esta recomendación fue tomada en cuenta durante el

desarrollo del programa del registrador: el algoritmo de detección lo ejecuta la tarjeta procesadora, mientras que la computadora anfitriona atiende al teclado o al módem.

Para aumentar la eficiencia durante la transferencia de datos hacia la computadora anfitriona, es recomendable transferir bloques de datos utilizando el formato binario, en vez del formato ASCII. Hay que destacar que la transferencia de bloques binarios se lleva a cabo mediante los controladores DMA. Esto permite que los datos pasen de la memoria interna de la tarjeta procesadora hacia la memoria RAM de la computadora anfitriona con intervención nula del procesador. Este procedimiento fue el utilizado en el presente trabajo, principalmente durante la transferencia de los datos de falla hacia la computadora anfitriona.

2.10 DESBORDAMIENTO DE DATOS DE UNA MEMORIA INTERMEDIA

Cuando se realiza un muestreo de alta frecuencia, las memorias intermedias de entrada pueden llenarse rápidamente, si los datos presentes en dichas memorias no son procesados a una velocidad mayor que la de su llegada, ocurrirá un desbordamiento o incapacidad para almacenar más datos de entrada. En este momento, la tarjeta procesadora suspenderá el muestreo, sin perder los datos almacenados, reanudándolo una vez que éstos han sido procesados.

Un desbordamiento generalmente ocurre en las memorias intermedias de entrada, aunque también se puede presentar en las memorias intermedias definidas por el usuario.

El desbordamiento puede prevenirse reduciendo la frecuencia de muestreo, cambiando la configuración de la tarjeta a una forma más eficiente; ejecutando tareas de procesamiento más eficientes o programando tareas de procesamiento personalizadas utilizando el lenguaje C. Esta última opción, es la más adecuada para llevar a cabo tareas de procesamiento complejas, ya que toma ventaja de la potencialidad del lenguaje C, al permitir programar tareas más eficientes y con las características adecuadas para la aplicación. Tomando en cuenta estas ventajas, en el presente trabajo se seleccionó esta opción para programar el algoritmo de detección. En la siguiente sección se mencionan las principales herramientas de *software* con las que cuenta la tarjeta procesadora.

2.11 HERRAMIENTAS DE SOFTWARE PARA EL DESARROLLO DE APLICACIONES

La tarjeta procesadora cuenta con un programa interactivo para el desarrollo de aplicaciones, integrado principalmente por un editor de texto, herramientas gráficas, y facilidades para el procesamiento y registro de datos. Además, proporciona una serie de programas que permiten realizar pruebas de evaluación, registro de datos, implementación de filtros digitales e integración de nuevas tareas de procesamiento en el SO de la tarjeta. Cada uno de estos programas, se describe ampliamente en [22].

A continuación se ilustra la forma en que interactúa la tarjeta procesadora con los lenguajes de alto nivel que residen en la computadora anfitriona.

2.12 PROGRAMACIÓN CON LENGUAJES DE ALTO NIVEL

Los programas residentes en la computadora anfitriona se comunican con la tarjeta procesadora a través del controlador ACCEL. El ACCEL es un dispositivo para el sistema operativo DOS proporcionado por el fabricante de la tarjeta y su función es implementar el protocolo de comunicación entre la computadora anfitriona y la tarjeta procesadora.

Cualquier lenguaje de programación que soporte dispositivos de entrada y salida puede establecer comunicación con la tarjeta procesadora a través del controlador ACCEL. El fabricante proporciona herramientas de *software* para establecer esta comunicación empleando los lenguajes de programación BASIC, Pascal, C y FORTRAN [23]. En el presente trabajo se seleccionó el lenguaje de programación C para establecer comunicación con la tarjeta procesadora, dado que brinda el acceso a ambos niveles de programación, y además permite una comunicación muy eficiente, principalmente durante la transferencia de datos hacia la computadora anfitriona. En las siguientes secciones se describirá la forma en que se lleva a cabo esta comunicación.

2.12.1 Memorias intermedias de comunicación en la computadora anfitriona

El controlador ACCEL es instalado automáticamente por un programa de configuración inicial al momento de inicializar la computadora anfitriona. Dicho programa también define dos memorias intermedias de comunicación en la memoria de la computadora anfitriona, y le asigna un número a cada una. La primera es la memoria intermedia de comunicación 0, se utiliza para establecer comunicación en formato texto y para transferir instrucciones a la tarjeta procesadora. La segunda es la memoria intermedia de comunicación 1, se utiliza para establecer comunicación en formato binario y principalmente para transferir datos a alta velocidad. La Fig. 2.3 representa el papel desempeñado por el controlador ACCEL al coordinar la comunicación entre la tarjeta procesadora y la computadora anfitriona. Una descripción detallada de este proceso se describe ampliamente en [21,23].

2.12.2 Dispositivos ACCEL

El controlador ACCEL define dos tipos de dispositivos: el dispositivo ACCEL numerado y el dispositivo ACCEL dirigido. A continuación se presentan las características del primero, debido a que fue el que se utilizó en el presente trabajo; información del segundo se presenta en [23].

El usuario puede definir varios dispositivos ACCEL numerados y cada uno puede comunicarse con una memoria intermedia de comunicación específica de la computadora anfitriona. Para lograr esto es necesario que un programa abra uno de estos dispositivos y lo relacione con la memoria intermedia de comunicación deseada. El nombre de un dispositivo ACCEL numerado está integrado por el nombre ACCEL seguido por el número de la memoria intermedia de comunicación (generalmente cero o uno).

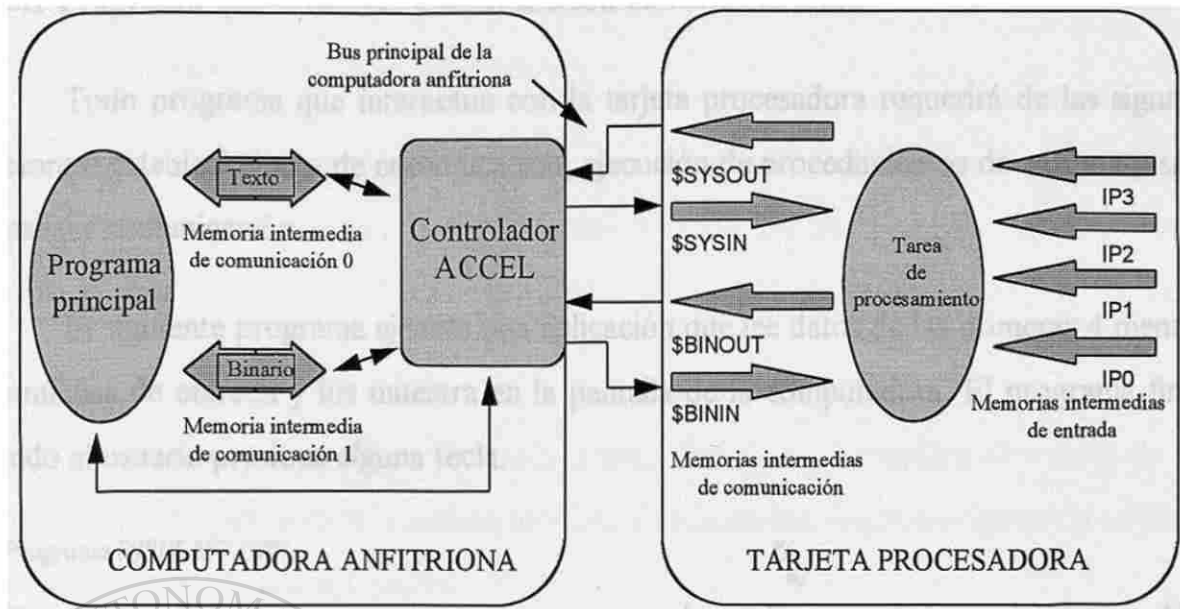


Fig. 2.3 Diagrama que representa el papel desempeñado por el controlador ACCEL al coordinar la comunicación entre la computadora anfitriona y la tarjeta procesadora.

A continuación se presenta y describe la operación de las funciones y subrutinas de programación más importantes para el control y configuración de la tarjeta procesadora. Dichas funciones son proporcionadas por el fabricante de la tarjeta y corresponden al lenguaje de programación "C y C++".

2.13 INTERACCIÓN CON LA TARJETA PROCESADORA MEDIANTE EL LENGUAJE DE PROGRAMACIÓN C

La tarjeta procesadora puede controlarse totalmente mediante el lenguaje de programación C. En esta sección se describe la forma de crear programas utilizando este lenguaje, explotando las primitivas proporcionadas por el fabricante de la tarjeta. Éstas están integradas por funciones que simplifican la escritura de los programas y permiten principalmente: establecer y finalizar la comunicación con la tarjeta, enviar instrucciones de configuración, cargar archivos con aplicaciones, iniciar y detener dichas aplicaciones, transferir datos a alta velocidad (mediante DMA) y determinar el estado del sistema.

Los programas que se presentarán a continuación fueron compilados en el compilador Borland C++ 3.1 [26].

2.13.1 Programa que establece comunicación en formato texto

Todo programa que interactúe con la tarjeta procesadora requerirá de las siguientes secciones: establecimiento de comunicación, ejecución de procedimientos de entrada y salida, y finalizar comunicación.

El siguiente programa ejecuta una aplicación que lee datos de las primeras 4 memorias intermedias de entrada y los muestra en la pantalla de la computadora. El programa finaliza cuando el usuario presiona alguna tecla.

```

/* Programa DISPLAYT.CPP                                     */
/*                                                         */
/* Este programa ilustra la comunicación con la tarjeta procesadora mediante el envío de instrucciones de */
/* entrada y la lectura de dato en formato texto.          */
#include <stdio.h>
#include <stdlib.h>
#include <conio.h>

extern "C" {
#include "dapio.h" /* Archivo de cabecera de la tarjeta procesadora */
#include "dapio.c" /* Archivos con el código fuente */
#include "cfgdap.c"
#include "dapiocd.c"
#include "c_lib.c"
}

void main ()
{
int y1, y2, y3, y4;

clrscr();
NlinitDap("ACCEL0"); /* Establece comunicación con la tarjeta */

/* Configura la tarjeta procesadora mediante el envío del archivo de instrucciones DISPLAYT.DAP */
printf("Configurando tarjeta procesadora\n");
if (fConfigDap(DapOut,"DISPLAYT.DAP") >= 200) /* Transfiere archivo de instrucciones */
{
printf("Error al configurar tarjeta\n");
exit(2);
}
while (fGetDapAvail(DapIn) == 0); /* Espera a que existan datos por transferir */
printf("Transfiriendo datos hacia la computadora anfitrión\n");
while(1) {
fscanf (DapIn,"%d %d %d %d",&y1,&y2,&y3,&y4); /* Lee datos de la tarjeta */
printf ("%5d %5d %5d %5d\n", y1, y2,y3,y4);
if(kbhit()) break;
}
LeaveDap(); /* Finaliza comunicación con la tarjeta procesadora */
}

```

Las directivas *include* al inicio del programa incluyen los archivos de cabecera proporcionados por el fabricante de la tarjeta.

La función *"NInitDap()"* establece la comunicación, abre dos archivos llamados *DapIn* y *DapOut* y los asocia con el dispositivo ACCEL. En este ejemplo, ambos archivos se asignan al dispositivo ACCEL0, cuyo nombre es pasado como parámetro en la función *"NInitDap()"*.

La función *"fConfigDap()"* transfiere hacia la tarjeta procesadora el archivo de texto DISPLAY.DAP. Este archivo contiene una lista de instrucciones que configuran la tarjeta y la instruyen para iniciar una aplicación.

La función *"fGetDapAvail()"* retorna la cantidad de *bytes* disponibles para ser transferidos por la tarjeta procesadora hacia la computadora anfitriona. El lazo *while* que contiene esta función espera a que ésta devuelva un valor distinto de cero. Esto asegura que la tarjeta procesadora se encuentra enviando datos cuando el programa intenta leerlos, en caso contrario, el programa permanecerá en un estado de espera hasta que los datos sean transferidos.

El segundo lazo *while* se usa para leer continuamente datos de la tarjeta procesadora mediante la función *"fscanf()"*. Esta función extrae 4 datos del flujo apuntado por *DapIn*, cada dato es depositado en su respectiva variable y corresponden a los primeros cuatro valores de cada una de las memorias intermedias de entrada. La función *"printf()"* despliega estos datos en pantalla. El lazo *while* finaliza cuando el usuario presiona alguna tecla.

Finalmente, la función *"LeaveDap()"* cierra los archivos *DapIn* y *DapOut* y da por concluida la comunicación con la tarjeta procesadora.

2.13.2 Transferencia de bloques binarios para su registro en disco

El siguiente programa aumenta las capacidades del programa DISPLAYT.CPP. Por una parte, el programa realiza una comunicación más eficiente con la tarjeta procesadora al

realizar operaciones de transferencia de datos en bloques binarios empleando los controladores DMA; y por otra, muestra cómo ejecutar una operación de registro de datos a alta velocidad. Además, se muestra cómo variar parámetros en las instrucciones de configuración de la tarjeta procesadora. El programa solicita, por parte del usuario, el nombre del archivo donde se almacenarán los datos que serán registrados, posteriormente abre dicho archivo para escritura binaria y registra los datos enviados por la tarjeta procesadora. En este programa, la comunicación con la tarjeta procesadora inicia y finaliza sin el uso de las funciones “NinitDap()” y “LeaveDap()”; y además, los datos enviados por la tarjeta procesadora son leídos por la computadora anfitriona en formato binario mediante el dispositivo ACCEL1 y utilizando la memoria intermedia de comunicación 1. El código C para este ejemplo se presenta a continuación:

```

/* Programa REGDISCO.CPP */
#include <conio.h>
#include <stdio.h>
#include <stdlib.h>

extern "C" {
#include "dapio.h"
#include "dapio.c"
#include "dapiocd.c"
#include "cfgdap.c"
}
#define BlockSize 128 /* Tamaño del bloque de datos que será transferido */

void main ()
{
int Data[BlockSize], i;
FILE *DapTextOut,
*DapTextIn,
*DapBinIn,
*Arch_Reg;
char Nombre_de_Archivo[20];

clrscr();
printf ("Introduce el nombre del archivo : ");
scanf ("%19s",Nombre_de_Archivo);
if((Arch_Reg = fopen (Nombre_de_Archivo,"wb"))==NULL) { /* Apertura del archivo binario */
clrscr();
printf("Error al abrir el archivo %s",Nombre_de_Archivo);
exit(1);
}
/* Abre el dispositivo ACCEL1 para recibir datos binarios de la tarjeta procesadora, y ACCEL0 para */
/* establecer comunicación con la tarjeta procesadora en formato texto */
if (((DapBinIn = fopen("ACCEL1","rb")) == NULL) ||
((DapTextOut = fopen("ACCEL0","wt")) == NULL) ||
((DapTextIn = fopen("ACCEL0","rb")) == NULL)) {

```

```

        clrscr();
        printf("Error al abrir el dispositivo ACCEL\n");
        exit(1);
    }
    /* Establece, para todos los archivos, el estado binario del DOS */
    fBinaryMode(DapBinIn);
    fBinaryMode(DapTextOut);
    fBinaryMode(DapTextIn);
    setvbuf(DapTextOut, NULL, _IONBF, 0); /* Esta función permite que las instrucciones sean enviadas */
                                        /* directamente a la tarjeta procesadora. */
    fWriteln(DapBinIn, "S,M00"); /* Establece el estado correcto del controlador ACCEL */
    fprintf(DapTextOut, "RESET\n"); /* Envía una instrucción RESET a la tarjeta procesadora */
    /* Elimina datos basura de las memorias intermedias de la tarjeta procesadora */
    fflush(DapBinIn);
    fflush(DapTextIn);
    /* Esta función le asigna al parámetro %1 en el archivo de instrucciones APLICFFT.DAP el valor de 520.8 */
    SetParam(1, "520.8");
    /* Configura la tarjeta procesadora mediante el envío del archivo de instrucciones APLICFFT.DAP */
    if (fConfigDap(DapTextOut, "APLICFFT.DAP") >= 200) {
        clrscr();
        printf("Error al configurar tarjeta procesadora\n");
        exit(2);
    }
    while (fGetDapAvail(DapBinIn) == 0) /* Espera a que existan datos por transferir */
        printf("Registrando datos");
    for (i=1; i<=100; i++) { /* Lee y registra 100 bloques de datos */
        gotoxy(20,2); printf("%d",i);
        fGetDapBuf(Data, sizeof(int), BlockSize, DapBinIn);
        if((fwrite(Data, sizeof Data, 1, Arch_Reg)) != 1) {
            clrscr();
            printf("Error de escritura en el archivo %s", Nombre_de_Archivo);
            exit(2);
        }
    }
    printf("\n");
    fprintf(DapTextOut, "STOP\n"); /* Envía una instrucción STOP a la tarjeta */
    fWriteln(DapBinIn, "R"); /* Restaura el estado del controlador ACCEL */
    /* Cierra todos los archivos */
    fclose(Arch_Reg);
    fclose(DapTextOut);
    fclose(DapTextIn);
    fclose(DapBinIn);
}

```

El dispositivo ACCEL0 se abre como un archivo de entrada y se asigna al flujo *DapTextIn*. A su vez se abre como un archivo de salida y se asigna al flujo *DapTextOut*. El dispositivo ACCEL1 se abre como un archivo de entrada y se asigna al flujo *DapBinIn*, este dispositivo se usa para transferir datos binarios a la computadora anfitriona.

Todos los archivos se establecen al estado binario del DOS con la función "*fBinaryMode()*". Esto permite que los datos manejados por los flujos *DapTextIn*,

DapTextOut y *DapBinIn*, sean almacenados temporalmente (por el sistema operativo DOS) en formato binario, evitando la conversión al código ASCII [23].

La llamada a la función “*setvbuf()*” permite que las instrucciones sean enviadas directamente a la tarjeta, evitando el almacenamiento temporal en la memoria intermedia manejada por el flujo *DapTextOut*.

La primer llamada a la función “*fWriteIoCtlStr()*” establece el estado adecuado del controlador ACCEL [23].

Enseguida, la función “*fprintf()*” envía una instrucción RESET. La llamada a la función “*fFlushDap()*” elimina los datos presentes en las memorias intermedias de entrada de la computadora anfitriona. Esto descarta el uso de los datos depositados en estas memorias por aplicaciones anteriores.

La función “*fConfigDap()*” envía a la tarjeta procesadora el archivo de instrucciones APLICFFT.DAP. Por otra parte, la función “*fGetDapBuf()*” se utiliza para leer bloques de datos de la tarjeta procesadora. Estos bloques son transferidos hacia la computadora anfitriona mediante los controladores DMA, con lo cual aumenta la eficiencia de la transferencia. El primer parámetro especifica el *buffer* donde se colocarán temporalmente los datos que son transferidos de la tarjeta. El segundo parámetro especifica el tamaño en *bytes* de cada dato que será transferido. El tercer parámetro indica la cantidad de datos a transferir. El último parámetro es un puntero a archivo que se asocia con el flujo de entrada proveniente de la tarjeta.

Este ejemplo emplea la capacidad de la función “*fConfigDap()*” para reemplazar parámetros en las instrucciones que se envían a la tarjeta procesadora. La función “*SetParam()*” relaciona el parámetro 1 con la cadena “520.8”. De acuerdo a esta relación, la función “*fConfigDap()*”, reemplaza el símbolo %1 en el archivo de instrucciones APLICFFT.DAP con la cadena asociada al parámetro 1. El contenido del archivo APLICFFT.DAP es el siguiente:

```

;%DEFAULT %1=1041.6
RESET
IDEFINE A 1
    SET IPIPE0 S0
    TIME %1
END
PDEFINE B
    FFT(5,8,0,IPO,$BINOUT)
END
START A,B

```

La primer línea especifica el valor implícito que tomará el símbolo %1 en el caso de que no se especifique ningún parámetro en la función “*SetParam()*”. Esta instrucción siempre debe aparecer en la primer línea. La capacidad de variar parámetros, permite en este ejemplo modificar el tiempo de muestreo en forma automática a partir del programa en C.

El ejemplo anterior presentó la forma de registrar datos binarios a alta velocidad, una vez que han sido registrados, es posible que otros programas tengan acceso a ellos ya sea localmente mediante otras rutinas o remotamente transfiriendo el archivo a otra computadora para su análisis. En el presente trabajo, este algoritmo se seleccionó como base para el desarrollo del programa principal del registrador, debido a su eficiencia para transferir datos de falla a la computadora anfitriona. En la siguiente sección se explica cómo programar tareas de procesamiento mediante el lenguaje de programación C apoyándose en las primitivas proporcionadas por el fabricante de la tarjeta [24].

2.14 PROGRAMACIÓN DE TAREAS DE PROCESAMIENTO

El SO de la tarjeta procesadora cuenta con una amplia variedad de tareas predefinidas. Estas tareas son programadas en lenguaje C o lenguaje ensamblador, aceptan una cierta cantidad de parámetros (variables, constantes o memorias intermedias), ejecutan un procesamiento y depositan los resultados en otras memorias intermedias o variables. Cuando alguna tarea requiere de un procedimiento más especializado o más eficiente, el SO permite que el usuario programe y agregue sus propias tareas de procesamiento. Las tareas son programadas en un compilador de lenguaje C genérico, una vez compilada puede cargarse en el SO de la tarjeta procesadora mediante programas especializados. Posteriormente pueden ser utilizadas como cualquier otra tarea predefinida.

Las tareas de procesamiento programadas por el usuario tienen las siguientes ventajas con respecto a las tareas predefinidas en el SO:

- Pueden implementar procesamiento en tiempo real.
- Se pueden combinar en una sola tarea operaciones de varias tareas de procesamiento predefinidas, mejorando su eficiencia.
- Una tarea puede leer cualquier cantidad de variables, constantes o memorias intermedias. De igual forma puede escribir sus resultados en cualquier cantidad de memorias intermedias o variables.
- Es posible realizar operaciones matemáticas en punto flotante empleando los operadores del lenguaje C.

Un programa que implementa una tarea de procesamiento usualmente consiste en una sección de inicialización integrada por una lista de parámetros que se pasarán a la tarea seguida de un lazo de procesamiento. Cuando la tarjeta procesadora recibe una instrucción START primeramente ejecuta el código de inicialización. Este código verifica que la instrucción que llamó a la tarea contenga parámetros válidos. Si este es el caso, la tarea iniciará el lazo de procesamiento, en caso contrario, el SO desplegará un mensaje de error. El lazo de procesamiento leerá datos procedentes de las distintas variables o memorias intermedias, procesará estos datos y escribirá los resultados en otras variables o memorias. Después de que la tarjeta procesadora ejecute el código de inicialización exitosamente, procesará datos indefinidamente hasta que se envíe una instrucción STOP, RESET o RESTART.

En el presente trabajo se emplearon las bibliotecas de funciones proporcionadas por el fabricante de la tarjeta. Estas fueron compiladas con el compilador Microsoft C/C++. Debido a esta razón, los programas que implementan las tareas de procesamiento necesitan ser escritos en cualquiera de las versiones 4, 5, 6 o 7 de dicho compilador. Si se usa otro compilador, se generarán errores al momento de compilar y enlazar el código del programa

con el código binario de las funciones de biblioteca del fabricante. La desventaja de no contar con el código fuente de las funciones que integran las bibliotecas, evita que se pueda utilizar cualquier otro compilador C. El programa que se presentará a continuación fue compilado utilizando el compilador Microsoft C/C++ versión 7.0 [27].

El siguiente ejemplo muestra los principales componentes de los que consta un programa que implementa una tarea de procesamiento. El programa lee datos de una memoria intermedia, rectifica los datos y los deposita en otra memoria intermedia.

```

/* Nombre del archivo: RECTIFIC.C                               */
/* Nombre de la tarea de procesamiento: RECTIFIC (p1, p2)      */
#include <cdapcc.h>

void rectific (PIPE *in_pipe, PIPE *out_pipe)
{
    long int val;
    open_pipe (in_pipe, P_READ); /* Prepara una memoria intermedia para lectura */
    open_pipe (out_pipe, P_WRITE); /* Prepara una memoria intermedia para escritura */
    while (1) {
        val = (int) get_pipe (in_pipe); /* Lee un dato de la memoria intermedia asociada a in_pipe */
        if (val < 0) val = -val; /* Procesamiento */
        put_pipe (out_pipe, val); /* Escribe el resultado del procesamiento en la memoria intermedia */
    } /* asociada a out_pipe */
}

void main (PIB **plib)
{
    void **argv;
    int argc;
    /* Verifica los parámetros que se pasan a la tarea */
    argv = param_process (plib, &argc, 2, 2; T_PIPE_W, T_PIPE_W);
    rectific ((PIPE *) argv[1], (PIPE *) argv[2]); /* Llama a la función que ejecutará el procesamiento */
}

```

En este programa, el archivo de cabecera CDAPCC.H define todas las constantes, macros, tipos de datos y prototipos requeridos para acceder a cada una de las funciones del sistema. Los identificadores PIB, T_PIPE_W, P_READ, P_WRITE, “*param_process()*”, “*open_pipe()*”, “*get_pipe()*” y “*put_pipe()*”, también se definen en el archivo CDAPCC.H.

La tarea de procesamiento inicia su ejecución en la función “*main()*”. El SO de la tarjeta procesadora le pasa a dicha función un puntero que contiene la dirección de inicio de cada uno de los parámetros de la tarea. La función “*param_process()*” verifica que cada uno

de los parámetros sean del tipo correcto y devuelve un arreglo de punteros con la dirección de cada uno. El primer parámetro es *argv[1]* y el segundo *argv[2]*.

La tarea de procesamiento RECTIFIC acepta como parámetros dos memorias intermedias apuntadas por *argv[1]* y *argv[2]*. El identificador PIPE define una estructura de datos, la cual no es manipulada directamente, sino pasada a las funciones del sistema. La función "*main()*" convierte los dos argumentos de RECTIFIC en datos de tipo PIPE y los pasa a una función auxiliar llamada "*rectific()*". Esta función prepara las memorias intermedias *in_pipe* y *out_pipe* para lectura y escritura, respectivamente. El lazo *while* ejecuta el procesamiento de datos. La función "*get_pipe()*" elimina el siguiente valor de la memoria intermedia de entrada apuntada por *in_pipe* y lo coloca en la variable *val*. La instrucción *if* convierte cada valor negativo a positivo. La función "*put_pipe()*" envía el dato procesado a la memoria intermedia de salida apuntada por *out_pipe*.

Para usar la instrucción RECTIFIC, es necesario compilarla, enlazarla, convertirla a un código binario y cargarla en el SO de la tarjeta procesadora. Este proceso se explica exhaustivamente en [24].

El código de esta tarea se puede modificar fácilmente de tal forma que ejecute diferentes funciones de procesamiento. Simplemente hay que reemplazar la instrucción *if* con el código C requerido.

2.15 CONCLUSIONES

- Se presentó las características y funcionamiento del *hardware* y *software* de la tarjeta procesadora. El primero posee los componentes principales de una microcomputadora mientras que el segundo está integrado por un sistema operativo (SO) multitarea de tiempo real, el cual cuenta con una amplia variedad de programas y herramientas que simplifican la realización de aplicaciones.
- Se describen las diferentes clases de memorias intermedias e instrucciones del SO. Las primeras permiten la comunicación entre tareas de procesamiento mientras que las

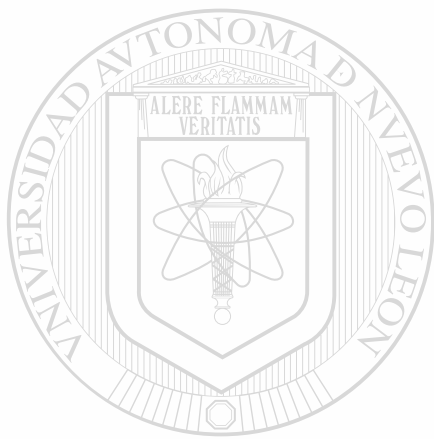
segundas controlan el *hardware* de muestreo, definen estructuras de datos, implementan y sincronizan diferentes tareas y proporcionan información de estado.

- Se describen las consideraciones para aumentar la eficiencia de la tarjeta procesadora y la manera de evitar el desbordamiento de las memorias intermedias.
- Se presentan las diferentes formas de controlar y configurar a la tarjeta procesadora mediante programas escritos en el lenguaje de programación C. Mostrando para ello el código fuente documentado de diferentes aplicaciones. Además, se ilustra la forma de programar tareas de procesamiento empleando este mismo lenguaje.
- Se mostraron diferentes alternativas para la comunicación y transferencia de datos entre la computadora anfitriona y la tarjeta procesadora.
- Las memorias intermedias de comunicación \$BININ y \$BINOUT son las más eficientes para establecer comunicación y transferir datos binarios hacia la computadora anfitriona o viceversa, ya que evitan que los datos sean convertidos a formato texto, y además, toman ventaja de los controladores DMA.

-
- Para aumentar la eficiencia de una tarea de procesamiento, se recomienda procesar datos en la tarjeta procesadora, en vez de transferirlos hacia la computadora anfitriona para su procesamiento; así mismo para aumentar la eficiencia durante la transferencia de datos hacia la computadora anfitriona, es recomendable transferir bloques de datos utilizando el formato binario en vez del formato ASCII.
 - Para evitar el desbordamiento de las memorias intermedias es necesario, reducir la frecuencia de muestreo, cambiar la configuración de la tarjeta procesadora a una forma más eficiente o programar tareas de procesamiento personalizadas utilizando el lenguaje C.
 - Una de las ventajas del paralelismo es la facilidad para la depuración de los programas. La sección de instrucciones que configuran la tarjeta puede depurarse con programas

especializados proporcionados por el fabricante. Mientras que el código C puede depurarse con un compilador de C genérico.

- Las tareas de procesamiento programadas por el usuario permiten implementar procesamiento en tiempo real, son más eficientes que las tareas predefinidas, pueden ejecutar operaciones en punto flotante, son flexibles y se adaptan a las características particulares de una aplicación.



UANL

UNIVERSIDAD AUTÓNOMA DE NUEVO LEÓN



DIRECCIÓN GENERAL DE BIBLIOTECAS

NUEVA FAMILIA DE VENTANAS PARA ESTIMACIÓN ESPECTRAL Y DISEÑO DE FILTROS DIGITALES

3.1 INTRODUCCIÓN

El objetivo principal de este capítulo es presentar el desarrollo matemático de una nueva familia de ventanas, junto con sus características temporales y espectrales, así como sus aplicaciones en estimación espectral y filtrado digital.

La nueva familia de ventanas se obtuvo como resultado de una investigación efectuada con el objeto de mejorar las propiedades del filtrado convencional de Fourier en la función de localización y medición de fallas en relevadores digitales [6,7]. El criterio de diseño de dicho estudio consistió en reducir las fugas que los filtros convencionales tienen en las bandas interarmónicas, definiendo con ese propósito una hermética banda de paro. De lo anterior se obtuvo una nueva familia de ventanas con características muy atractivas para las aplicaciones de estimación espectral ya que poseen lóbulos laterales inferiores a los de las ventanas clásicas.

La selección de una función de ventana es un factor muy importante para el análisis espectral. Al aplicar una función ventana a una señal en el tiempo se convoluciona en frecuencia su espectro ideal con la transformada de Fourier de la función de ventana [1,14]. Dicha convolución distorsiona el espectro ideal de la señal analizada. Por una parte, el lóbulo principal de la ventana reduce la resolución espectral, ensanchando las componentes armónicas; y por otra, los lóbulos laterales interfieren en la estimación de la amplitud espectral en frecuencias vecinas.

La nueva familia de ventanas se obtiene al aplicar la transformada de Fourier inversa a la siguiente secuencia de funciones:

$$O_N(f) = \begin{cases} \cos^N\left(\frac{\pi}{2f_0}f\right), & |f| \leq f_0 \\ 0, & |f| > f_0 \end{cases} \quad (3.1)$$

donde N es un entero no negativo, llamado factor leptógeno ya que adelgaza el ancho del lóbulo principal, acotado por $2f_0$. Dicha secuencia carece totalmente de lóbulos laterales. Sin embargo, las funciones temporales correspondientes son de duración infinita. El criterio de diseño de una ventana consiste pues en escoger la ventana más breve de tal manera que los lóbulos laterales (fenómeno de Gibbs) que aparecen al trincar la función sean despreciables.

La presentación de las nuevas ventanas se encuentra en [5], en [4] se ilustran aplicaciones de análisis espectral y estimación de señales aleatorias estacionarias, mientras que otras características y propiedades interesantes se estudian en [46].

En la primera parte de este capítulo se presenta la deducción matemática de la nueva familia de ventanas a partir de la transformada de Fourier inversa de la Ec. (3.1). Una diversidad de ventanas puede ser obtenida a partir de esta familia simplemente variando el factor leptógeno y su duración. En seguida, se considera su aproximación a una curva gaussiana cuando N tiende a un valor infinito. Posteriormente, se realizan aplicaciones de procesamiento de señales periódicas, esto con la finalidad de mostrar la potencialidad de la nueva familia de ventanas como una alternativa para el posterior procesamiento de los datos obtenidos por el registrador (análisis armónico, análisis espectral (espectrogramas), medición fasorial, variación dinámica de la frecuencia, etc.). Para ello se selecciona una ventana de entre todo el conjunto de funciones, aquí se presentan sus características temporales y frecuenciales, comparándolas con algunas ventanas clásicas: rectangular, Hamming, Hanning y Blackman. Dicho ejemplo ilustra la interferencia de ruidos con contenido espectral que aparece con las ventanas clásicas. Un estudio comparativo muestra los resultados obtenidos al analizar dos tonos puros con una pequeña separación frecuencial. Enseguida se considera su aplicación en

espectrogramas. Finalmente se presentan las características de dichas ventanas considerándolas ahora como respuestas impulsionales en el diseño de filtros digitales.

3.2 OBTENCIÓN DE LA NUEVA VENTANA

El propósito de esta sección es obtener la familia de ventanas temporales correspondientes a la secuencia de funciones frecuenciales definidas en la Ec. (3.1). Esta ecuación se puede escribir brevemente como:

$$O_N(f) = V(f) \cos^N \left(\frac{\pi}{2f_0} f \right), \quad (3.2)$$

donde N es un entero no negativo y $V(f)$ es la respuesta a la frecuencia del filtro pasa bajos ideal de ancho de banda f_0 (ver Fig. 3.1). Esto es:

$$V(f) = \begin{cases} 1, & |f| \leq f_0 \\ 0, & |f| > f_0 \end{cases} \quad (3.3)$$

La transformada inversa de Fourier de la Ec. (3.2) es:

$$o_N(t) = \int_{-\infty}^{\infty} O_N(f) \exp(2\pi f t) df \quad (3.4)$$

Para $N = 0$, $O_M(f) = V(f)$ y $o_M(t)$ es la función seno cardinal de amplitud $2f_0$ (ver Fig. 3.2):

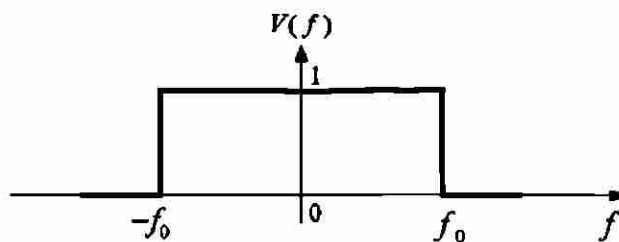


Fig. 3.1 Respuesta a la frecuencia del filtro pasa bajos ideal de ancho de banda f_0 .

$$o_0(t) = 2f_0 \operatorname{sen} c(2\pi f_0 t) = v(t), \quad (3.5)$$

el ancho del lóbulo principal de esta función es $T=1/f_0$ y sus cruces por cero están localizados en $t_k=k(T/2)$, donde k es un entero no nulo.

Usando la formula de Euler, y el teorema Binomial en la Ec. (3.2), se obtiene:

$$O_N(f) = \frac{1}{2^N} \sum_{k=0}^N \binom{N}{k} \exp\left[j \frac{\pi f}{2f_0} (2k - N)\right] V(f) \quad (3.6)$$

La transformada inversa de Fourier del k -ésimo termino de dicha expansión binomial es:

$$\int_{-\infty}^{\infty} \exp\left[j\pi f \left(\frac{(2k - N)}{2f_0} + 2t\right)\right] df = \delta\left(t - \frac{[2k - N]}{4f_0}\right), \quad (3.7)$$

donde $\delta(t)$ es la Distribución de Dirac en $t=0$. Aplicando la linealidad de la transformada de Fourier y el teorema de convolución a la Ec. (3.6), se obtiene:

$$o_N(t) = \left[\frac{1}{2^N} \sum_{k=0}^N \binom{N}{k} \delta\left(t - \frac{(2k - N)}{4f_0}\right) \right] * v(t) \quad (3.8)$$

donde $*$ es el operador de convolución.

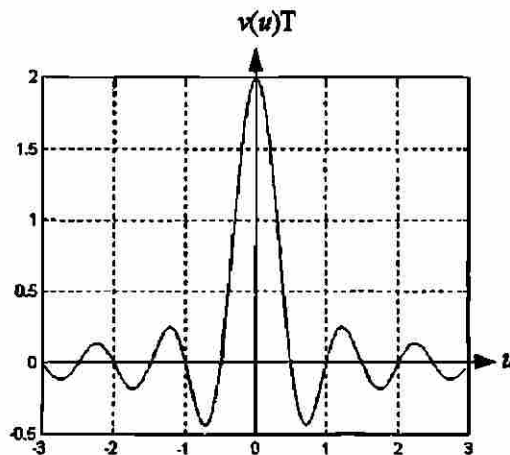


Fig. 3.2 Función seno cardinal de amplitud $2f_0$, $To_0(u) = 2\operatorname{sen}c(2\pi u) = Tv(u)$ y $u=t/T$.

El miembro izquierdo de la Ec. (3.8) corresponde a una distribución de Bernoulli con $N+1$ pulsos instantáneos separados $T/2$ s, y es la transformada inversa de Fourier del factor cosenoidal de la Ec. (3.2). Dada la Ec. (3.8), la función $o_N(t)$ corresponde a la salida de un convertidor digital-análogo ideal cuando la distribución de Bernoulli de orden N pasa a través de él, ya que dicho convertidor ideal es un filtro pasa bajos ideal de ancho de banda f_0 . La salida continua es entonces una función formada por la interpolación perfecta de la distribución binomial. El resultado es el siguiente:

$$o_N(t) = \frac{1}{2^N} \sum_{k=0}^N \binom{N}{k} v(t - t_k). \quad (3.9)$$

La función $o_N(t)$ se forma por la superposición de las funciones seno cardinal moduladas por el k -ésimo coeficiente de Bernoulli, y centradas en los instantes

$$t_k = \frac{(2k - N)T}{4}, \quad k = 0, 1, 2, \dots, N. \quad (3.10)$$

Las Figs. 3.3 y 3.4 muestran las funciones $O_N(f)$ y $o_N(t)$ respectivamente para $N=0, 2, 4, 8$. La Fig. 3.3 muestra la evolución del lóbulo de las funciones $O_N(f)$ cuando N crece.

Cuando $N=0$, se tiene el filtro pasa bajos ideal; para $N=1$, el primer lóbulo de una cosenoidal; y cuando N va aumentando, el lóbulo se va adelgazando hasta formar curvas de Gauss centradas en la frecuencia cero. La Fig. 3.4 muestra la evolución de las funciones $o_N(t)$ en tiempo normalizado. Se observa que para $N=0$, $o_N(t)$ es la función seno cardinal. Esta función exhibe oscilaciones que se distribuyen sobre un largo intervalo de tiempo. Las oscilaciones persisten hasta $N=6$. Para $N > 6$, las funciones toman la forma de una curva gaussiana cada vez más aplanada.

En la siguiente sección se demuestra que las funciones $o_N(t)$ tienden a una curva gaussiana cuando N aumenta.

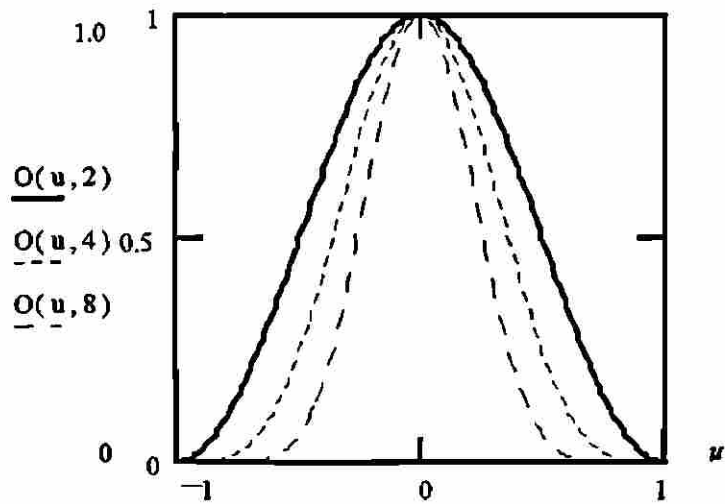


Fig. 3.3. Características frecuenciales de las funciones $O_N(u)$, $u=ff_0$.

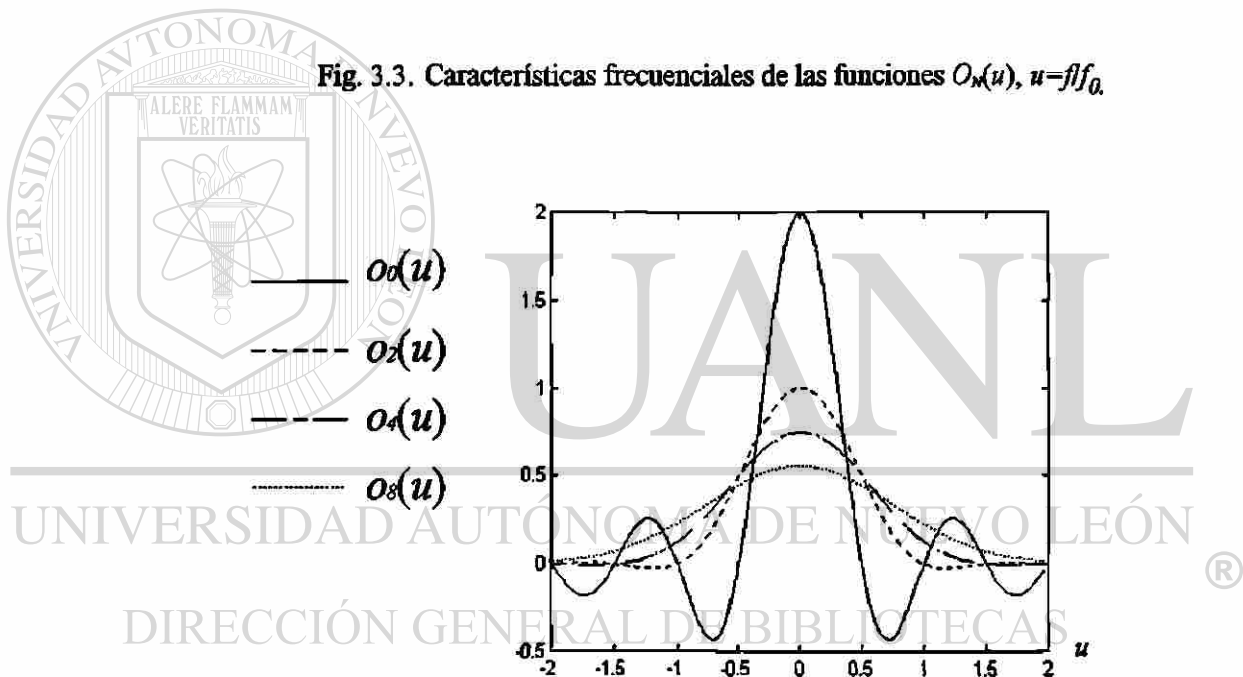


Fig. 3.4. Características temporales de las funciones $o_N(u)$, para una duración de cuatro ciclos, $u=t/T$ y $N=0, 2, 4, 8$.

3.3 APROXIMACIÓN A UNA CURVA GAUSSIANA

Aplicando el teorema de De-Moivre Laplace a la Ec. (3.8), es posible aproximar $o_N(t)$ a una función gaussiana para grandes valores de N . Dicho teorema usa la formula de Stirling [8] para aproximar mediante una función exponencial el k -ésimo coeficiente de la expansión binomial. Si los términos del binomio son p y q , se tiene:

$$\binom{N}{k} p^k q^{N-k} \approx \frac{1}{\sqrt{2\pi Npq}} \exp\left[-\frac{(k-Np)^2}{2Npq}\right], \quad (3.11)$$

para $\sigma = (Npq)^{1/2} \gg 1$, y $k=Np \pm \sigma$. Para $p=q=1/2$, la aproximación a la función en la Ec. (3.8) es:

$$g_N(t) = v(t) * \sqrt{\frac{2}{N\pi}} \sum_{k=0}^N \exp\left[-\frac{(k-N/2)^2}{N/2}\right] \delta\left(t - \frac{(2k-N)}{4f_0}\right). \quad (3.12)$$

La Ec. (3.12) es la convolución de $v(t)$ con una distribución gaussiana discreta.

Expresando esta ecuación en términos de los instantes t_k de la Ec. (3.10), se tiene

$$g_N(t) = v(t) * \sqrt{\frac{2}{N\pi}} \sum_{k=0}^N \exp\left[-\frac{(2f_0 t_k)^2}{N/2}\right] \delta(t - t_k). \quad (3.13)$$

La ecuación anterior es la interpolación perfecta de una distribución normal.

Resolviendo dicha convolución, se obtiene fácilmente la función continua de $g_N(t)$ como:

$$g_N(t) = 2f_0 \sqrt{\frac{2}{N\pi}} \exp\left[-\frac{(2f_0 t)^2}{N/2}\right] \quad (3.14)$$

Esta es una curva gaussiana con desviación estándar $\sigma=(N/4)^{1/2}$. Asumiendo que la curva se atenúa completamente en $t_0 \geq 3\sigma/2f_0$, el tiempo de atenuación en términos de N será

$$t_0 = \frac{3\sqrt{N}}{4} T, \quad (3.15)$$

donde T es la duración de un ciclo. Note que t_a es proporcional a la desviación estándar σ y ésta, a su vez, es proporcional a \sqrt{N} . Dado que σ interviene en la curva gaussiana como un factor de escalamiento lineal, cuando el orden de la función N aumenta, el ancho del lóbulo en frecuencia se reduce en proporción a \sqrt{N} .

Con la ayuda de las funciones $g_N(t)$ se demuestra que la familia de funciones $o_N(t)$ evoluciona desde una función seno cardinal, cuando $N=0$, hasta la curva gaussiana $g_N(t)$ de la Ec. (3.14), cuando N es grande. En la Fig. 3.4 se observa que, a partir de $N=4$, la aproximación gaussiana es ya bastante buena.

3.4 DEFINICIÓN DE UNA VENTANA

Para definir una ventana a partir de la Ec. (3.9) es necesario especificar el factor leptógeno y una duración finita en el tiempo. Esta última puede obtenerse definiendo un intervalo de duración en función del periodo T como:

$$D = \delta T, \quad (3.16)$$

donde δ es un escalar.

Al confinar la función de ventana en el dominio del tiempo se presenta el fenómeno de Gibbs en el dominio de la frecuencia, con la consecuente aparición de lóbulos laterales. Para reducir este efecto, la nueva ventana ($\bar{o}_N(t)$) en su definición debe incluir la mayor parte de los valores significativos de la función ideal $o_N(t)$. Esto significa que sólo se deben de truncar valores no significativos de la función ideal. Sin embargo, debido a que algunas aplicaciones pueden ser más restrictivas en lo que respecta a su duración en el tiempo que en las características frecuenciales, la nueva ventana puede definirse de cualquier duración. En este sentido, su definición es similar a la definición de las ventanas de Káiser [1,9,10]. Las ventanas de Káiser se definen en función de dos parámetros: el parámetro de longitud (especificado por la cantidad de muestras) y el parámetro de forma. El primero, establece principalmente la anchura del lóbulo principal mientras que el segundo fija la amplitud relativa de los lóbulos laterales. Por su parte, en la definición de las nuevas ventanas, la forma de éstas no sólo depende del factor leptógeno sino también de su duración. La anchura del lóbulo principal se puede modificar variando el factor leptógeno N , sin perturbar dramáticamente la amplitud relativa de los lóbulos laterales (ver Fig. 3.5). Mientras que la duración D establece básicamente el nivel relativo de los lóbulos laterales (ver Fig. 3.6). Para duraciones cercanas al

limite de atenuación dada por la Ec. (3.15), la amplitud relativa del primer lóbulo lateral es pequeña. Sin embargo, si se consideran duraciones mayores, este nivel puede reducirse aún más.

Los coeficientes para la nueva ventana son obtenidos al evaluar la Ec. (3.9) en los siguientes instantes de tiempo discreto:

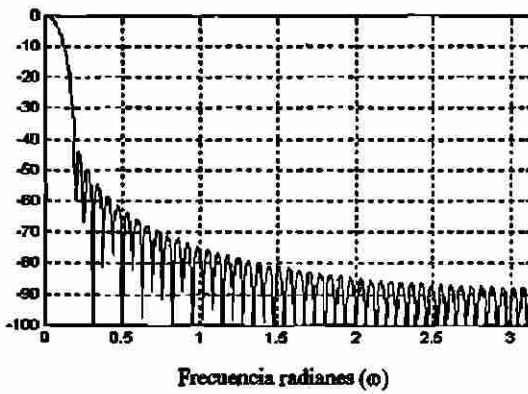
$$t_k = \left(\frac{k}{M} - \frac{\delta'}{2} \right) T, \quad k = 0, 1, \dots, \delta M, \quad (3.17)$$

donde M es la cantidad de muestras por ciclo.

En las Figs. 3.5, 3.6 y 3.7 se muestra el espectro de amplitud descrito por las funciones $20 \log_{10} |\bar{O}_N(e^{j\omega})|$ para las nuevas ventanas, donde $\bar{O}_N(e^{j\omega})|_{\omega=2\pi k/\delta M}$ es la transformada de Fourier discreta de la Ec. (3.9), al restringir su duración en el tiempo (D) a un valor finito, para $k=0, 1, 2, \dots, \delta M-1$. Para una mejor visualización se gráfica sólo la mitad del espectro en forma continua en vez de puntos discretos. En la Fig. 3.5 se presentan los espectros para diferentes valores del factor leptógeno N , en estas gráficas se consideró $M=32$ y $D=3T$. Observe que al incrementar el factor leptógeno disminuye la anchura del lóbulo principal y se modifica ligeramente la amplitud relativa de los lóbulos laterales. Para $N=2, 4$ y 6 la amplitud relativa del primer lóbulo lateral permanece por debajo de los -40 dB, elevándose a -35 dB para $N=8$. En la Fig. 3.6 se muestran los espectros obtenidos, pero ahora variando el intervalo de duración D , para estas gráficas se tomó $N=4$ y $M=32$. Observe que al ir incrementando el intervalo de duración D disminuyen notoriamente la amplitud relativa de los lóbulos laterales.

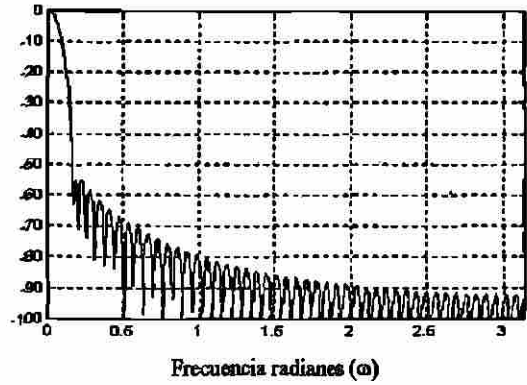
Después de que una nueva ventana ha sido especificada, se puede aplicar un escalamiento temporal para mejorar su resolución frecuencial. Esto se puede observar en la Fig. 3.7, la cual muestra las características espectrales de una ventana, al variar la cantidad de muestras M . Para dichas gráficas se mantuvo constante su duración $D=3T$ y se tomó $N=4$. Observe cómo se mejora la resolución espectral sin modificar la amplitud relativa de los lóbulos laterales.

$$20\log_{10}|\bar{O}_2(e^{j\omega})|$$



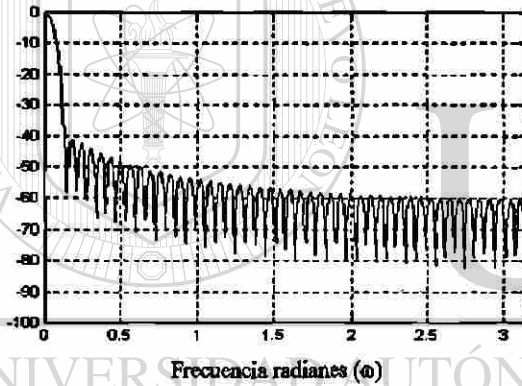
(a)

$$20\log_{10}|\bar{O}_4(e^{j\omega})|$$



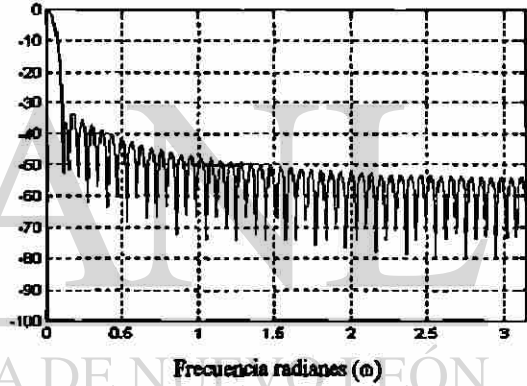
(b)

$$20\log_{10}|\bar{O}_6(e^{j\omega})|$$



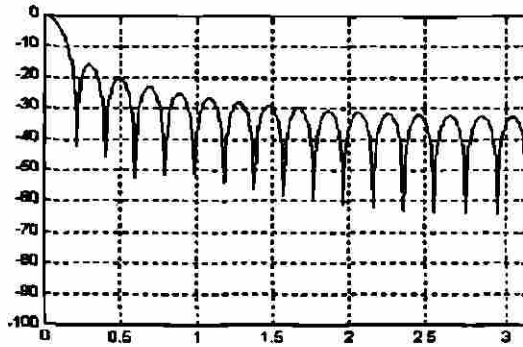
(c)

$$20\log_{10}|\bar{O}_8(e^{j\omega})|$$

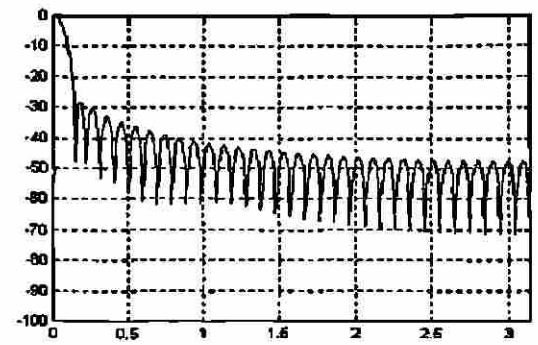


(d)

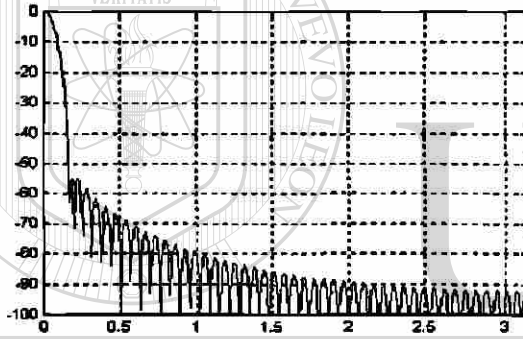
Fig. 3.5 Espectro de amplitud (en dB) de la nueva ventana para diferentes valores del factor leptógeno, manteniendo constante la duración $D=3T$ con $M=32$. a) $N=2$. b) $N=4$. c) $N=6$. d) $N=8$.

$20\log_{10}|\bar{O}_4(e^{j\omega})|$
Frecuencia radianes (ω)

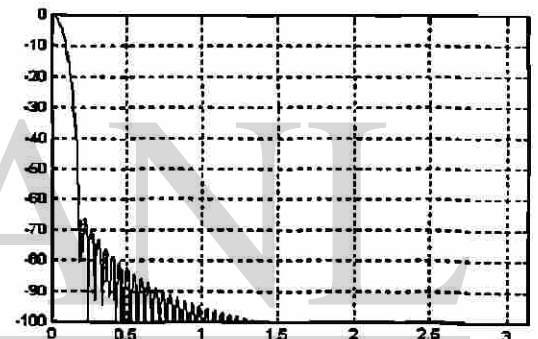
(a)

 $20\log_{10}|\bar{O}_4(e^{j\omega})|$
Frecuencia radianes (ω)

(b)

 $20\log_{10}|\bar{O}_4(e^{j\omega})|$
Frecuencia radianes (ω)

(c)

 $20\log_{10}|\bar{O}_4(e^{j\omega})|$
Frecuencia radianes (ω)

(d)

Fig. 3.6 Espectro de amplitud (en dB) de la nueva ventana (considerando $N=4$ en todos los casos) para diferentes valores del intervalo de duración D con $M=32$. a) $D=T$. b) $D=2T$. c) $D=3T$. d) $D=4T$.

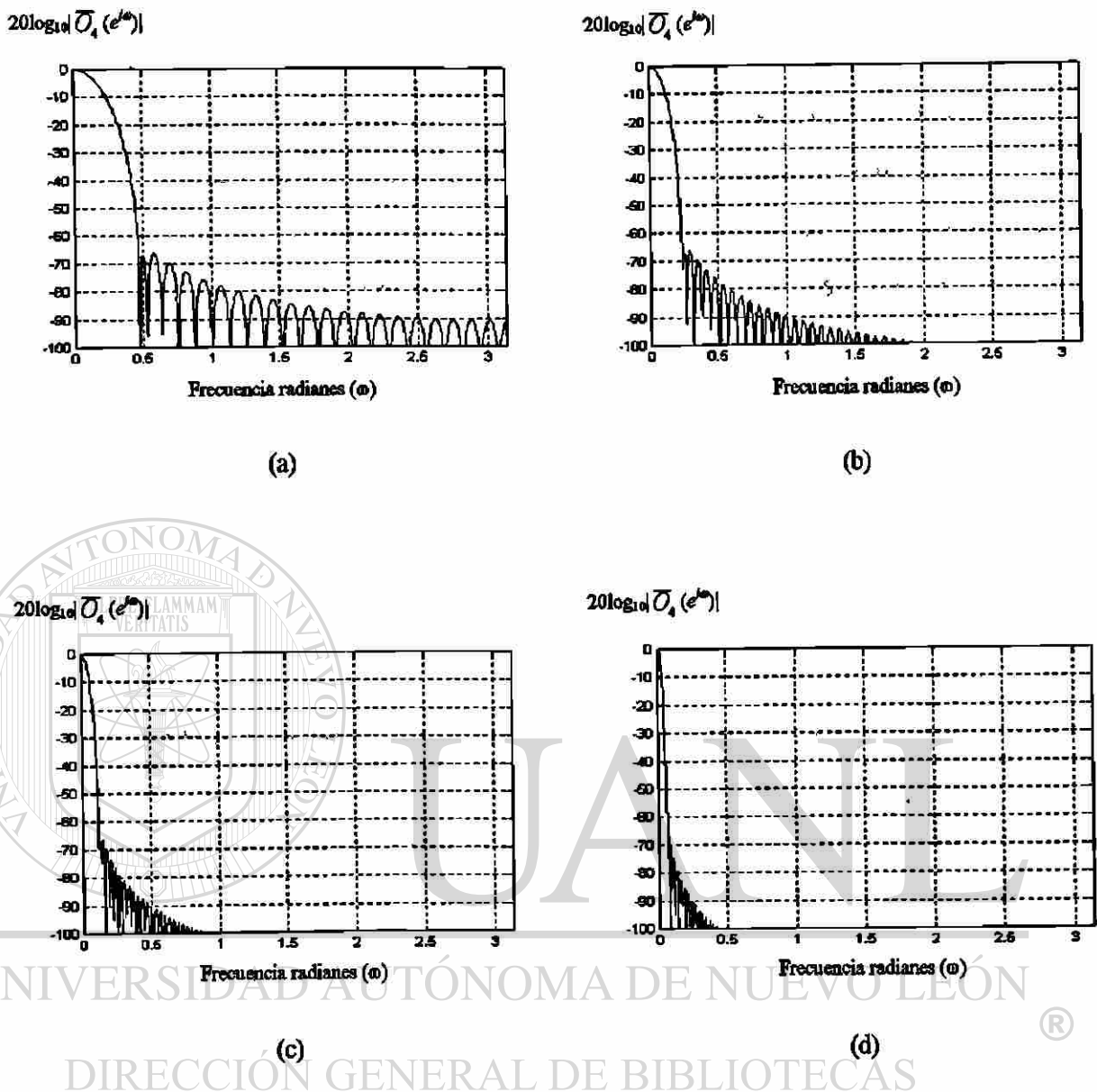


Fig. 3.7 Espectro de amplitud (en dB) de la nueva ventana para diferentes cantidades de muestras M , manteniendo constante la duración $D=3T$, con $N=4$. a) $M=16$. b) $M=32$. c) $M=64$. d) $M=128$.

Para el diseño de una ventana se puede emplear el intervalo de duración D para fijar la amplitud relativa de los lóbulos laterales y el factor leptógeno N junto con la cantidad de muestras M pueden definir la anchura deseada del lóbulo principal. De esta forma, se puede obtener una gran variedad de ventanas variando cualquiera de estos parámetros.

Como se mencionó en el Capítulo I, una de las principales finalidades del registrador, es la de recolectar datos para posteriormente explotar su contenido realizando los siguientes

estudios: medición fasorial, variación dinámica de la frecuencia, medición de potencias activas y reactivas, análisis espectral (espectrogramas), análisis armónico, identificación de los modelos dinámicos de oscilaciones electromecánicas y estudios de perturbaciones en generadores. En las siguientes secciones, se propone la ventana definida con $N=4$ y $D=3T$ como una herramienta de procesamiento digital para llevar a cabo dichos estudios. Para ello se comparan sus características espectrales con las ventanas clásicas y se considera su aplicación en análisis armónico y en espectrogramas. Como se observa en la Fig. 3.4, las oscilaciones de esta ventana son muy pequeñas (inferior al 1% de la amplitud máxima) para $t \geq 1.5T$, y por ser la más corta se seleccionó como la mejor ventana de dicha familia. Con una duración de 3 ciclos, es la que se afecta menos al truncarla, ya que presenta un nivel casi despreciable en sus lóbulos laterales, por lo que se puede considerar carente de ellos. Dicha ventana, será referida como ventana $\bar{\sigma}_4$.

3.5 COMPARACIÓN DE LA VENTANA PROPUESTA CON LAS VENTANAS CLÁSICAS

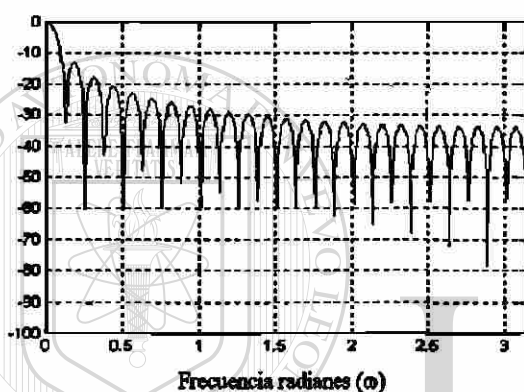
El truncamiento de las funciones es equivalente a aplicarles una ventana rectangular, lo cual se traduce en una convolución con un seno cardinal en el dominio de la frecuencia [1,9,10], generando pequeños lóbulos laterales. Una de las ventanas menos afectada por el truncamiento, para una duración de tres ciclos, es la ventana $\bar{\sigma}_4$. El nivel relativo de sus lóbulos laterales es inferior a los de las ventanas clásicas, como se podrá observar más adelante.

Algunas de las ventanas comúnmente usadas en los análisis espectrales y en el diseño de filtros digitales son la rectangular, Hamming, Hanning, Bartlett, Blackman y Káiser. Sus ecuaciones se encuentran en [1,9,10].

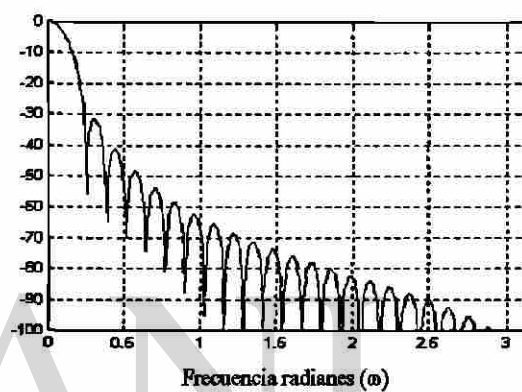
La Fig. 3.8 muestra el espectro de amplitud descrito por la función $20\log_{10}|W(e^{j\omega})|$ para la ventana rectangular, Hanning, Hamming y para la ventana $\bar{\sigma}_4$, respectivamente. $W(e^{j\omega})|_{\omega=2\pi n/L}$ es la transformada de Fourier discreta de cada una de estas ventanas para $L=50$,

donde L es la cantidad de muestras, para $k=0, 1, \dots, L-1$. Para una mejor visualización se grafica solo la mitad del espectro en forma continua, en vez de puntos discretos.

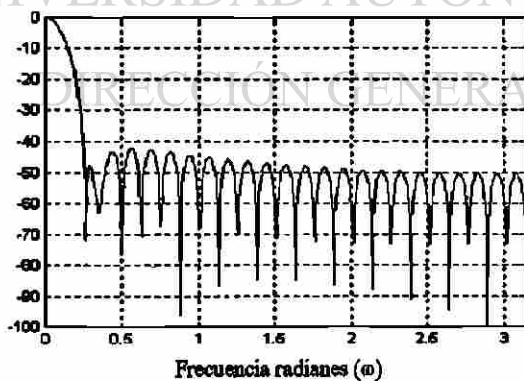
La Tabla 3.1 muestra un resumen de las características de dichas ventanas. Tanto el ancho del lóbulo principal, como la amplitud relativa del primer lóbulo lateral se muestran en dicha tabla. Se han ordenado del lóbulo principal más delgado al más ancho; y en ese orden las amplitudes relativas de los lóbulos laterales descenden.

 $20\log_{10}|W(e^{j\omega})|$


(a) Rectangular

 $20\log_{10}|W(e^{j\omega})|$


(b) Hanning

 $20\log_{10}|W(e^{j\omega})|$


(c) Hamming

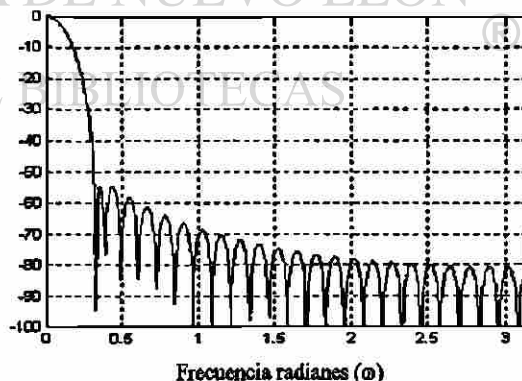
 $20\log_{10}|W(e^{j\omega})|$
(d) $\bar{\sigma}_4$

Fig. 3.8 Espectro de amplitud para diferentes ventanas.

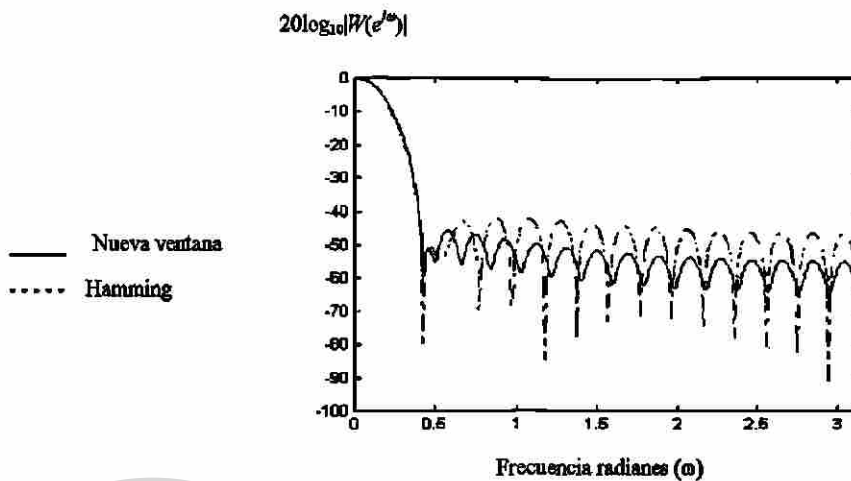
Tabla 3.1 Comparación de las ventanas

Tipo de Ventana	Anchura aproximada del lóbulo principal	Amplitud relativa del lóbulo lateral (dB)
Rectangular	$4\pi/(L+1)$	-13
Bartlett	$8\pi/L$	-25
Hanning	$8\pi/L$	-31
Hamming	$8\pi/L$	-41
\bar{o}_4	$10\pi/L$	-55
Blackman	$12\pi/L$	-57

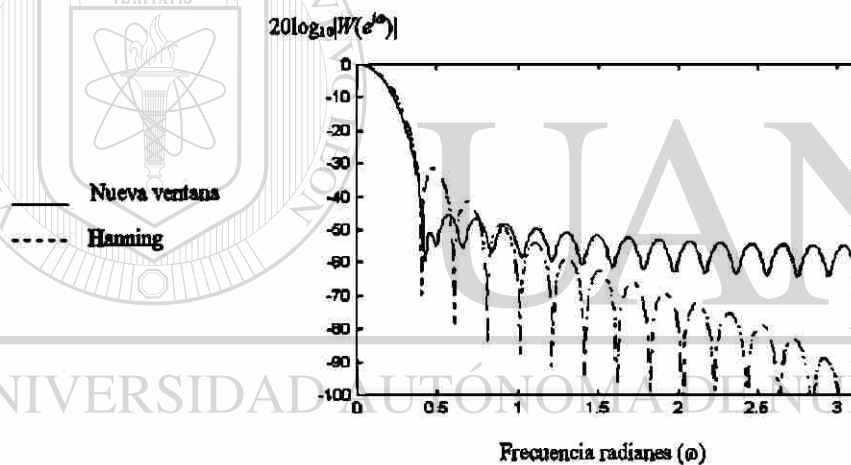
Un descripción detallada de las características de las ventanas clásicas empleadas en análisis espectrales se puede encontrar en [11]. Claramente se puede observar que la ventana rectangular es la que tiene el lóbulo principal más estrecho. Sin embargo, su primer lóbulo lateral se encuentra 13 dB por debajo del lóbulo principal.

La ventana \bar{o}_4 reduce el nivel del primer lóbulo lateral hasta -55 dB, casi una milésima parte de la amplitud del lóbulo principal, superando las otras ventanas. Los lóbulos laterales pueden reducirse aún más si se definen ventanas de mayor duración. Por ejemplo, en la Fig. 3.6(d) para una duración de cuatro ciclos la amplitud relativa del lóbulo lateral disminuye hasta cerca de -70 dB y hasta -96 dB para una ventana con duración de ocho ciclos. Al comparar la ventana \bar{o}_4 con la ventana de Hamming de la Fig. 3.8(c), se observa que los lóbulos de la primera van disminuyendo a lo largo de todo el espectro hasta -80 dB, mientras que los de la Hamming se mantienen en un nivel casi constante. Los lóbulos laterales de la ventana de Hanning en la Fig. 3.8(b) también disminuyen a lo largo del espectro de frecuencia, sin embargo, el nivel de los primeros lóbulos laterales está muy por arriba de los de la ventana \bar{o}_4 .

Al igual que en la ventana de Káiser, es posible obtener una nueva ventana equivalente para cada una de las ventanas clásicas. Por ejemplo, para $N=0$ se obtiene una ventana equivalente a la rectangular; para $N=4$ y $D=2.6T$ se obtiene una ventana equivalente a las de Hamming y Hanning, incluso mejorando la amplitud de los lóbulos laterales de dichas ventanas, esto se observa en la Fig. 3.9.



(a)



(b)

Fig. 3.9 Espectro de amplitud que muestra la nueva ventana equivalente para algunas ventanas clásicas tomando $L=32$ muestras. La nueva ventana requirió $N=4$ y una duración $D=2.6T$ en ambas gráficas. a) Ventana equivalente a la de Hamming. b) Ventana equivalente a la de Hanning.

Al tener lóbulos laterales muy bajos, la nueva ventana elimina prácticamente la interferencia entre contenidos espectrales adyacentes. Dado que su lóbulo principal es amplio, se recomienda para el análisis espectral de señales periódicas o cuasi periódicas, donde la separación armónica es conocida, tal es el caso de las señales de voltaje y corriente eléctrica. En aplicaciones de filtrado es muy útil para el diseño de filtros digitales donde se desea el paso de una cierta banda de frecuencias y un fuerte bloqueo de las frecuencias adyacentes en segmentos cortos de señal de uno o dos ciclos. Por ejemplo en detección de portadoras de

sistemas de comunicación digital [12], y en general, en análisis armónico en la extracción de tonos puros [6,7] donde la banda de separación frecuencial es conocida *a priori*.

3.6 ANÁLISIS DE SEÑALES SENOIDALES

A continuación se analiza el efecto de la ventana \bar{d}_4 sobre dos señales senoidales, con el objeto de ilustrar la interferencia entre contenidos espectrales adyacentes.

La transformada de Fourier de una señal cosenoidal $A\cos(\Omega_0 t + \theta)$ es un par de impulsos en $+\Omega_0$ y $-\Omega_0$. En el análisis de señales senoidales, una función de ventana, ensancha los impulsos del espectro ideal los cuales adquieren la forma del espectro de la ventana utilizada. Esto hace que las frecuencias exactas sean menos definidas, afectando por tanto la capacidad para identificar señales que tienen una separación frecuencial pequeña [1,9,10] debido al traslape frecuencial introducido por la ventana. Además, dicha interferencia entre contenidos espectrales vecinos perturba la estimación de amplitud en una cierta frecuencia.

Considere la suma de dos componentes cosenoidales continuas en el tiempo

$$c(t) = A_0 \cos(\Omega_0 t + \theta_0) + A_1 \cos(\Omega_1 t + \theta_1) \quad -\infty < t < \infty, \quad (3.18)$$

donde $\Omega_0 = 2\pi f_0$ y $\Omega_1 = 2\pi f_1$.

Respetando el teorema de muestreo de Nyquist [1,9,10] y suponiendo que no existen errores de cuantificación [13], se obtiene la señal discreta en el tiempo

$$x[n] = A_0 \cos(\omega_0 n + \theta_0) + A_1 \cos(\omega_1 n + \theta_1) \quad -\infty < n < \infty, \quad (3.19)$$

donde $\omega_0 = \Omega_0 \tau$, $\omega_1 = \Omega_1 \tau$ y τ es el periodo de muestreo.

Al aplicar una secuencia de ventana $w[n]$ de longitud finita a la Ec. (3.19), se tiene:

$$v[n] = A_0 w[n] \cos(\omega_0 n + \theta_0) + A_1 w[n] \cos(\omega_1 n + \theta_1). \quad (3.20)$$

Usando la fórmula de Euler y aplicando la propiedad de escalamiento en la frecuencia, se obtiene la transformada discreta de Fourier de $v[n]$ como

$$\begin{aligned}
 V(e^{j\omega}) = & \frac{A_0}{2} e^{j\theta_0} W(e^{j(\omega-\omega_0)}) + \frac{A_0}{2} e^{-j\theta_0} W(e^{j(\omega+\omega_0)}) \\
 & + \frac{A_1}{2} e^{j\theta_1} W(e^{j(\omega-\omega_1)}) + \frac{A_1}{2} e^{-j\theta_1} W(e^{j(\omega+\omega_1)})
 \end{aligned} \tag{3.21}$$

La ecuación anterior indica que la transformada de Fourier de la señal que fue ponderada por la función ventana superpone réplicas de la transformada de Fourier de la ventana sintonizadas en las frecuencias $\pm\omega_0$ y $\pm\omega_1$.

En la Fig. 3.10(a) se muestra el uso de una ventana rectangular $w[n]$ de longitud 64 para dos tonos definidos por $f_0=45$ Hz y $f_1=60$ Hz, $A_0=0.7$ y $A_1=1$ en la Ec. (3.21). Y muestreados a $1/\tau=180$ Hz considerando $\theta_0=\theta_1=0$. Para ilustrar las características esenciales, se muestra sólo la magnitud de la transformada de Fourier discreta. En dicha figura se observa el traslape de contenidos adyacentes. Para los parámetros propuestos, la separación de las componentes individuales es clara, sin embargo sus amplitudes son modificadas por los lóbulos laterales de la armónica vecina. A medida que los dos tonos de frecuencia se aproximan en frecuencia, aumenta la interferencia de los lóbulos laterales de la componente vecina. La ventana rectangular tiene la ventaja de contar con el lóbulo principal más estrecho, sin embargo cuenta con el nivel más alto del primer lóbulo lateral. Estos indican la existencia de energía frecuencial en lugares donde no existen, mostrando un espectro engañoso. La Fig. 3.10(b) muestra el espectro de frecuencia del mismo caso utilizando la ventana de Hanning. Se observa que los lóbulos laterales disminuyen considerablemente aunque la interferencia entre contenidos espectrales vecinos persiste. La Fig. 3.10(c) muestra la ventana de Hamming, la cual presenta características muy semejantes comparada con la de Hanning, reduciendo aún más la interferencia, aunque todavía se alcanzan a percibir lóbulos laterales a lo largo de todo el espectro como un pequeño nivel de ruido. Finalmente, la Fig. 3.10(d) muestra el espectro obtenido con la ventana $\bar{\sigma}_4$. Ésta mejora las características espectrales de las otras ventanas en cuanto carece prácticamente de lóbulos laterales.

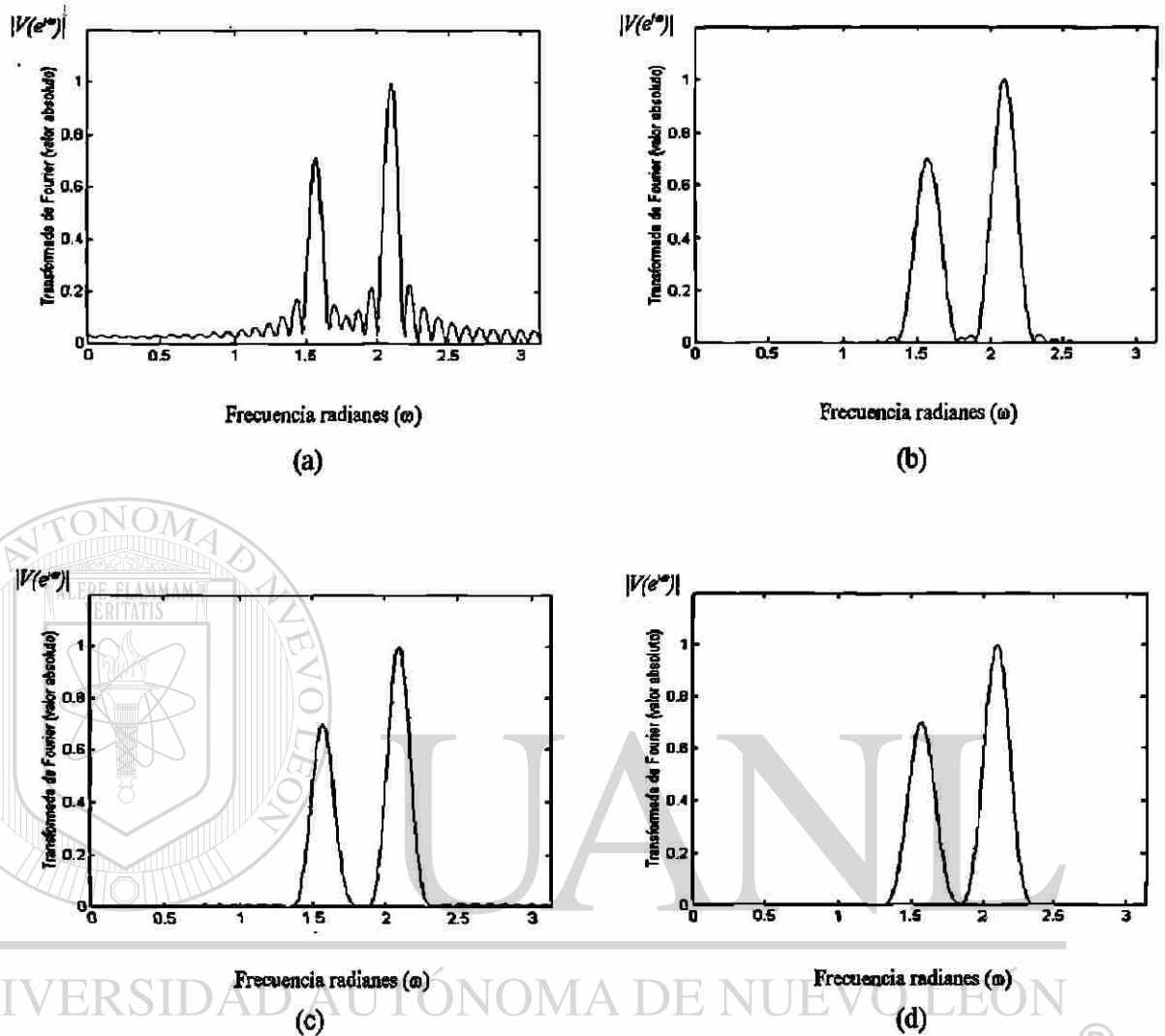


Fig. 3.10 Espectro de amplitud para dos tonos puros empleando diferentes ventanas. a) Ventana rectangular. b) Ventana de Hanning. c) Ventana de Hamming. d) Ventana $\bar{\sigma}_4$.

3.7 ESPECTROGRAMAS

En los espectrogramas, la ventana $\bar{\sigma}_4$, prácticamente elimina la interferencia entre contenidos frecuenciales vecinos. La Fig. 3.11 muestra dos espectrogramas para una señal en la que se introduce una segunda armónica. La primera gráfica usa la ventana $\bar{\sigma}_4$, mientras que la segunda emplea la ventana rectangular. En el primer caso se pueden observar claramente bandas suprimidas; mientras que en el segundo, se observa como se desparrama la energía, interfiriendo en la amplitud de la componente fundamental. Se observa además, que la ventana

rectangular es muy sensible a la fase relativa de la señal. En las siguientes secciones se presenta la aplicación de las nuevas ventanas en el diseño de filtros digitales FIR.

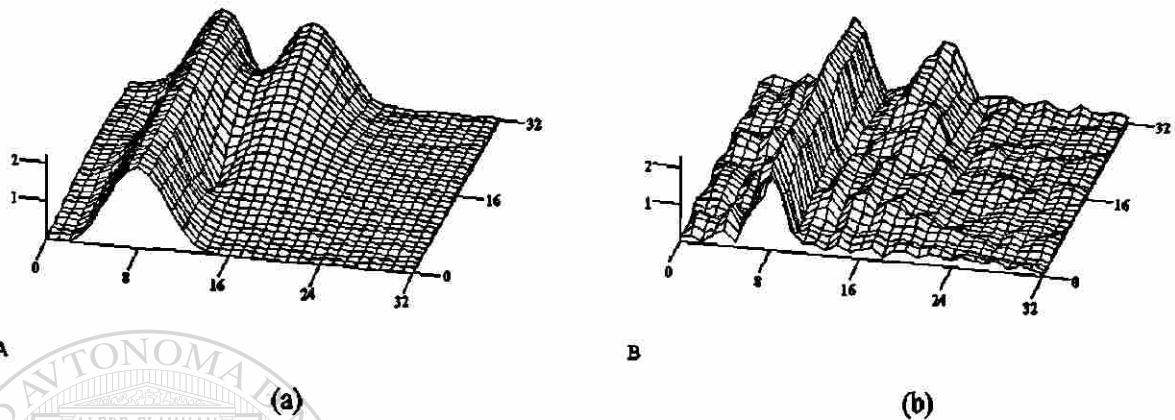


Fig. 3.11 Espectrogramas que ilustran el transitorio de una señal en la que se introduce una segunda componente armónica a) Ventana $\bar{\theta}_4$. b) Ventana rectangular.

3.8 APLICACIONES DE LA NUEVA FAMILIA DE VENTANAS EN EL DISEÑO DE FILTROS FIR

En las secciones anteriores se presentaron las características de la secuencia de funciones temporales $o_M(t)$. Considerando ahora estas funciones como respuestas impulsionales, la correspondiente secuencia de espectros $O_M(f)$, constituye una nueva opción para el diseño de filtros FIR; este tema es tratado ampliamente en [47]. Bajo esta nueva óptica, la Fig. 3.3 puede ser leída como la respuesta a la frecuencia de los filtros pasabajas de orden $N=2, 4$ y 8 . Realmente, dichos filtros se obtienen aplicando el procedimiento de aproximación funcional de filtros selectivos en frecuencia. Los detalles de esta metodología aparecen en [15,16,17]. Este método se desarrolla en términos de aproximaciones al filtro pasabajas ideal, y básicamente consiste en definir la familia de funciones en frecuencia que determinan el tipo de bordes laterales del filtro. A cada familia de funciones corresponde un tipo de filtro. Los filtros Butterworth, Chebyshev y elípticos provienen de este método. Sin embargo, los nuevos filtros, a diferencia de los filtros Chebyshev, elípticos y Butterworth, tienen una banda supresora hermética, son no casuales y de fase nula.

A continuación se estudian las características de los filtros pasabanda obtenidos mediante una simple sintonización frecuencial de las funciones $o_M(t)$. Los filtros FIR se obtienen truncando las respuestas infinitas al impulso. En base a lo anterior, las respuestas impulsionales de los nuevos filtros se obtiene aplicando la ventana $\bar{o}_N(t)$ a las ondas coseno y seno:

$$h_c(t) = \bar{o}_N(t) \cos(2\pi f_0 t), \quad (3.22)$$

$$h_s(t) = j\bar{o}_N(t) \text{sen}(2\pi f_0 t). \quad (3.23)$$

donde f_0 es la frecuencia fundamental. El filtro seno se define imaginario con el objeto de ponerlo en cuadratura con el coseno.

Las respuestas frecuenciales de dichos filtros son las siguientes:

$$H_c(f) = \frac{1}{2} [\bar{O}_N(f + f_0) + \bar{O}_N(f - f_0)], \quad (3.24)$$

$$H_s(f) = \frac{1}{2} [-\bar{O}_N(f + f_0) + \bar{O}_N(f - f_0)], \quad (3.25)$$

donde la función $\bar{O}_N(f)$ es el espectro de la ventana $\bar{o}_N(t)$. Nótese además, que ambos filtros, son las convoluciones en frecuencia de la transformada de Fourier de la ventana $\bar{o}_N(t)$ con las transformadas de las funciones coseno y seno imaginario. Por lo tanto, la respuesta a la frecuencia de los filtros ortogonales combinan dos réplicas de $\bar{O}_N(f)$ sintonizadas en las frecuencias $\pm f_0$.

La respuesta impulsional del nuevo filtro es la suma de la de los dos filtros anteriores:

$$h_N(t) = h_c(t) + h_s(t) \quad (3.26)$$

y su transformada de Fourier es la siguiente:

$$H_N(f) = H_c(f) + H_s(f) = \bar{O}_N(f - f_0). \quad (3.27)$$

$H_N(f)$ es una simple réplica de $\bar{O}_N(f)$ sintonizada en f_0 , es decir, real, con un único lóbulo en f_0 .

3.8.1 Discretización de los filtros

A continuación se consideran las características frecuenciales de los filtros digitales. Las secuencias de las respuestas al impulso de los filtros digitales se obtienen muestreando las funciones (3.22) y (3.23). Si τ es el período de muestreo, dichas secuencias son las siguientes:

$$h_c[n] = h_c(n\tau); \quad h_s[n] = h_s(n\tau). \quad (3.28)$$

La transformada de Fourier de una secuencia $h[n]$, obtenida por el muestreo de la función continua $h(t)$, es:

$$\tilde{H}(f) = f_m \sum_{k=-\infty}^{\infty} H(f - kf_m), \quad (3.29)$$

donde $H(f)$ es la transformada de Fourier de $h(t)$. Se sabe que $\tilde{H}(f)$ es una función repetitiva en frecuencia, formada por la superposición de réplicas de $H(f)$ de magnitud f_m , sintonizadas en frecuencias múltiplos enteros de la frecuencia de muestreo $f_m = 1/\tau$. El ancho de banda de los filtros continuos es $2f_0$. Si se desea evitar los empalmes de las réplicas, se requiere una frecuencia de muestreo no menor que $4f_0$. Esta frecuencia de muestreo es muy baja en comparación con la requerida por los filtros convencionales de Fourier, debido a sus extendidos lóbulos laterales (ver Fig. 3.12) [6,7]. Además, no requiere ser múltiplo de la frecuencia fundamental, ya que los filtros resultantes tienen una banda supresora hermética.

Al restringir la función ideal $o_N(t)$ a una duración finita D , se obtiene la ventana $\bar{o}_N(t)$. Este truncamiento introduce pequeños lóbulos laterales en el espectro ideal de $o_N(t)$, resultantes de la convolución frecuencial del lóbulo de dicha función con el seno cardenal de la ventana rectangular truncante. La Fig. 3.13 muestra la respuesta a la frecuencia del filtro $H_c(f)$

utilizando la ventana $\bar{o}_2(t)$ de duración $D=3T$ y $M=32$. Cambiando el signo del lóbulo izquierdo se obtiene $H_s(f)$.

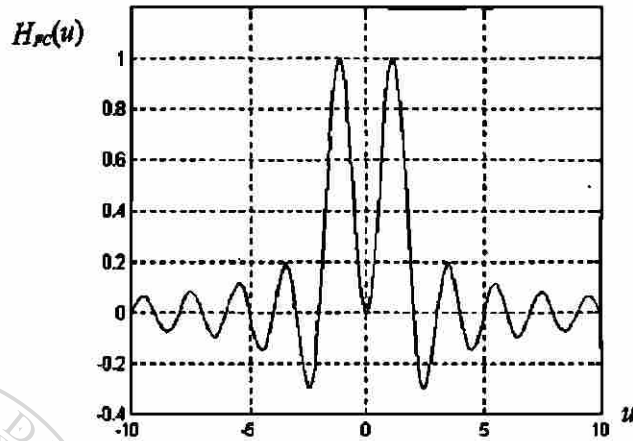


Fig. 3.12 Filtro convencional de Fourier tipo coseno, donde $u=f/f_0$.

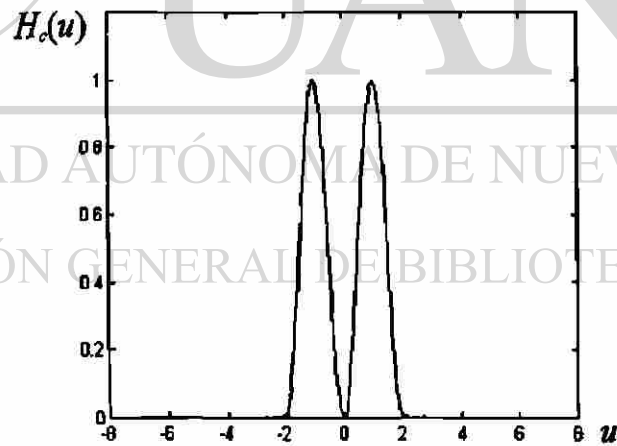


Fig. 3.13 Respuesta a la frecuencia del filtro $H_c(f)$ utilizando la ventana $\bar{o}_2(t)$ de duración $D=3T$ y $M=32$, donde $u=ff_0$.

Para efectuar un buen filtrado, los nuevos filtros requieren una duración mínima de dos ciclos, esta duración es superior a la de los filtros convencionales de Fourier, lo cual puede ser inapropiado para las aplicaciones que deben tomar una decisión en un tiempo inferior a los dos ciclos.

3.8.2 Implementación de los filtros

A continuación se describe la implementación digital de los nuevos filtros. Sea $s[n]$ la señal de interés. Definiendo las proyecciones ortogonales de dicha señal como $g[n]$ y $h[n]$, se tiene:

$$g[n+L] = \frac{2}{Lf_0} \sum_{k=0}^{Q-1} s[n+k] \bar{\sigma}_N[k-L] \cos\left(\frac{2\pi k}{L}\right), \quad (3.30)$$

$$h[n+L] = \frac{-2}{Lf_0} \sum_{k=0}^{Q-1} s[n+k] \bar{\sigma}_N[k-L] \operatorname{sen}\left(\frac{2\pi k}{L}\right), \quad (3.31)$$

$$n=0,1,\dots, Q-\delta L;$$

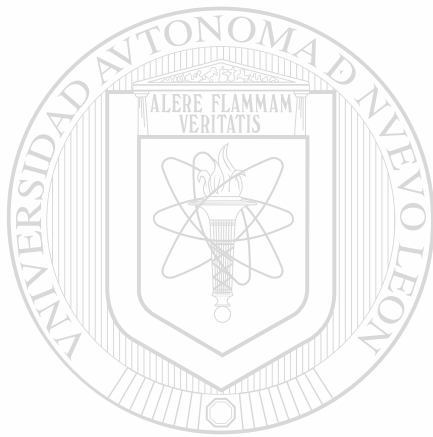
donde L es la cantidad de muestras por ciclo, n representa los instantes de muestreo, δ la duración del filtro en ciclos y Q la cantidad de muestras a procesar. Las secuencias $g[n]$ y $h[n]$ resultan de la convolución digital de la señal con las respuestas impulsionales de los filtros $h_c[n]$ y $h_s[n]$. Nótese que la reversa de la secuencia impulsional que interviene en las convoluciones afecta solamente a la función senoidal por un simple cambio de signo. Por ello, (3.30) y (3.31) constituyen las partes real e imaginaria de la transformada de Fourier discreta de la señal segmentada con una función ventana y evaluada en la frecuencia fundamental, a excepción del signo negativo de (3.31). Por tanto, ambas convoluciones se pueden calcular mediante la transformada rápida de Fourier (FFT, *Fast Fourier Transform*) y el simple cambio de signo en la proyección vertical.

3.9 CONCLUSIONES

- Se presentó el desarrollo matemático, características temporales y espectrales, y aplicaciones de una nueva familia de ventanas, las cuales tienen excelentes características frecuenciales y pueden emplearse tanto en aplicaciones de estimación espectral como de filtrado digital.
 - La ventana $\bar{\sigma}_4$ supera a las ventanas convencionales en cuanto que sus lóbulos laterales tienen una amplitud relativa inferior. Con un nivel relativo de lóbulos laterales tan bajo (de -55 dB), se puede considerar prácticamente carente de ellos. Sin embargo, su lóbulo principal es más ancho.
 - Se demostró que la nueva familia de ventanas se aproximan a una curva gaussiana conforme se incrementa el factor leptógeno N . Además, se pueden definir ventanas, al igual que la ventana de Káiser, que sean equivalentes a cada una de las ventanas clásicas en cuanto a la anchura de su lóbulo principal, incluso mejorando la amplitud relativa de sus lóbulos laterales.
-
- Las características espectrales de la nueva familia de ventanas (anchura de su lóbulo principal y amplitud relativa de sus lóbulos laterales), se pueden modificar variando el factor leptógeno N y su duración D respectivamente. Una vez definida una ventana, se puede reducir su ancho espectral aplicando escalamiento temporal.
 - Al tener lóbulos laterales muy bajos, la ventana $\bar{\sigma}_4$ elimina prácticamente la interferencia entre contenidos espectrales vecinos. Por lo que se recomienda su uso en análisis armónico y en espectrogramas, donde la separación armónica es conocida. En ese caso, para evitar interferencias se puede definir el ancho del lóbulo principal igual o inferior a la separación interarmónica.
 - Los filtros generados a partir de la nueva familia de ventanas mejoran los filtros convencionales de Fourier, dado que minimizan las fugas interarmónicas. Son muy útiles en el diseño de filtros digitales donde se desea el paso de una cierta banda de frecuencias y un

fuerte bloqueo de las frecuencias restantes, en estimación fasorial en sistemas eléctricos de potencia y en detección de portadoras en sistemas de comunicación digital.

- La desventaja de estos filtros es que requieren un mínimo de dos ciclos para efectuar un buen filtrado, lo cual los descarta de aplicaciones de protección de líneas de transmisión. Sin embargo, para la presente aplicación de detección y registro de señales de fallas, dicha limitación no representa ningún problema.



UANL

UNIVERSIDAD AUTÓNOMA DE NUEVO LEÓN



DIRECCIÓN GENERAL DE BIBLIOTECAS

NUEVOS FILTROS DIGITALES PARA DETECCIÓN DE FALLAS

4.1 INTRODUCCIÓN

En este capítulo se presenta en detalle el desarrollo matemático, ecuaciones de diferencia y características espectrales de una nueva familia de filtros peine, los cuales se proponen para aplicaciones de detección de fallas en SEP. Dichos filtros son evaluados ante diversas señales de falla, tanto de corriente como de voltaje.

Durante el proceso transitorio de una perturbación, las señales de voltaje y corriente se ven afectadas por cambios abruptos en la amplitud. Las corrientes generalmente están altamente contaminadas con una componente aperiódica exponencial de baja frecuencia y con armónicas provenientes de las no linealidades del sistema [18,19]. En la Fig. 4.1 se muestra una señal de corriente de falla afectada por una componente aperiódica, tomando $M=16$ muestras por ciclo. La energía de la componente aperiódica se distribuye continuamente desde la frecuencia cero hasta una docena de armónicas, dependiendo de su atenuación.

En la Fig. 4.2(a) se presenta una señal de falla sin componente aperiódica y en la Fig. 4.2(b) su espectro de amplitud normalizado al centrar en la discontinuidad la ventana $\bar{\omega}_4$ con una longitud $L=16$. Observe nuevamente la concentración de energía en la frecuencia cero. La técnica para detectar el inicio de una falla consiste pues en detectar los cambios abruptos de amplitud, los cuales se manifiestan por cambios abruptos de la energía espectral en la frecuencia cero. Por tanto, el detector consistirá de un filtro acoplado que permita el paso de la energía en la banda base y de un comparador de umbral que señale cuando dicha energía

sobrepasa un cierto nivel. En la Fig. 4.3 se presenta un diagrama de bloques que ilustra esta estrategia de detección. En dicho esquema el filtro acoplado está formado por dos filtros en cascada uno llamado pasapases y el otro es un filtro de promedio deslizante.

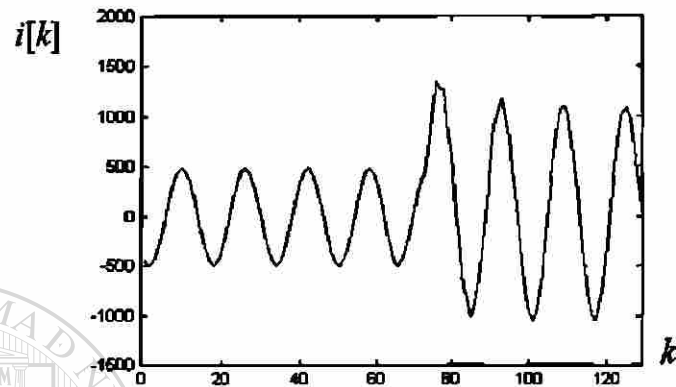


Fig. 4.1 Ejemplo de señal de corriente de falla con componente aperiódica para una línea larga.

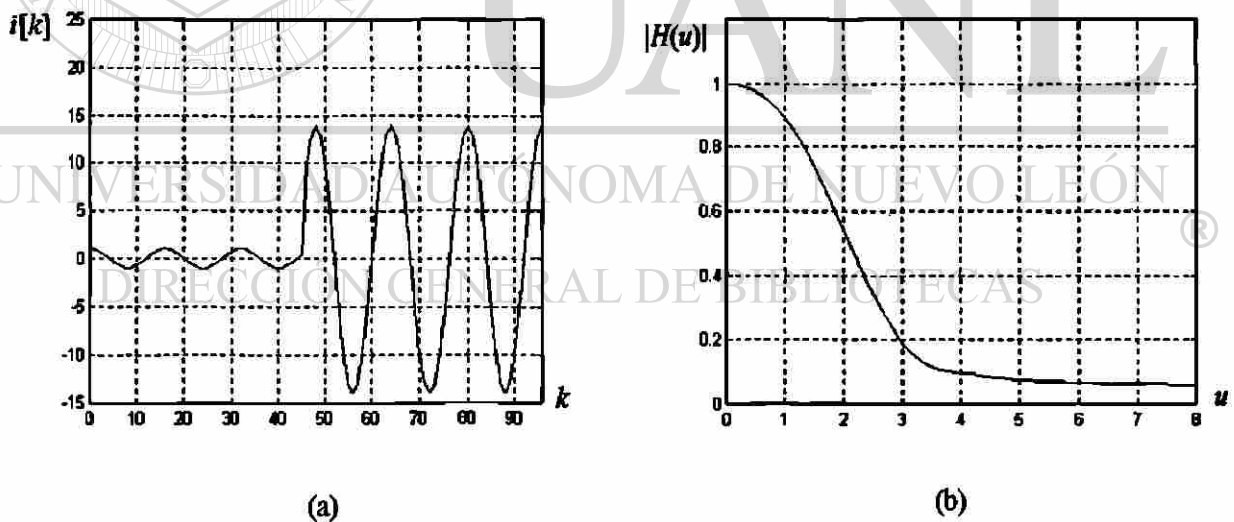


Fig. 4.2 Demostración de la concentración energética de baja frecuencia para una señal de corriente de falla sin componente aperiódica. a) Señal de corriente de falla sin componente aperiódica muestreada a 16 muestras por ciclo. b) Espectro de amplitud normalizado centrado en la discontinuidad empleando la ventana \overline{D}_4 con $L=16$, donde $u=ff_0$.

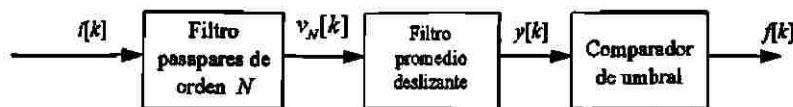


Fig. 4.3 Esquema de detección que emplea un filtro pasapares de orden N en conjunción con un filtro de promedio deslizante. El presente esquema construye un filtro acoplado que permite el paso de la energía de la banda base.

En la primer sección se propone una nueva familia de filtros peine denominados filtros pasapares. Estos filtros permiten el paso de las armónicas pares y rechaza las impares. Después de presentar sus ecuaciones de diferencia y sus características espectrales, se describe el detector que emplea un filtro pasapares de orden uno en conjunción con un filtro de promedio deslizante de medio ciclo para construir el filtro acoplado deseado. Posteriormente se muestra el esquema de filtrado que utiliza el filtro pasapares de orden dos ahora en conjunción con un filtro de promedio deslizante de un ciclo. Finalmente se evalúan los diferentes filtros ante diversas señales de falla.

4.2 FAMILIA DE FILTROS PASAPARES

Los coeficientes de la familia de filtros peine se obtienen al aplicar la transformada de Fourier inversa a la siguiente familia de funciones definidas en frecuencia:

$$P_N(f) = \cos^N\left(\frac{\pi}{2f_0}f\right), \quad -\infty < f < \infty \quad (4.1)$$

donde N es un entero no negativo, llamado factor leptógeno.

Usando la formula de Euler y el teorema binomial en la Ec. (4.1) se obtiene:

$$P_N(f) = \frac{1}{2^N} \sum_{k=0}^N \binom{N}{k} \exp\left[j \frac{\pi f}{2f_0} (2k - N)\right] \quad (4.2)$$

Aplicando la propiedad de linealidad, la transformada de Fourier inversa de la Ec. (4.2) es dada por:

$$p_N(t) = \left[\frac{1}{2^N} \sum_{k=0}^N \binom{N}{k} \delta(t - t_k) \right], \quad (4.3)$$

donde $\delta(t)$ es la Distribución de Dirac en $t=0$. La Ec. (4.3) corresponde a la distribución de Bernoulli de orden N , la cual tiene $N+1$ pulsos instantáneos separados cada $T/2$ s. Los pulsos de Dirac se encuentran en los instantes:

$$t_k = \frac{(2k - N)T}{4}, \quad k = 0, 1, 2, \dots, N. \quad (4.4)$$

La Ec. (4.3) ofrece los coeficientes de la familia de filtros pasapares de orden N ($N > 0$).

En la Fig. 4.4 se grafican estos coeficientes para valores de $N=1, 2, 3$ y 4 .

Las ecuaciones de diferencia de los filtros pasapares (para $N > 0$), se obtienen al convolucionar una secuencia $i[k]$ con los coeficientes de la Ec. (4.3). Considerando lo anterior, para $N=1$ se tiene la ecuación de diferencias del filtro pasapares de orden uno:

$$v_1[k] = \frac{1}{2} (i[k + M/4] + i[k - M/4]), \quad (4.5)$$

donde la secuencia $i[k]$ se obtiene tomando M muestras por ciclo de la señal $i(t)$. La ecuación de diferencias del filtro pasapares de orden dos es dada por:

$$v_2[k] = \frac{1}{2} i[k] + \frac{1}{4} (i[k - M/2] + i[k + M/2]). \quad (4.6)$$

La ecuación de diferencias del filtro pasapares de orden tres es:

$$v_3[k] = \frac{1}{8} (i[k + 3M/4] + i[k - 3M/4]) + \frac{3}{8} (i[k + M/4] + i[k - M/4]). \quad (4.7)$$

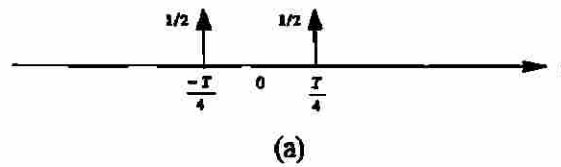
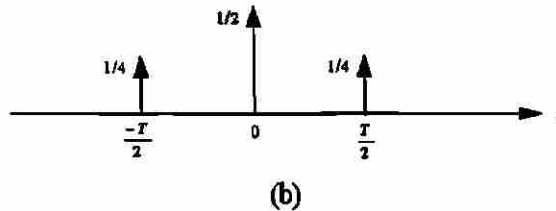
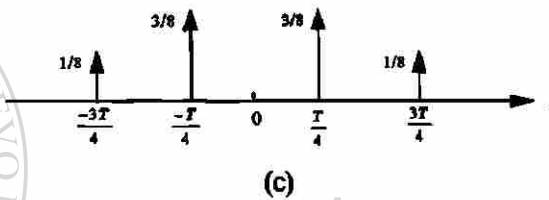
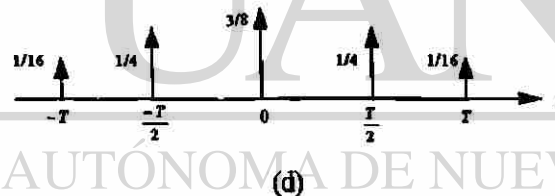
$N=1$  $N=2$  $N=3$  $N=4$ 

Fig. 4.4 Gráficas que ilustran la amplitud y localización de los componentes discretos de la distribución de Bernoulli de orden N . a) $N=1$. b) $N=2$. c) $N=3$. d) $N=4$.

Por último, la ecuación de diferencias del filtro pasapares de orden cuatro es dada por:

$$v_4[k] = \frac{3}{8}i[k] + \frac{1}{4}(i[k + M/2] + i[k - M/2]) + \frac{1}{16}(i[k + M] + i[k - M]). \quad (4.8)$$

En la Fig. 4.5 se presenta la respuesta a la frecuencia de los filtros peine de orden 1, 2, 3 y 4. Como se puede observar, estos filtros permiten el paso de las armónicas pares entre las cuales se incluye la mayor parte del contenido energético de la componente aperiódica o los cambios bruscos de amplitud. Al mismo tiempo los filtros eliminan las armónicas impares. Por

ello los nuevos filtros peine serán llamados pasapares. El espectro de los filtros de orden impar alterna el signo cada dos armónicas, mientras que los de orden par tienen espectro no negativo. Observe que a medida que se incrementa el orden del filtro, las bandas de paso se hacen cada vez más angostas, mejorando la resolución frecuencial y la inmunidad al ruido. Note que los filtros de orden tres y cuatro presentan un fuerte rechazo en las vecindades de las componentes impares. Sin embargo, a medida que aumenta el orden del filtro, se requiere de más tiempo para elaborar cada muestra de salida. La Tabla 4.1 presenta la cantidad de ciclos de señal de entrada requerida para obtener la respuesta de salida de cada filtro. El filtro de orden uno cuenta con las bandas de paso más amplias, permitiendo el paso de energía considerable de las componentes interarmónicas. La gran ventaja de este filtro es la rapidez con que genera su salida, ya que requiere de sólo medio ciclo de la señal de entrada. Por su parte, la respuesta del filtro de orden cuatro es el que presenta las bandas de paso más angostas, sin embargo, requiere de dos ciclos de señal de entrada para generar su salida, esto lo hace inadecuado para aplicaciones donde el tiempo de respuesta es crítico. Aunque en el caso de la detección para registro el tiempo no es crítico ya que se graba un intervalo amplio de prefalla.

En particular, el filtro pasapares de orden 2, se ha propuesto como una alternativa en la detección de fallas en SEP [2,3]. En [3] se compara dicho filtro con el utilizado por un equipo comercial [43]. Otra de las ventajas de la nueva familia de filtros es que son de fase nula lo cual es muy importante en aplicaciones de postprocesamiento para medición fasorial.

Cuando N es par, los filtros pasapares tienen filtros complementarios denominados filtros pasaimpares. Las ecuaciones de diferencias de los filtros pasaimpares de orden dos y cuatro son dadas por:

$$z_2[k] = \frac{1}{2} i[k] - \frac{1}{4} (i[k + M/2] + i[k - M/2]) \quad (4.9)$$

y

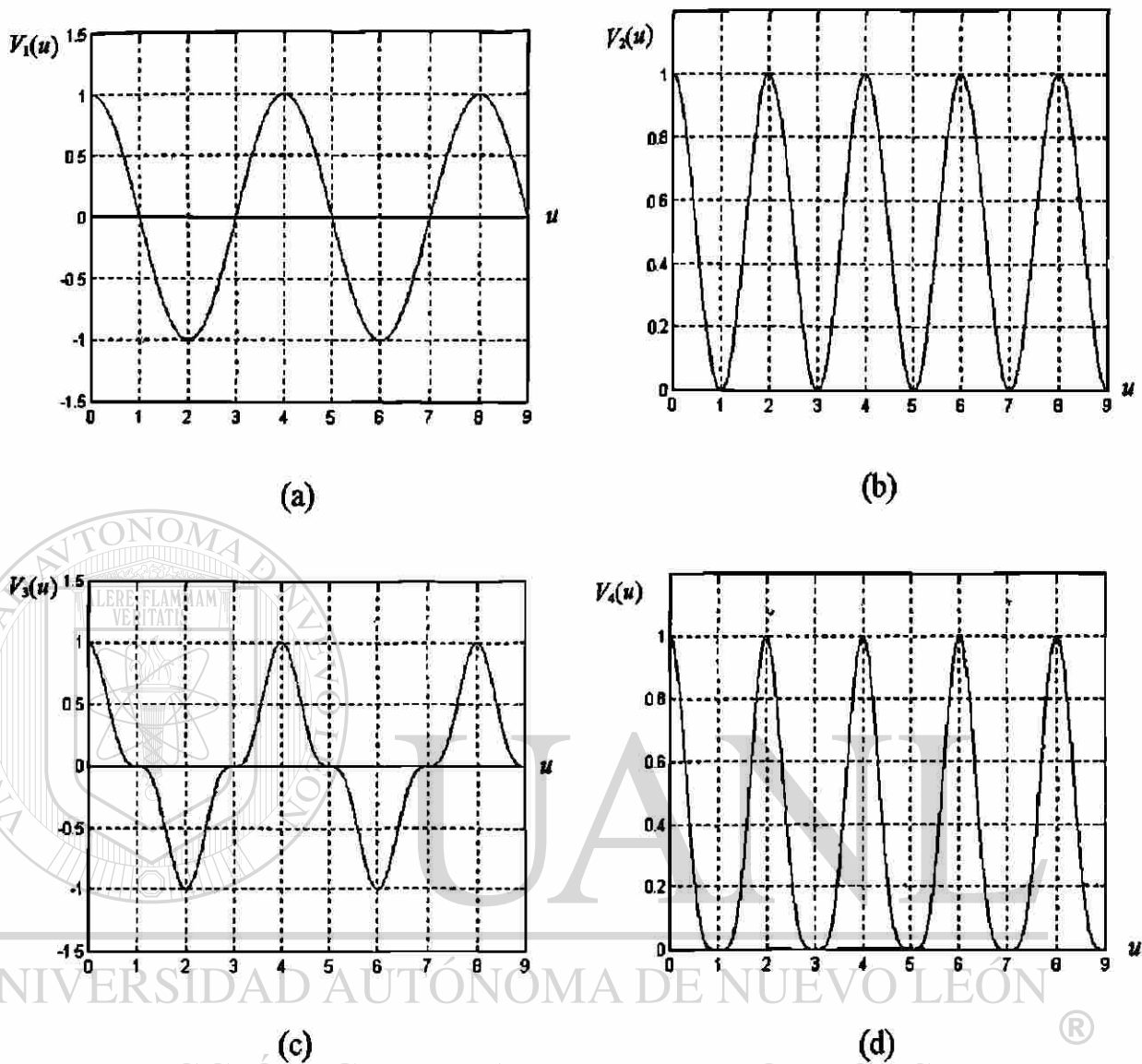


Fig. 4.5 Respuesta a la frecuencia de los filtros pasapares, donde $u=f/f_c$. a) Filtro de orden uno. b) Filtro de orden dos. c) Filtro de orden tres. d) Filtro de orden cuatro.

Tabla 4.1 Ciclos de señal requeridos para elaborar cada muestra de salida de los filtros pasapares.

Orden del filtro N	Ciclos de señal T
1	$0.5T$
2	T
3	$1.5T$
4	$2T$

$$z_4[k] = \frac{5}{8}i[k] - \frac{1}{4}(i[k + M/2] + i[k - M/2]) - \frac{1}{16}(i[k + M] + i[k - M]). \quad (4.10)$$

En general ambos filtros cumplen con la siguiente propiedad:

$$i[k] = v_M[k] + z_M[k] \quad (4.11)$$

donde N es par.

La Fig. 4.6 presenta la respuesta a la frecuencia de los filtros pasaimpares: (a) de orden dos y (b) de orden cuatro. Ambos filtros permiten el paso de las componentes frecuenciales impares, eliminando las armónicas pares. El filtro pasaimpares de orden cuatro amplía su banda de paso en relación al filtro de orden dos y mantiene una ganancia constante en las vecindades de las componentes impares.

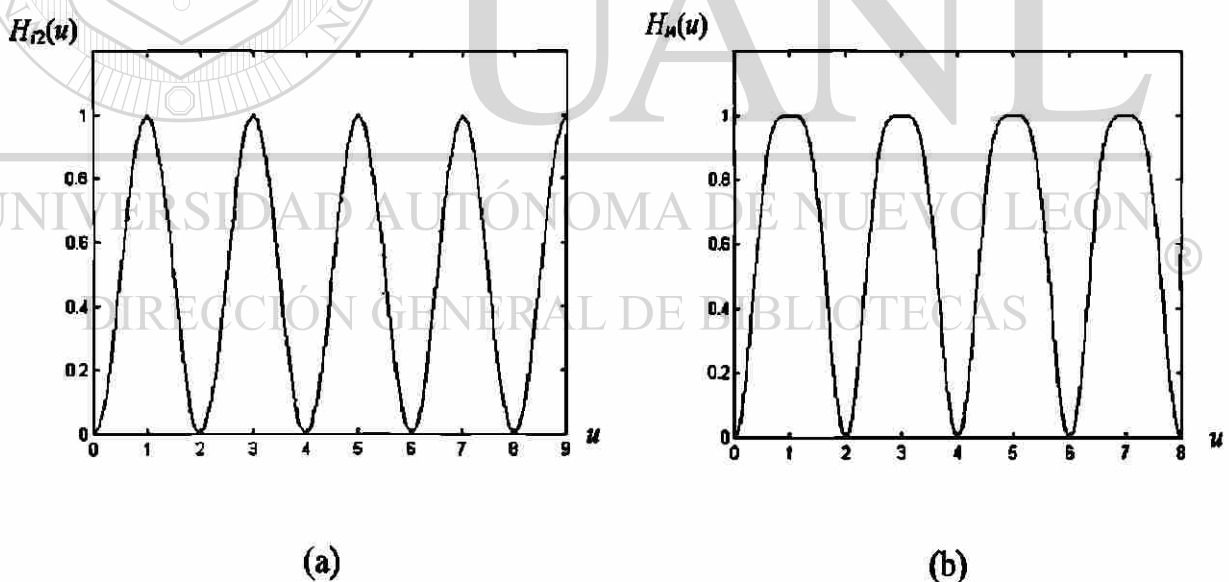


Fig. 4.6 Espectro de amplitud para los filtros pasaimpares de orden dos y cuatro, donde $u=ff_0$. a) Filtro de orden dos. b) Filtro de orden cuatro.

Finalmente, una ventaja de los filtros pasapares y pasaimpares es su sencillez para su implementación y para su ejecución computacional. Observe en la Fig. 4.4 como la ganancia de la mayoría de los coeficientes es dividida por una potencia entera de dos, esto permite emplear desplazamientos binarios para realizar dichas divisiones al momento de implementar

estos filtros en un algoritmo computacional, lo cual es más eficiente que ejecutar cálculos en punto flotante.

A continuación se presentan dos filtros que permiten el paso de la energía de la banda base, el primero está integrado por un filtro pasapares de orden uno y un filtro de promedio deslizando de medio ciclo, mientras que el segundo emplea el filtro pasapares de orden dos y un filtro de promedio deslizando de un ciclo.

4.3 FILTRADO DIGITAL PARA LA DETECCIÓN DE FALLAS EMPLEANDO EL FILTRO PASAPARES DE ORDEN UNO EN CONJUNCIÓN CON UN FILTRO DE PROMEDIO DESLIZANTE DE MEDIO CICLO DE DURACIÓN

La técnica de detección empleada consiste en extraer y detectar la presencia de la energía de baja frecuencia que genera la discontinuidad de la falla en las señales de voltaje y corriente. Para ello, se utiliza primero una etapa de prefiltrado digital separando dicha energía de la componente fundamental.

El filtro digital utilizado en esta aplicación fue el filtro pasapares de orden uno, seguido de un filtro de promedio deslizando de medio ciclo. La conjunción de ambos filtros da como resultado un filtro acoplado a la energía de la discontinuidad que genera la falla.

El filtro pasapares de orden uno es el que tiene la banda de paso más amplia, permite el paso de las componentes pares y de energía considerable de las componentes interarmónicas. Esto afectaría la decisión del detector ya que podría activarse ante una señal de ruido interarmónico de gran amplitud. Una alternativa para atenuar la energía de las componentes pares y de las componentes interarmónicas, es utilizar una etapa posterior de filtrado con un filtro de promedio deslizando de medio ciclo. Su ecuación de diferencias es dada por:

$$y[k] = \frac{1}{M} \sum_{n=-M/2}^{M/2-1} v_1[k-n], \quad (4.12)$$

donde $v_1[k]$ es la salida del filtro pasapares de orden uno y $y[k]$ la señal de entrada al comparador de umbral, tal como se observa en la Fig. 4.3. Al incluir este filtro se requerirá ahora de 1 ciclo para elaborar cada muestra de salida.

La respuesta a la frecuencia del filtro de promedio deslizante de medio ciclo se presenta en la Fig. 4.7. Debido a la contracción temporal sus bandas de paso se ensanchan al doble de las del filtro de promedio deslizante de un ciclo. Este filtro rechaza las armónicas residuales pares y atenúa las frecuencias interarmónicas. La respuesta a la frecuencia final para este esquema de filtrado se presenta en la Fig. 4.8. El filtro conjunto rechaza tanto las armónicas pares como las impares, atenúa las componentes interarmónicas invirtiendo alternativamente el signo en intervalos sucesivos de frecuencia.

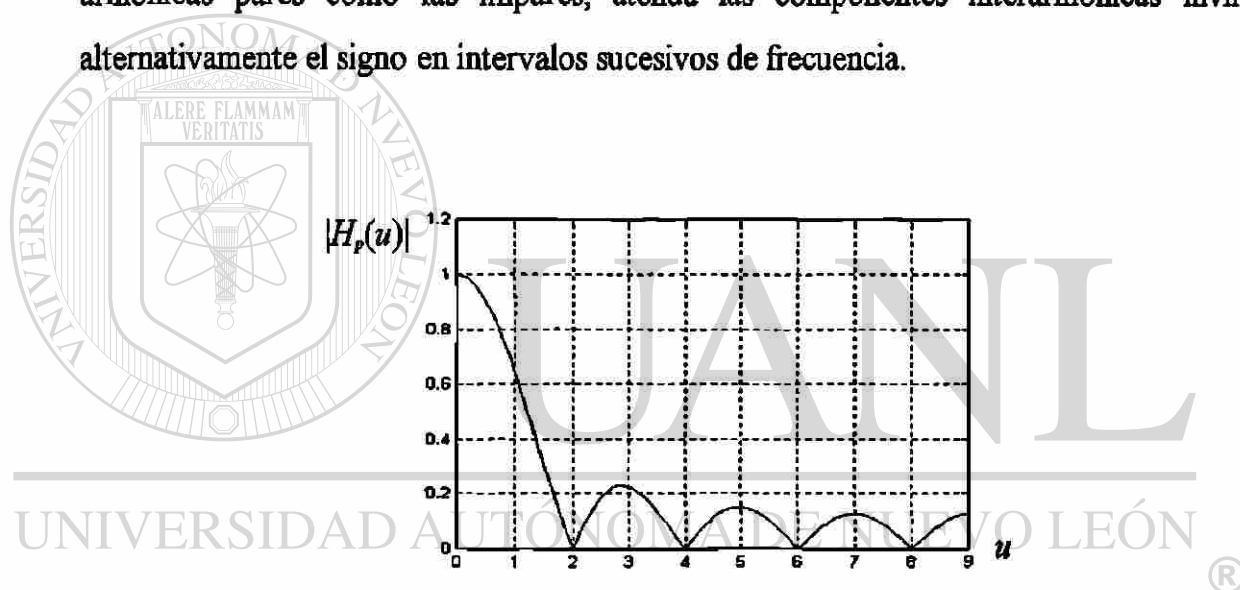


Fig. 4.7 Respuesta a la frecuencia del filtro de promedio deslizante de medio ciclo de duración, donde $u=ff_s$.

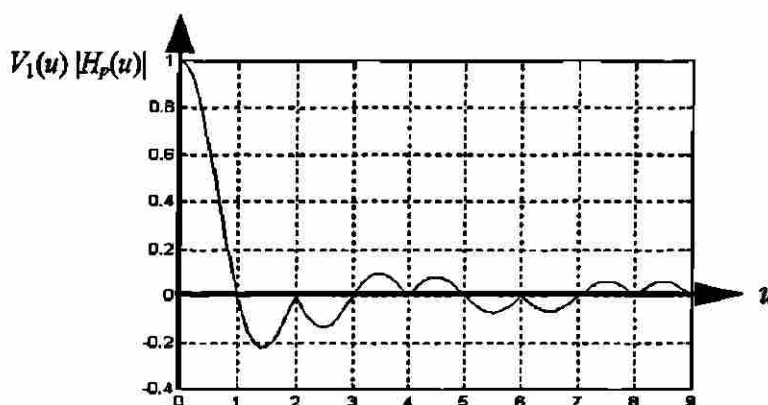


Fig. 4.8 Respuesta a la frecuencia total para el esquema de filtrado integrado por el filtro pasapares de orden uno en conjunción con el filtro de promedio deslizante de medio ciclo, donde $u=ff_s$.

4.4 FILTRADO DIGITAL PARA LA DETECCIÓN DE FALLAS EMPLEANDO EL FILTRO PASAPARES DE ORDEN DOS EN CONJUNCIÓN CON UN FILTRO DE PROMEDIO DESLIZANTE DE UN CICLO DE DURACIÓN

La técnica de detección utilizada en la presente sección se basa en la de la sección anterior, sólo que ahora se utiliza el filtro pasapares de orden dos en conjunción con un filtro de promedio deslizante de un ciclo de duración. La ecuación de diferencias del filtro pasapares de orden dos es dada por la Ec. (4.6) y su respuesta a la frecuencia se presenta en la Fig. 4.5(b). Se puede observar que dicho filtro permite el paso de las armónicas pares y la mayor parte del contenido energético de la banda base.

Con su filtro complementario (filtro pasaimpares de orden dos) es posible separar las armónicas pares de las impares. Dicho separador es muy útil tanto para extraer la energía de la discontinuidad de las señales de falla como para medir el fasor depurado de dicha energía. Este caso se describe ampliamente en [3]. Otra característica interesante de dichos filtros es que no amplifican armónicas ni introducen cambios de fase.

El filtro de promedio deslizante de un ciclo, cuya respuesta a la frecuencia se presenta en la Fig. 4.9, es necesario para suprimir la energía de las armónicas pares las cuales podrían dar lugar a falsas detecciones si solamente se usara el pasapares de orden dos.

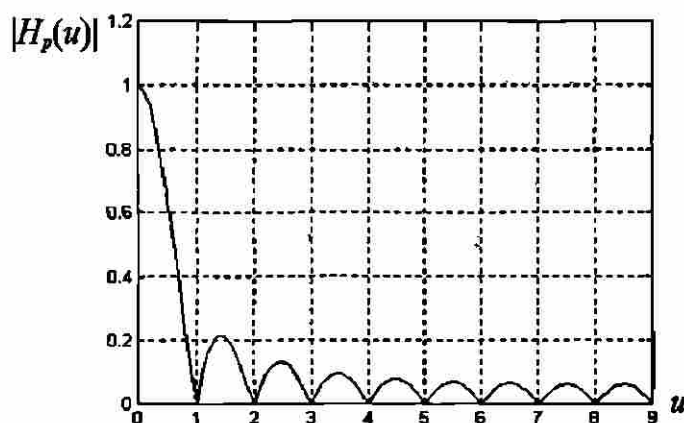


Fig. 4.9 Respuesta a la frecuencia del filtro de promedio deslizante de un ciclo de duración, donde $u=ff/f_0$.

La respuesta a la frecuencia final para este esquema de filtrado es igual al producto de la respuesta a la frecuencia de ambos filtros, la cual se muestra en la Fig. 4.10. Se puede observar cómo el nivel de las frecuencias interarmónicas se atenúa considerablemente y se rechaza totalmente la energía de las armónicas, dejando pasar solamente el contenido energético de frecuencia nula. De esta forma se reduce la posibilidad de una falsa activación del detector. Observe cómo en las vecindades de las frecuencias armónicas se tiene un fuerte rechazo.

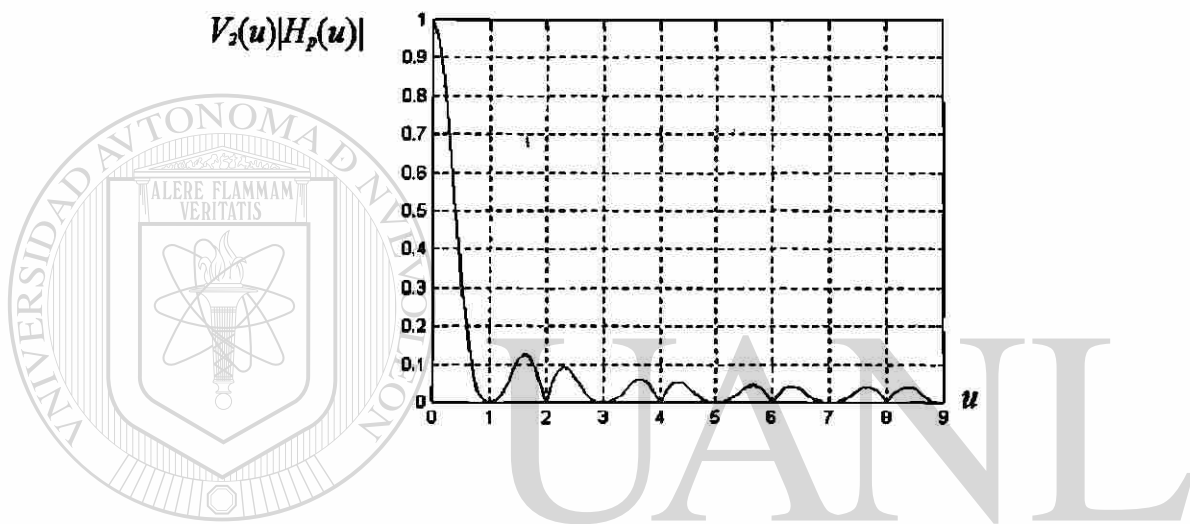


Fig. 4.10 Respuesta a la frecuencia del esquema total de filtrado.

Mediante el uso del filtro pasapares de orden dos (ver Ec. (4.6)) y de su filtro complementario (ver Ec. (4.9)) la señal original ($i[k]$) puede separarse en dos. En la primera ($v_2[k]$) predomina la energía de la banda base y es empleada para detectar fallas; mientras que en la segunda ($z_2[k]$) predomina la fundamental y es útil para la medición fasorial.

En la Fig. 4.11 se muestra un diagrama a bloques del esquema de filtrado utilizado en esta sección; para propósitos de visualización se presenta encerrado en líneas punteadas. También muestra la posible utilización del filtro pasaimpares en aplicaciones de medición fasorial. Para este esquema de filtrado, el tiempo para elaborar cada muestra de salida es de 2 ciclos, 1 ciclo para cada etapa de filtrado.

El comparador de umbral rectifica la señal $y[k]$ y señala el instante en que la energía de la banda base sobrepasa un cierto nivel.

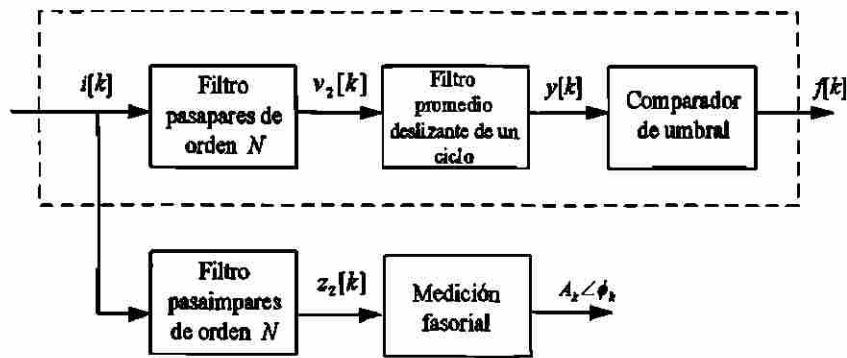


Fig. 4.11 Diagrama a bloques donde se muestra el esquema de filtrado que utiliza el filtro pasapares de orden dos en conjunción con un filtro de promedio deslizando de un ciclo de duración (encerrado en líneas punteadas) y la posible utilización del filtro pasaimpares en aplicaciones de medición fasorial; para el presente caso $N=2$.

4.5 EVALUACIÓN DE LOS FILTROS ANTE SEÑALES DE CORRIENTE DE FALLA

En la presente sección se evalúa ante diversas señales de corriente de falla los siguientes filtros: filtro pasapares de orden uno, dos y cuatro; el esquema de filtrado integrado por el filtro pasapares de orden uno y el filtro de promedio deslizando de medio ciclo, y el esquema de filtrado que emplea el filtro pasapares de orden dos y el filtro de promedio deslizando de un ciclo. Las señales de falla a las que serán sometidos estos filtros se presentan en las Figs. 4.12(a), (b), (c) y (d). Éstas fueron obtenidas por simulaciones en el programa EMTP para modelos con diversas representaciones de líneas con y sin componente exponencial (a excepción de la señal de falla de la Fig. 4.12(a) la cual fue modelada en el programa MATLAB). En todas las señales se empleó una frecuencia de muestreo de 16 muestras por ciclo.

Para la correcta detección del instante de la falla, se requiere que la señal de entrada al comparador de umbral genere valores elevados desde que la ventana empieza a incluir datos de la discontinuidad provocada por la falla. A continuación se presenta la evaluación de los diferentes filtros; las gráficas de las siguientes secciones mostrarán su salida rectificadas.

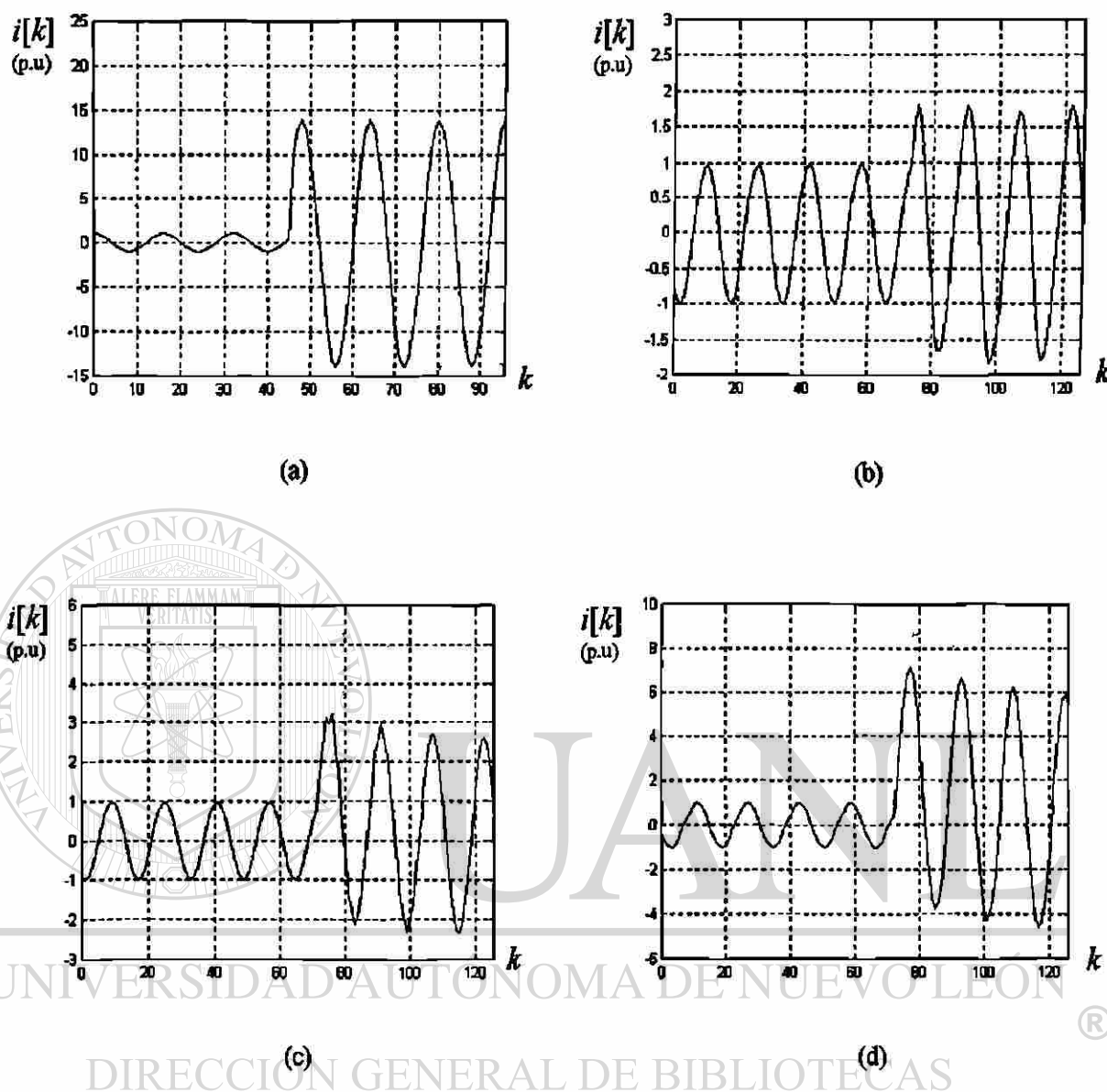


Fig. 4.12 Ejemplos de señales de corriente de falla. a) Señal de corriente de falla sin componente aperiódica en una línea corta. b) Señal de falla con mínima componente aperiódica en una línea larga. c) Señal de falla con componente aperiódica en una línea larga. d) Señal de falla con máxima componente aperiódica en una línea larga.

4.5.1 Evaluación del filtro pasapases de orden uno

La respuesta de este filtro ante las señales de falla correspondientes a la Fig. 4.12 se presenta en las Figs. 4.13(a), (b), (c) y (d), respectivamente. Como se puede observar en estas figuras, el filtro alcanza valores elevados al momento de que su ventana empieza a incluir datos de la discontinuidad generada por la falla. Dado que es uno de los filtros en alcanzar más rápidamente su valor máximo de salida, se recomienda para la detección de fallas donde el

tiempo de respuesta es crítico. En las Figs. 4.13(a) y (b), se presenta la detección de la discontinuidad provocada por la falla. Mientras que las Figs. 4.13(c) y (d) muestran tanto la detección de la discontinuidad así como la extracción de la componente aperiódica. Observe en la Fig. 4.13(c) como el filtro permite el paso de las componentes pares de alta frecuencia y del ruido interarmónico presente en las señales de falla, el cual se encuentra sobrepuesto a la componente aperiódica.

4.5.2 Evaluación del filtro pasapares de orden dos

Las Figs. 4.14(a), (b), (c) y (d) muestran los resultados al aplicar el filtro pasapares de orden dos. Observe cómo la amplitud máxima de salida del filtro disminuye; este valor tarda más en ser alcanzado debido a que la ventana de observación es ahora de un ciclo, el cual es el tiempo que necesita el filtro para elaborar cada muestra de su salida. En la Fig. 4.14(c) se puede observar todavía las componentes pares de alta frecuencia y el ruido es apenas perceptible.

4.5.3 Evaluación del filtro pasapares de orden cuatro

En las Figs. 4.15(a), (b), (c) y (d) se presenta el comportamiento del filtro pasapares de orden cuatro. Se observa que la amplitud máxima que alcanza el filtro sigue decreciendo, mientras que el intervalo de tiempo que tarda en alcanzar su valor máximo de salida se incrementa aún más. Por otra parte, también el tiempo de observación de la falla se incrementa debido a la duración de la ventana del filtro, la cual es ahora de dos ciclos. Esto hace que su salida refleje el transitorio de la falla durante un intervalo mayor de tiempo. En base a estos resultados el uso de este filtro no se recomienda para la detección de fallas donde el tiempo de respuesta es crítico.

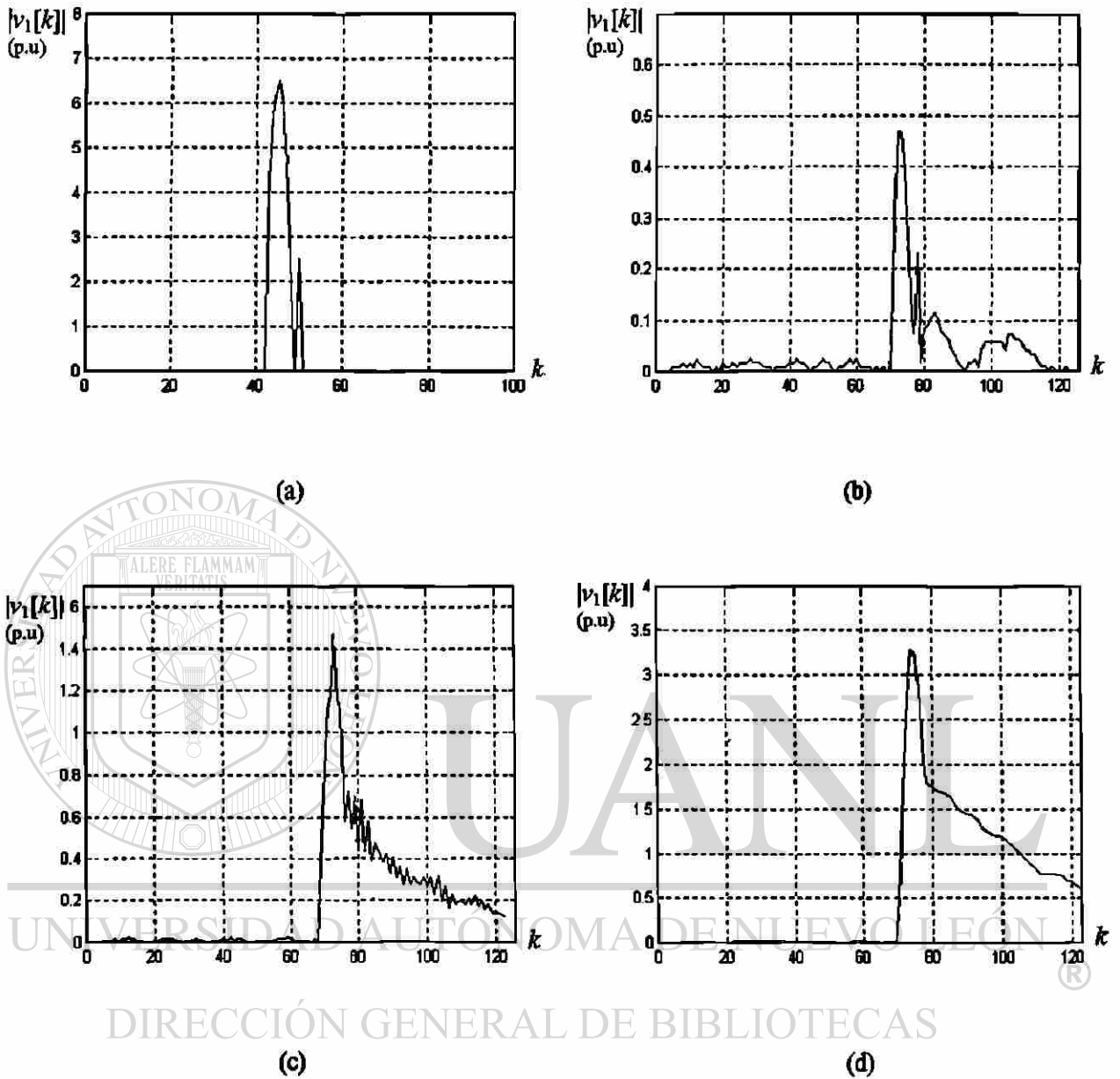


Fig. 4.13 Respuesta del filtro pasapases de orden uno ante las señales de falla de la Fig. 4.12. a) Salida para señal de falla sin componente aperiódica en línea corta. b) Salida para señal de falla con mínima componente aperiódica en una línea larga. c) Salida para señal de falla con componente aperiódica en una línea larga. d) Salida para señal de falla con máxima componente aperiódica en una línea larga .

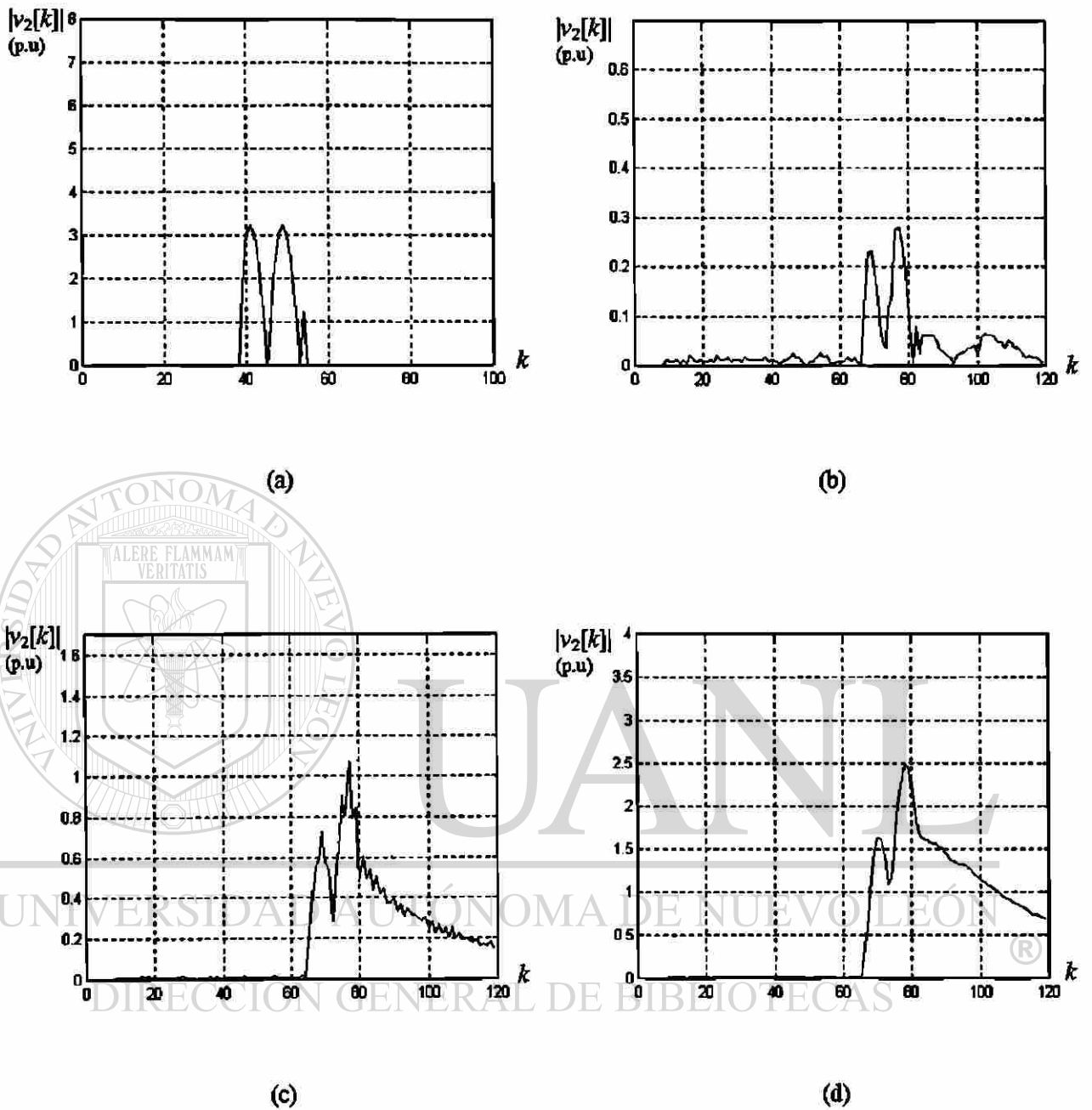


Fig. 4.14 Respuesta del filtro pasapases de orden dos ante las señales de falla de la Fig. 4.12. a) Salida para señal de falla sin componente aperiódica en línea corta. b) Salida para señal de falla con mínima componente aperiódica en una línea larga. c) Salida para señal de falla con componente aperiódica en una línea larga. d) Salida para señal de falla con máxima componente aperiódica en una línea larga.

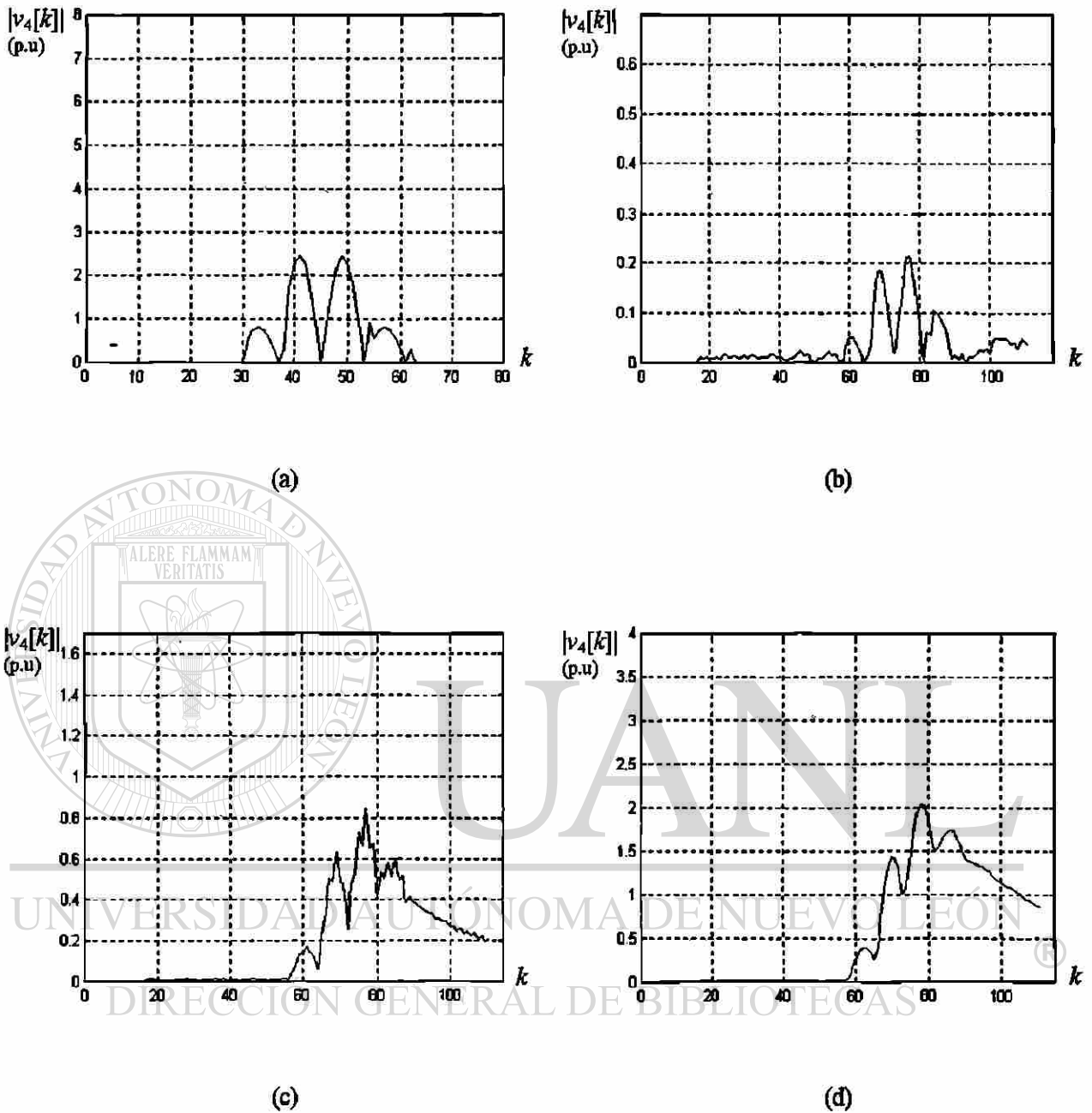


Fig. 4.15 Respuesta del filtro pasapases de orden cuatro ante las señales de falla de la Fig. 4.12. a) Salida para señal de falla sin componente aperiódica en línea corta. b) Salida para señal de falla con mínima componente aperiódica en una línea larga. c) Salida para señal de falla con componente aperiódica en una línea larga. d) Salida para señal de falla con máxima componente aperiódica en una línea larga.

4.5.4 Evaluación del esquema de filtrado integrado por el filtro pasapares de orden uno en conjunción con el filtro de promedio deslizante de medio ciclo de duración

El comportamiento de este esquema de filtrado se presenta en las Figs. 4.16(a), (b), (c) y (d). La inclusión del filtro de promedio deslizante contribuye a hacer más liza la respuesta de salida del filtro. Observe en la Fig. 4.16(c) como las componentes pares son extraídas y el ruido interarmónico no es perceptible. Al comparar estas gráficas con las obtenidas con el filtro pasapares de orden uno (ver Figs. 4.13), se observa que disminuye la sensibilidad al ruido y se requiere de mayor tiempo para alcanzar la respuesta máxima de salida. Debido a la inclusión de la segunda etapa de filtrado el tiempo para elaborar cada muestra de salida del filtro conjunto es ahora de un ciclo.

4.5.5 Evaluación del esquema de filtrado integrado por el filtro pasapares de orden dos en conjunción con el filtro de promedio deslizante de un ciclo de duración

El comportamiento del filtro conjunto se presenta en las Figs. 4.17(a), (b), (c) y (d). Observe en la Fig. 4.17(a) como en ausencia de la aperiódica, la señal de salida genera valores en el intervalo de la discontinuidad. La Fig. 4.17(b) detecta principalmente la discontinuidad de la falla, aunque la energía de la aperiódica se alcanza a percibir un intervalo de tiempo después de finalizada la discontinuidad. Observe en la Fig. 4.17(c) cómo el ruido interarmónico no es perceptible, ya que es rechazado por el filtro conjunto. En las Figs. 4.17(c) y (d) se puede apreciar cómo el esquema extrae la mayor parte de la energía de la componente aperiódica.

Debido a que este esquema requiere de dos ciclos para generar cada muestra de salida, no se recomienda para la detección de fallas donde el tiempo es crítico. En las siguientes secciones se evalúa estos mismos filtros, pero ahora ante señales de voltaje de falla.

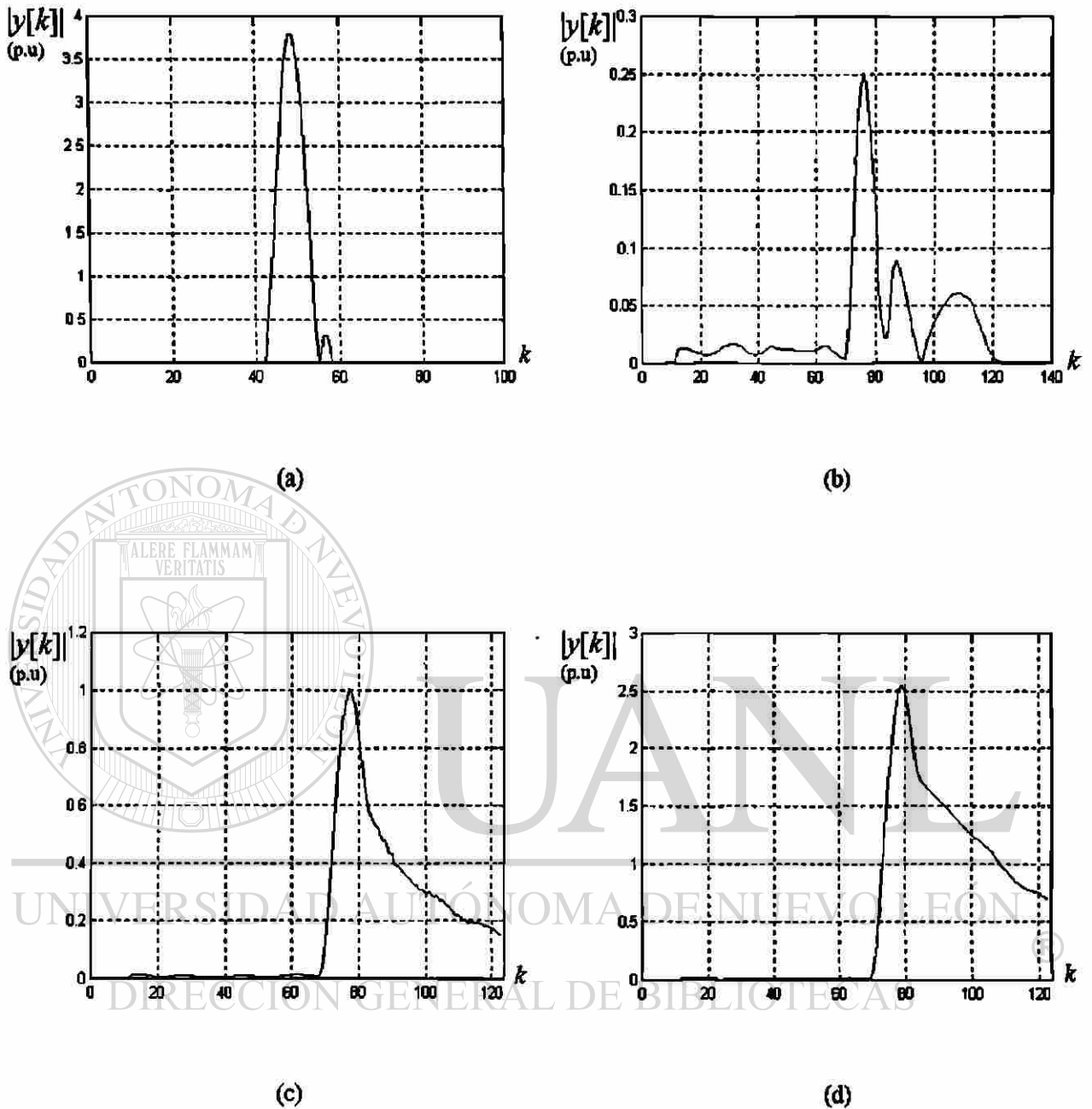
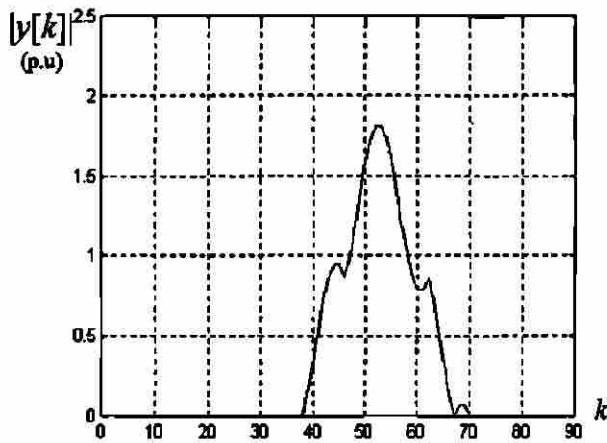
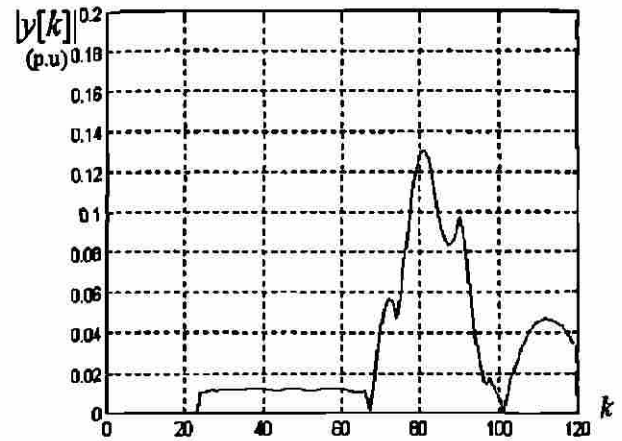


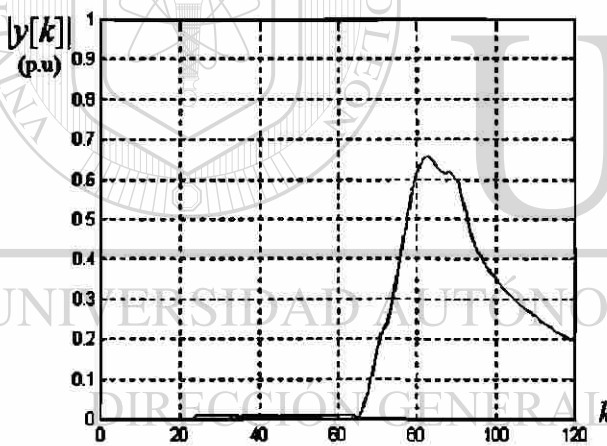
Fig. 4.16 Respuesta del filtro pasapares de orden uno en conjunción con un filtro de promedio deslizante de medio ciclo ante las señales de falla de la Fig. 4.12. a) Salida para señal de falla sin componente aperiódica en línea corta. b) Salida para señal de falla con mínima componente aperiódica en una línea larga. c) Salida para señal de falla con componente aperiódica en una línea larga. d) Salida para señal de falla con máxima componente aperiódica en una línea larga.



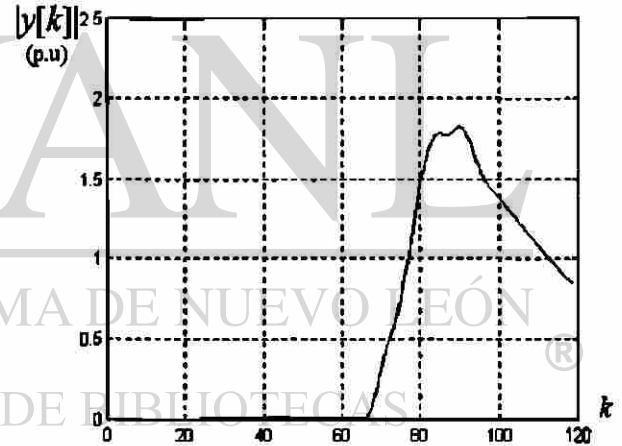
(a)



(b)



(c)



(d)

Fig. 4.17 Respuesta del filtro pasapares de orden dos en conjunción con un filtro de promedio deslizando de un ciclo (ver Fig. 4.11) ante las señales de falla de la Fig. 4.12. a) Salida para señal de falla sin componente aperiódica en línea corta. b) Salida para señal de falla con mínima componente aperiódica en línea larga. c) Salida para señal de falla con componente aperiódica en línea larga. d) Salida para señal de falla con máxima componente aperiódica en línea larga.

4.6 EVALUACIÓN DE LOS FILTROS ANTE SEÑALES DE VOLTAJE DE FALLA

En esta sección, los filtros son evaluados ante señales de voltaje en donde ocurre una disminución repentina en su amplitud, dichas señales se ilustran en la Fig. 4.18. La Fig. 4.18(a) presenta una señal en donde sólo ocurre un cambio de amplitud; por su parte, en la Fig. 4.18(b) ocurre un cambio repentino tanto en la fase como en la amplitud. Ambas señales fueron obtenidas de un *software* de evaluación comercial, disponible en [49].

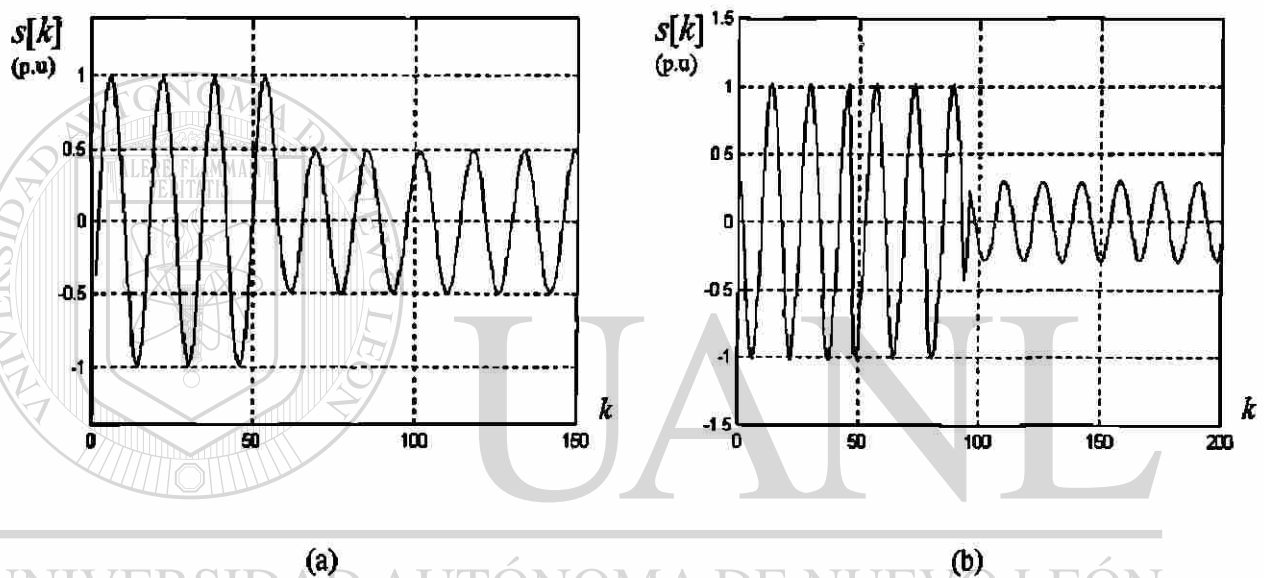


Fig. 4.18 Ejemplos de señales de voltaje de falla. a) Señal en donde existe una disminución repentina en la amplitud del voltaje. b) Señal de voltaje en donde ocurre un cambio de fase y una disminución repentina en la amplitud.

4.6.1 Evaluación del filtro pasapares de orden uno

Las respuestas temporales de este filtro ante las señales de falla correspondientes a la Fig. 4.18 se presentan en las Figs. 4.19(a) y (b). En la primera figura se observa la detección de la discontinuidad provocada por la falla, en la cual el nivel de voltaje se abate repentinamente, en dicha figura, el ruido permanece en niveles inferiores en relación al pico máximo alcanzado por la salida del filtro. En la segunda figura, se observa por un lado, la detección del cambio de fase de la señal, y por otro, la detección de la discontinuidad. Para este caso, la detección del cambio de fase alcanza un valor superior que la discontinuidad. Observe también, como la

salida máxima del filtro se alcanza inmediatamente después de iniciada la discontinuidad. Como se podrá observar a partir de estas figuras, el filtro pasapares de orden uno es el más rápido para la detección de fallas.

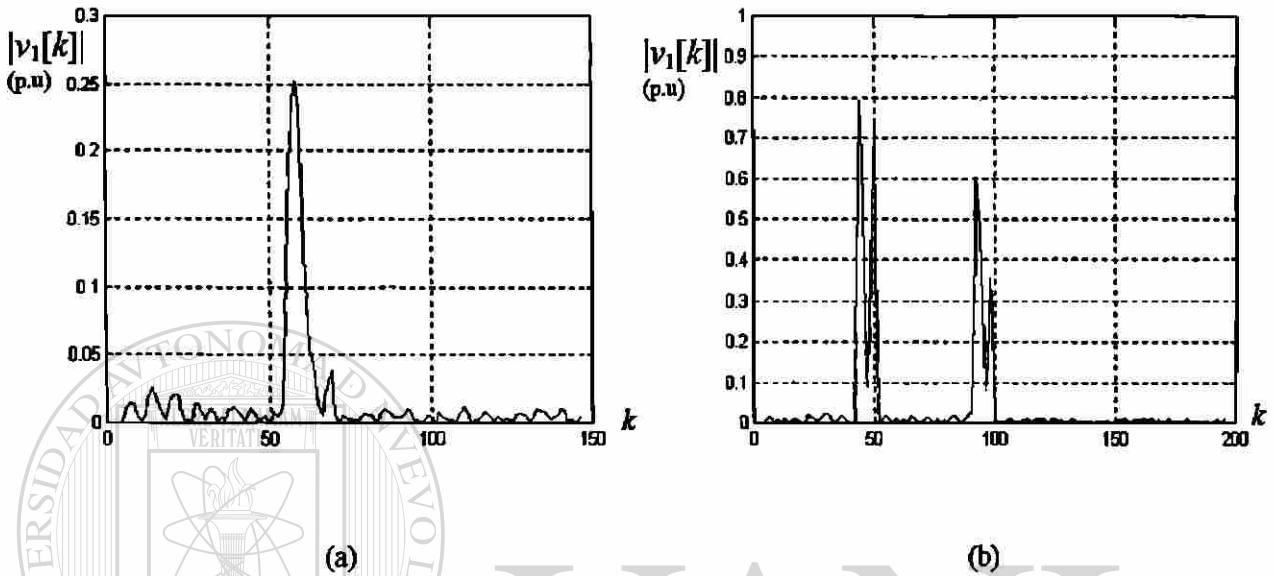


Fig. 4.19 Respuesta del filtro pasapares de orden uno ante las señales de voltaje de falla de la Fig. 4.18. a) Salida para una señal de voltaje en donde existe una disminución repentina en la amplitud. b) Salida para una señal en donde existe un cambio de fase y una disminución repentina en la amplitud.

4.6.2 Evaluación del filtro pasapares de orden dos

Las Figs. 4.20(a) y (b) muestran los resultados obtenidos al aplicar el filtro pasapares de orden dos. En ambas gráficas se observa cómo la amplitud de salida disminuye en comparación con la salida de filtro de orden uno, aunque el ruido permanece en el mismo nivel. Dado que el filtro es de un ciclo de duración, la respuesta durante la discontinuidad que produce la falla se distribuye durante un intervalo mayor de tiempo. Para este filtro, su valor máximo de salida también se alcanza casi inmediatamente después de iniciada la discontinuidad tanto de la fase como de la amplitud.

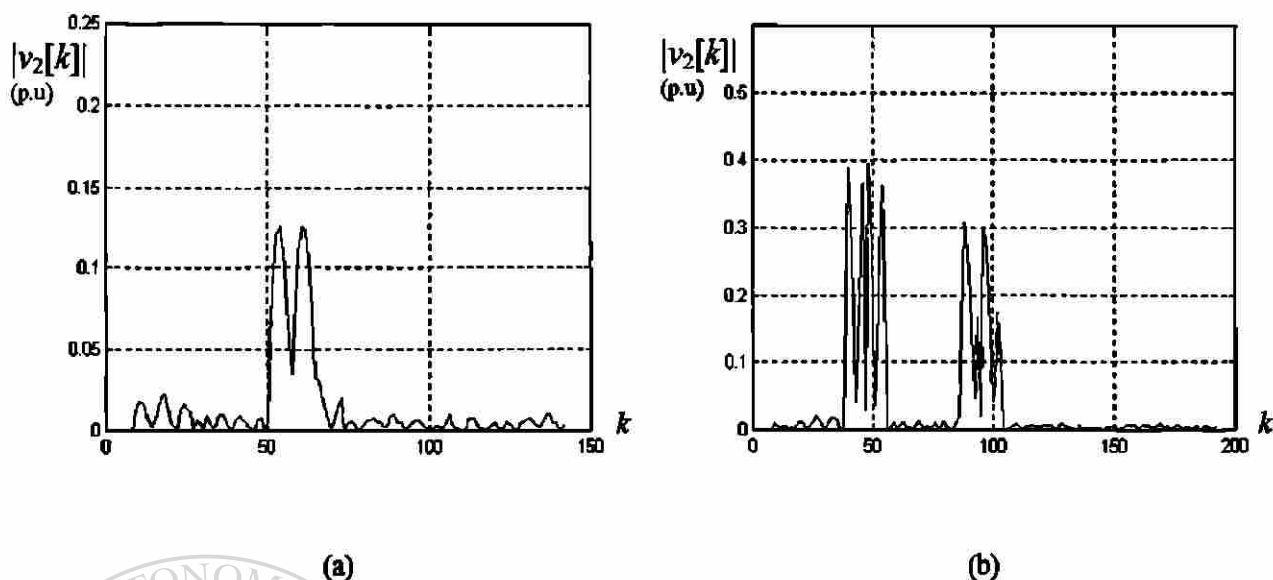


Fig. 4.20 Respuesta del filtro pasapases de orden dos ante las señales de voltaje de falla de la Fig. 4.18. a) Salida para una señal de voltaje en donde existe una disminución repentina en la amplitud. b) Salida para una señal en donde existe un cambio de fase y una disminución repentina en la amplitud.

4.6.3 Evaluación del filtro pasapases de orden cuatro

En las Figs. 4.21(a) y (b) se presenta la salida del filtro pasapases de orden cuatro, se observa que la amplitud máxima de salida disminuye aún más en comparación con la de los otros filtros. Además, debido a que la duración del filtro es de dos ciclos, el tiempo de observación del transitorio de la falla se incrementa, así como el tiempo en que se alcanza el valor máximo de su salida. Observe también, como el ruido permanece con la misma amplitud, lo cual se puede constatar si se compara con las Figs. 4.19 y 4.20.

4.6.4 Evaluación del esquema de filtrado integrado por el filtro pasapases de orden uno en conjunción con el filtro de promedio deslizante de medio ciclo de duración

El comportamiento de este esquema de filtrado se ilustra en las Figs. 4.22(a) y (b). En ambas gráficas se observa el alisamiento en la respuesta de salida del filtro debido a la inclusión de la etapa de promedio deslizante. Dicha etapa contribuye a que la duración del esquema sea ahora de un ciclo. En la Fig. 4.22(a) se observa la detección de la discontinuidad mientras que en la Fig. 4.22(b) la amplitud de salida del filtro es aproximadamente la misma

para ambas discontinuidades (fase y amplitud). Para este esquema, su valor máximo de salida se alcanza un instante de tiempo después de iniciada la discontinuidad.

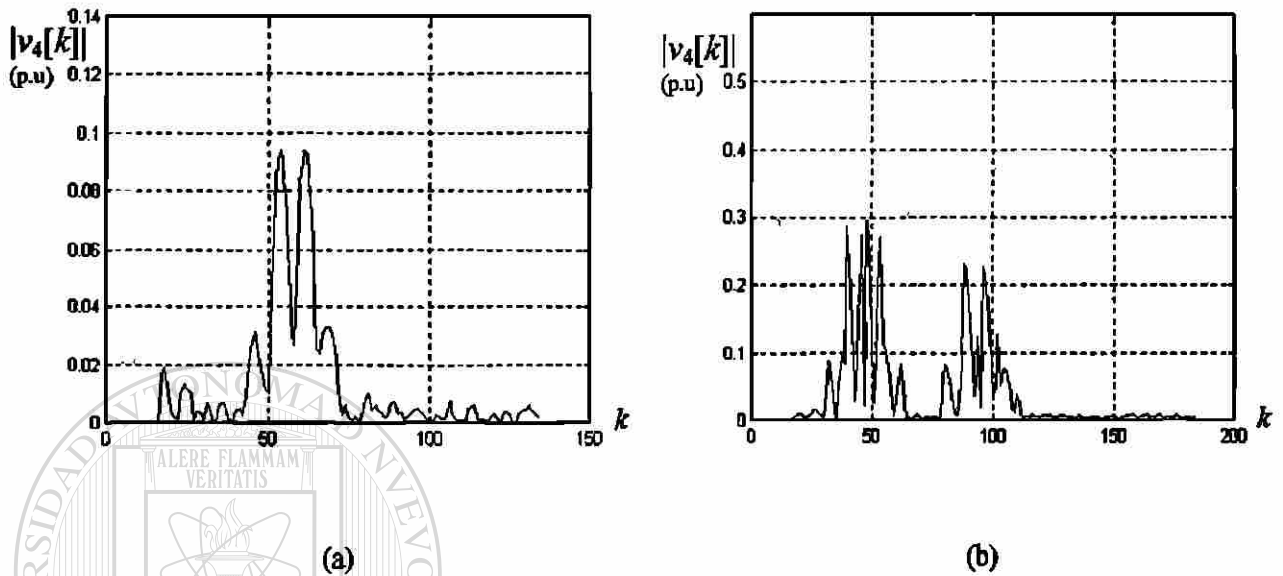


Fig. 4.21 Respuesta del filtro pasapases de orden cuatro ante las señales de voltaje de falla de la Fig. 4.18. a)Salida para una señal en donde existe una disminución repentina en la amplitud. b)Salida para una señal de voltaje en donde existe un cambio de fase y una disminución repentina en la amplitud.

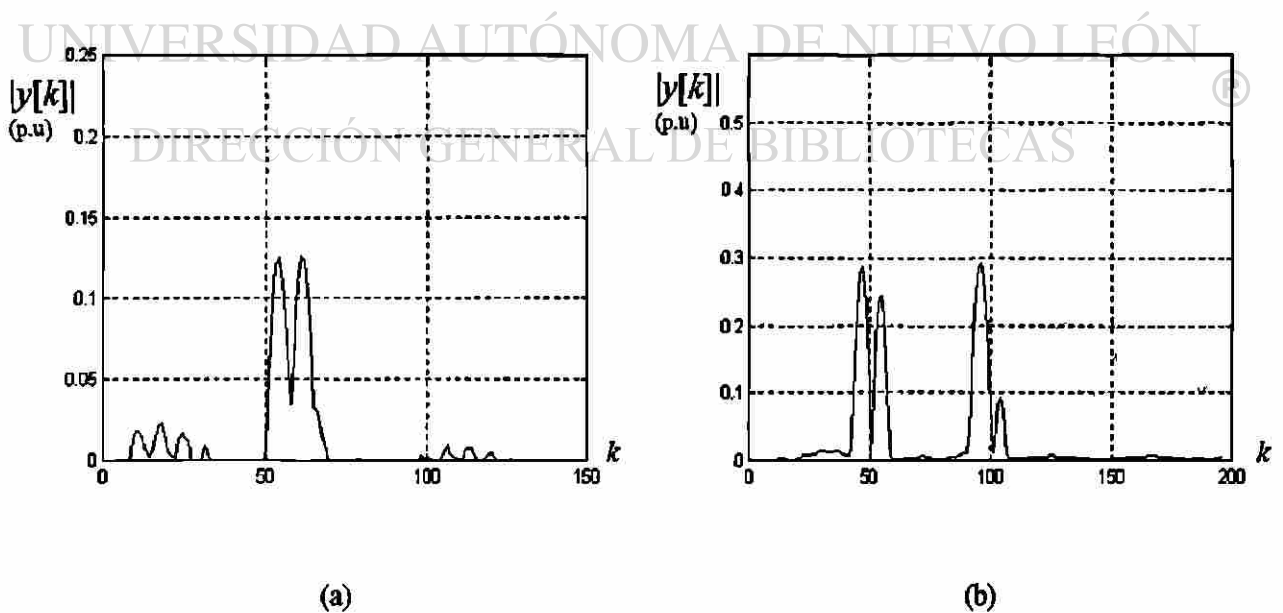


Fig. 4.22 Respuesta del filtro pasapases de orden uno en conjunción con un filtro de promedio deslizante de medio ciclo ante las señales de voltaje de falla de la Fig. 4.18. a)Salida para una señal de voltaje en donde existe una disminución repentina en la amplitud. b)Salida para una señal en donde existe un cambio de fase y una disminución repentina en la amplitud.

4.6.5 Evaluación del esquema de filtrado integrado por el filtro pasapares de orden dos en conjunción con el filtro de promedio deslizante de un ciclo de duración

La respuesta de este esquema ante las señales de falla de la Fig. 4.18 se ilustra en las Figs. 4.23(a) y (b). Éste presenta características similares al presentado en la sección anterior. Ambas gráficas ilustran una salida mucho más lisa en comparación con la de los otros filtros; por otra parte, el transitorio que genera la falla se observa durante un intervalo mayor de tiempo debido a que se emplean dos ciclos para generar cada muestra de salida. Esta característica, distribuye la energía presente en el instante de la falla, ocasionando que la amplitud máxima de salida del filtro disminuya, y además que se requiera de mayor tiempo para alcanzarla.

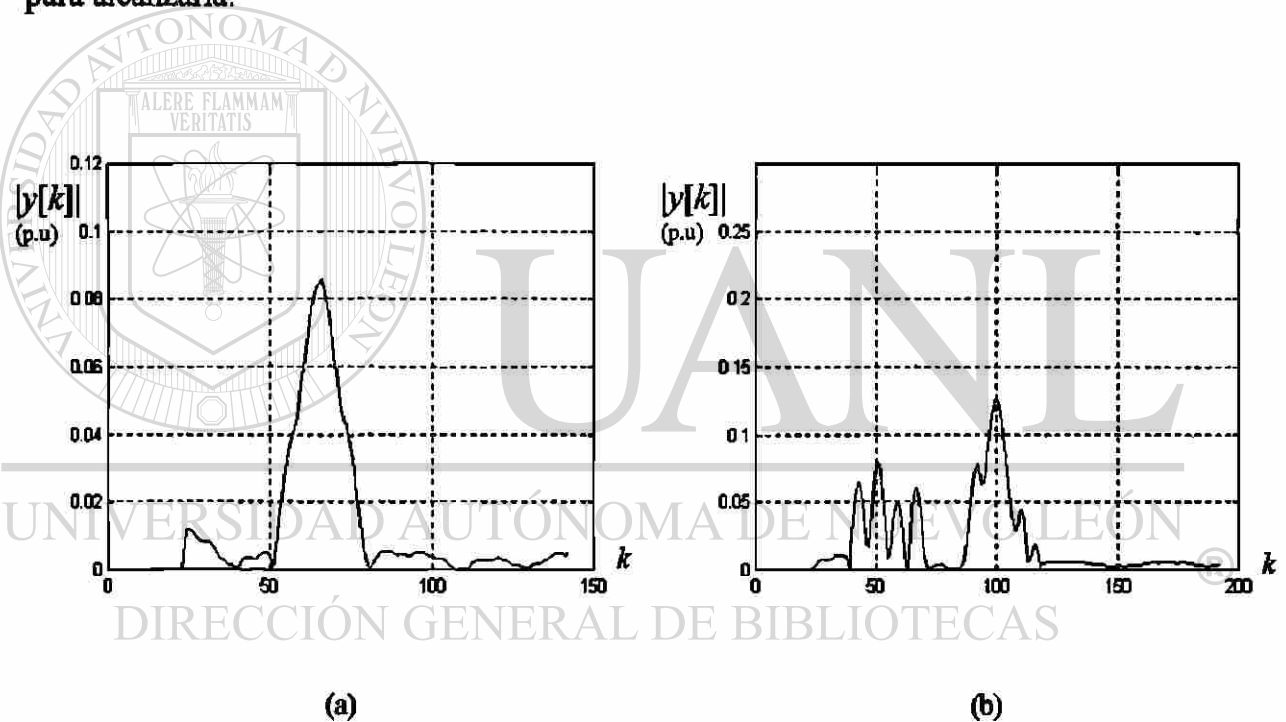


Fig. 4.23 Respuesta del filtro pasapares de orden dos en conjunción con un filtro de promedio deslizante de un ciclo (ver Fig. 4.11) para las señales de voltaje de falla de la Fig. 4.18. a) Salida para una señal de voltaje en donde existe una disminución repentina en la amplitud. b) Salida para una señal en donde existe un cambio de fase y una disminución repentina en la amplitud.

4.7 CONCLUSIONES

- Se presentó el desarrollo matemático de una nueva familia de filtros peine llamados filtros pasapares y pasaimpares, se mostraron sus ecuaciones de diferencia, sus características

espectrales y se evaluó el comportamiento de los filtros de orden uno, dos y cuatro ante diversas señales de falla, tanto de corriente como de voltaje.

- Los filtros pasapares y pasaimpares tienen ecuaciones de diferencias muy sencillas por lo que su implementación algorítmica no es compleja. Debido a la característica de sus coeficientes (fracciones de una potencia entera de dos) dichos algoritmos son ejecutados en forma eficiente. La banda de paso de los filtros pasapares se hace cada vez más estrecha al incrementar el factor leptógeno N , lo cual mejora su selectividad frecuencial. Sin embargo, esto requiere de más tiempo para la elaboración de cada muestra de salida del filtro.
- Se presentó el diseño de un detector de fallas el cual consiste de un filtro acoplado que permite el paso de la energía de la banda base y de un comparador de umbral que señala cuando dicha energía sobrepasa un cierto nivel. El detector opera sobre las señales de voltaje y corriente. Y su respuesta a la frecuencia elimina las componentes pares e impares.
- Se presentaron dos alternativas para dicho detector, la primera está integrada por un filtro pasapares de orden uno en conjunción con un filtro de promedio deslizante de medio ciclo; la segunda emplea el filtro pasapares de orden dos con un filtro de promedio deslizante de un ciclo. Se evaluaron ambas alternativas ante diferentes señales de falla, tanto de corriente como de voltaje. Se observó que detectan adecuadamente la presencia de la energía de banda base, generada por la presencia de la componente aperiódica exponencial o por los cambios abruptos de amplitud y fase durante el instante de la falla.
- El filtro pasapares de orden uno es el más rápido para la detección de fallas. Es el filtro que detecta adecuadamente tanto la componente aperiódica como los cambios de amplitud y fase. Su desventaja es que posee las bandas de paso más anchas, lo cual beneficia la extracción de la mayor energía de la componente aperiódica y de la discontinuidad que genera la falla, pero permite el paso de componentes pares y de interarmónicas.
- El filtro pasapares de orden dos también presenta excelentes resultados para aplicaciones de detección de fallas, extrae adecuadamente la componente aperiódica y detecta así mismo

la discontinuidad provocada por la falla y los cambios de fase; aunque aún es sensible al ruido interarmónico y permite el paso de las componentes pares, es fácil de implementar y tarda un ciclo en generar cada muestra de salida.

- El filtro pasapares de orden dos tiene un filtro complementario, denominado filtro pasaimpares de orden dos, el cual cuenta con el mismo ancho de banda. Con estos dos filtros es posible implementar un separador armónico; el primer filtro se emplea para extraer discontinuidades y es utilizado para la detección del instante de la falla; el segundo se emplea para extraer la componente fundamental, y es útil para aplicaciones de medición fasorial depurada.
- El filtro pasapares de orden cuatro no es adecuado para la detección de fallas donde el tiempo de respuesta es crítico ya que requiere de dos ciclos para generar cada muestra de salida. Además, al igual que el filtro pasapares de orden dos, permite el paso de componentes pares. Sus bandas de paso son más angostas, lo cual podría reducir el ruido interarmónico. Debido a su ventana de observación de dos ciclos, su salida responde a la discontinuidad de la falla durante un intervalo mayor de tiempo.

APLICACIÓN DE LOS NUEVOS FILTROS DIGITALES EN UN REGISTRADOR DE FALLAS

5.1 INTRODUCCIÓN

En este capítulo, como una importante contribución de la tesis, se presenta la aplicación práctica de la presente investigación, describiendo en detalle las características y la lógica de operación del registrador de fallas. En las primeras dos secciones se explica el funcionamiento del programa principal residente en la computadora anfitriona, mediante la descripción detallada de su diagrama de transición de estados. Enseguida se presentan las características de la tarjeta adecuadora, y después, con la finalidad de que el algoritmo de detección procese las señales adecuadas se indica la configuración de las señales de entrada. Posteriormente se explica la lógica de operación del algoritmo de detección, el cual es ejecutado en paralelo por la tarjeta procesadora. Con el objeto de ilustrar el funcionamiento de dicho algoritmo, se muestra y describe su diagrama de transición de estados y el código de su función principal "*main()*".

5.2 DESCRIPCIÓN GENERAL DEL SISTEMA

En esta sección se describe en forma general las características y la lógica de operación del registrador de fallas. La Fig. 5.1 muestra el diagrama a bloques que describe la lógica de operación efectuada por el programa residente en la computadora anfitriona (programa principal). El programa principal establece primero una sesión de comunicación con la tarjeta procesadora con la finalidad de enviar instrucciones de configuración e iniciar el algoritmo de detección. Una vez finalizada esta sesión, comienza un proceso paralelo. Mientras que la

tarjeta constantemente procesa las señales trifásicas de voltaje y corriente, el programa principal se encuentra atendiendo sus tareas generalmente solicitadas por el teclado o el módem. Este paralelismo independiza ambos procesos, dejando la carga de la detección al procesador de la tarjeta.

En el momento en que detecta una falla, el detector interrumpe al programa principal e inicia inmediatamente la transferencia de los datos de la misma hacia dicho programa para su registro. La tarjeta procesadora realiza esta transferencia utilizando los controladores DMA. La ventaja de esta transferencia es la rapidez con que los datos pasan de la memoria de la tarjeta procesadora a la RAM de la computadora anfitriona, con una intervención nula del procesador anfitrión.

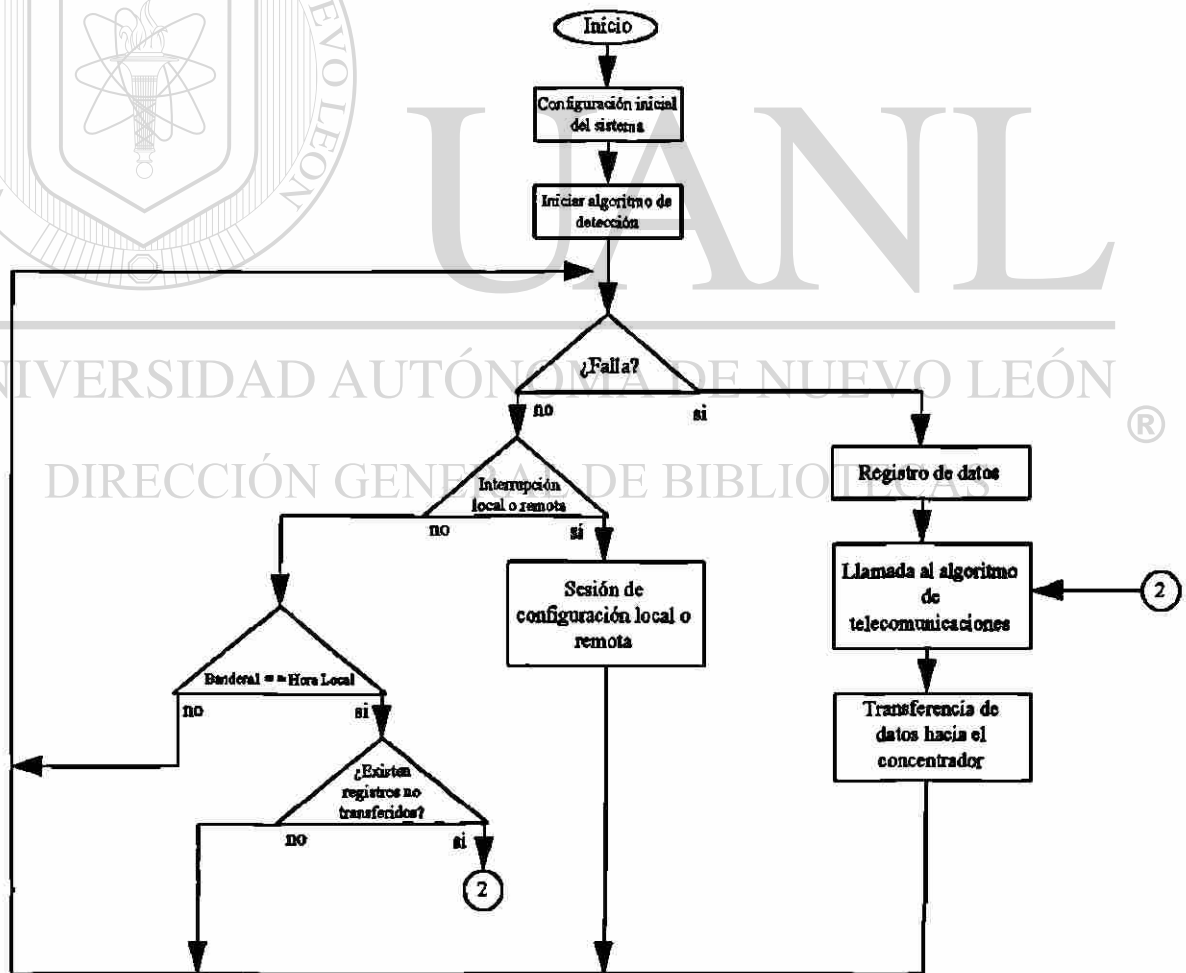


Fig. 5.1 Diagrama a bloques simplificado que describe la lógica de operación del programa principal residente en la computadora anfitriona.

El programa principal recoge los datos de falla y los almacena en un archivo; el nombre de este archivo está relacionado con un número secuencial y con un identificador asignado por el usuario. Este archivo también almacena información relativa a la falla como: fecha, hora, fase y línea en la que se detectó, identificador de cada una de las entradas analógicas, así como el identificador del equipo que generó el registro. Una vez registrados los datos, el programa principal transfiere el control a un programa de telecomunicaciones [20,38]. Este programa forma parte de una red de transmisión de datos, que se encarga de transferirlos al concentrador, vía módem. La red lleva a cabo la sincronización de las diferentes unidades de registro y es capaz de establecer sesiones remotas para configurar el sistema. Al finalizar la transferencia de los registros, el programa de telecomunicaciones regresa el control nuevamente al programa principal.

El programa principal también detecta interrupciones locales y remotas. Las interrupciones locales se realizan por medio del teclado de la computadora anfitriona. En la configuración local se presenta una interfaz gráfica agradable al usuario, en la que se muestra un menú de opciones de las cuales el usuario escoge las más adecuadas. Este menú está programado con filtros que permiten al usuario introducir sólo datos válidos.

Para atender las interrupciones remotas, el programa principal observa periódicamente el estado de un registro del puerto de comunicaciones. Un cambio de estado en este registro indica la presencia de una señal portadora proveniente del módem y es suficiente para transferir el control al programa de telecomunicaciones, el cual inicia la sesión remota.

Dado que el registro de datos es de alta prioridad, cuando el algoritmo de detección advierte la presencia de una falla, éste interrumpe a las sesiones de configuración, o en su caso, al programa de telecomunicaciones con la finalidad de que el programa principal grabe los datos del evento. Una vez finalizada la grabación, el programa principal pasa el control al de telecomunicaciones para que transfiera los registros hacia el concentrador.

Cuando el programa de telecomunicaciones no logra transferir con éxito algún registro, éste permanece almacenado en el disco duro de la computadora anfitriona. El

programa principal almacena en otro archivo el nombre o nombres de los registros que no fueron transferidos exitosamente. Una variable global le indica la hora en la que debe verificar el contenido de dicho archivo. Si existen registros que no han sido transferidos, pasa el control al algoritmo de telecomunicaciones para que inicie su transferencia.

Con el propósito de entender el funcionamiento del programa principal, a continuación se presenta y explica su diagrama de transición de estados.

5.3 DIAGRAMA DE TRANSICIÓN DE ESTADOS DEL PROGRAMA PRINCIPAL

A continuación en la Fig. 5.2, se presenta el diagrama de transición de estados del programa principal. Como se puede observar cuenta con seis estados: Programa inactivo, Configuración inicial, Monitor, Registro de datos, Programa de telecomunicaciones y Configuración local, el paso de un estado a otro depende de cada una de las diferentes transiciones que se describirán más adelante. En las siguientes secciones se explica cada estado.

5.3.1 Estado 0: Programa inactivo

En este estado el programa principal se encuentra inactivo, al momento de su ejecución pasa inmediatamente al estado 1 (transición A). Normalmente, el retorno a este estado se consigue únicamente desde el estado 5 (transición Q) debido a una solicitud del operador, o tal vez en un caso extremo, debido a un error durante la ejecución del programa principal. Estos errores se pueden producir en cualquiera de los otros estados; por ejemplo, errores al intentar abrir, leer o escribir en un archivo de disco duro, errores al momento de asignar memoria dinámica o durante el establecimiento de la comunicación con la tarjeta procesadora, etc. Cuando este es el caso, se despliegan mensajes que indican el tipo de error producido.

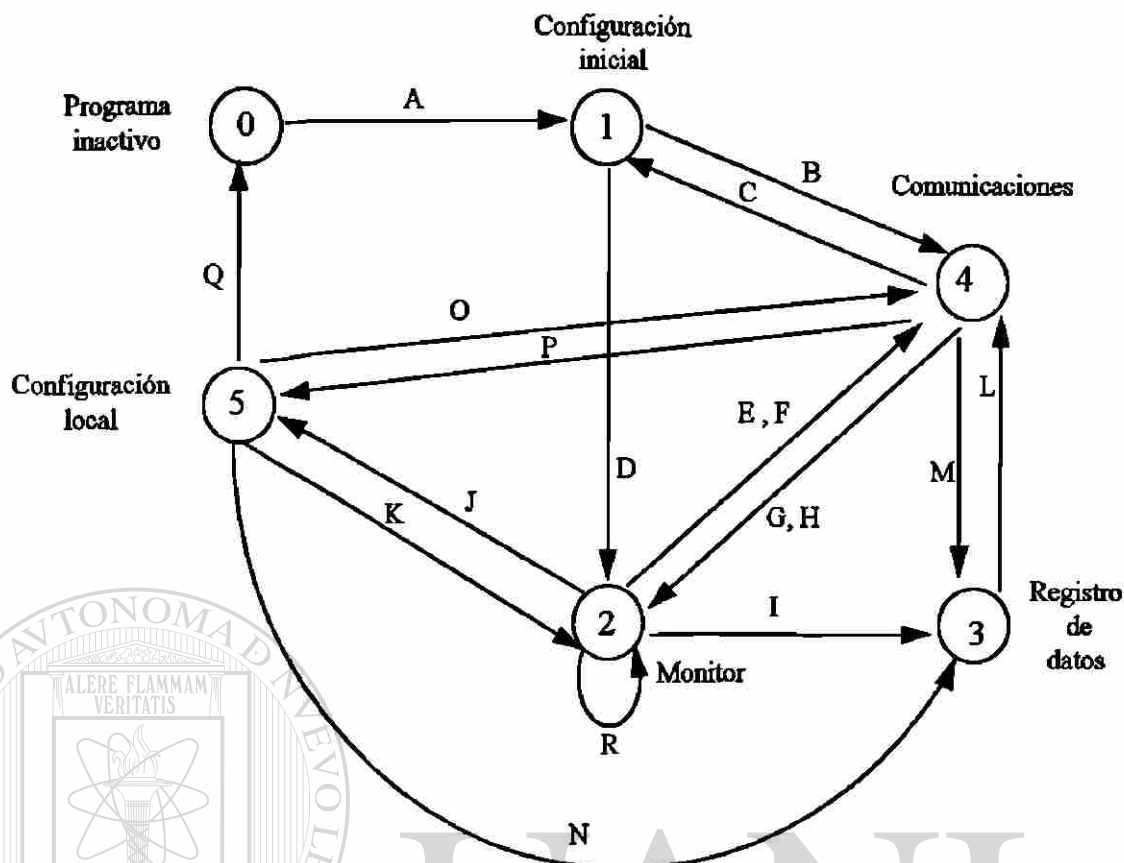


Fig. 5.2 Diagrama de transición de estados del programa principal.

5.3.2 Estado 1: Configuración inicial

En este estado se lee la configuración del sistema a partir de un archivo que se encuentra en el disco duro de la computadora anfitriona. Este archivo almacena información propia del sistema y es accesado cada vez que se efectúa algún cambio en la configuración o cuando se desea leer algún parámetro de la misma. Una vez leída la configuración, se establece comunicación con la tarjeta procesadora. Si la comunicación con la tarjeta no encuentra dificultades, entonces se transfieren instrucciones para que ésta inicie el algoritmo de detección. En caso contrario, se despliegan los mensajes de error correspondientes y se pasa al estado 0. Enseguida, se envía una última instrucción con la finalidad de conocer el estado de la tarjeta. La tarjeta procesadora contesta a esta petición, retornando una palabra entera de 16 *bits*. Si los 16 *bits* se encuentran en ceros, indicará que la tarjeta se encuentra

ejecutando el algoritmo de detección; cualquier otro caso, indicará que ha ocurrido un error al momento de ejecutar dicho algoritmo. Cuando esto sucede, el programa principal despliega el mensaje de error correspondiente indicando el código del error devuelto por la tarjeta, para finalmente pasar al estado 0.

Cuando se ha verificado que el algoritmo de detección se encuentra operando en forma correcta y antes de pasar al siguiente estado, se verifica si existen registros de fallas que no hayan sido transferidos correctamente al concentrador. Los números de estos registros se encuentran almacenados en un archivo creado exclusivamente para este propósito. Si existe algún registro que no fue transferido exitosamente, se pasa inmediatamente al estado 4 (transición B) para su transferencia al concentrador, finalizada la transferencia se retorna nuevamente al estado 1 (transición C) para posteriormente transitar al estado 2 (transición D). En caso de que no existan registros de falla se pasa directamente al estado 2.

5.3.3 Estado 2: Monitor

Aquí el programa principal se encuentra atendiendo continuamente las solicitudes del teclado, módem o de la tarjeta procesadora. Mientras no se detecte alguna interrupción por cualquiera de estos dispositivos el monitor permanecerá en el presente estado (transición R). Paralelamente el algoritmo de detección procesa las señales trifásicas de voltaje y corriente.

En el momento en que se detecta una falla, la tarjeta procesadora interrumpe al monitor. El monitor atendiendo dicha solicitud emigra inmediatamente al estado 3 (transición I). Para atender las solicitudes del módem, el monitor verifica constantemente un registro del puerto de comunicaciones. Cuando este registro cambia de estado, indica que se desea establecer una sesión de configuración remota, siendo este el caso, el monitor transita al estado 4 (transición F). Al finalizar la sesión de configuración, el programa de telecomunicaciones retorna al monitor (transición H); por su parte, el monitor graba la nueva configuración en el archivo destinado para este propósito. Si el monitor detecta una solicitud del teclado, transita inmediatamente al estado 5 (transición J). Las solicitudes del teclado

generalmente son para visualizar o realizar cambios en la configuración y para establecer sesiones remotas.

Por último, el monitor verifica a una hora específica, si existen registros que no fueron transferidos correctamente al concentrador. Cuando se confirma la existencia de uno o más de estos archivos, pasa inmediatamente al estado 4 (transición E).

5.3.4 Estado 3: Registro de datos

Este estado recoge los datos procedentes de la tarjeta procesadora y los almacena en un archivo, junto con información relacionada con la falla y la configuración del sistema. El nombre de este archivo está integrado por un número secuencial y por un identificador, el cual es asignado por el usuario.

Al finalizar el registro de los datos de falla se envía una instrucción a la tarjeta procesadora, para que ésta detenga la transferencia de datos hacia la computadora anfitriona. Posteriormente, se le envía otra instrucción con la finalidad de descartar un desbordamiento en sus memorias intermedias. Enseguida, se restaura el estado de la tarjeta y se reinicializa nuevamente el algoritmo de detección. Una vez hecho esto, se verifica el estado de la misma, con el objeto de averiguar si ocurrió algún error durante el proceso de inicialización.

Al terminar las operaciones anteriores, se transita al estado 4 (transición L) con la finalidad de transferir los registros al concentrador.

5.3.5 Estado 4: Comunicaciones

El programa de telecomunicaciones realiza la transferencia de los registros hacia el concentrador, se encarga de la sincronización de los registradores y establece sesiones de configuración remotas. Si se observa el diagrama de la Fig. 5.2, las transiciones a este estado pueden darse desde cualquiera de los siguientes estados: 1, 2, 3 y 5. A continuación se describe cada una de estas posibilidades.

1) *El estado 1 pasa al estado 4:* Cuando el estado 1 encuentra registros que no fueron transferidos al concentrador con anterioridad, pasa al estado 4 (transición B) para iniciar su transferencia y pasar al estado 1 únicamente después de finalizada esta transferencia (transición C).

2) *El estado 2 pasa al estado 4:* Esto sucede por dos razones: se encontraron registros que no fueron transferidos al concentrador; o bien, se detectó una solicitud por parte del concentrador para establecer una sesión de configuración remota. Para el primer caso, el algoritmo de telecomunicaciones retornará al estado 2 únicamente después de concluir la transferencia de los registros que no fueron transferidos al concentrador en forma exitosa (transición G); para el segundo caso, al dar por finalizada la sesión de configuración remota solicitada por el concentrador (transición H).

3) *El estado 3 pasa al estado 4:* En este caso, el estado 3 pasa al estado 4 una vez que hubo registrado los datos de falla (transición L). Por su parte, el estado 4 transitará automáticamente al estado 2 después de finalizar la transferencia de estos registros (transición G).

4) *El estado 5 pasa al estado 4:* Esta posibilidad se da cuando un usuario en la unidad de registro solicita una sesión remota con algún otro usuario en el concentrador (transición O). Al concluir esta sesión, el estado 4 regresa al estado 5 (transición P). La solicitud de finalización puede provenir de ambas partes.

Para todos los casos anteriores, al detectar una falla, el algoritmo de detección interrumpirá al de telecomunicaciones, cuando esto sucede, el estado 4 pasará automáticamente al estado 3 (transición M).

5.3.6 Estado 5: Configuración local

En el presente estado se despliega un menú con diferentes opciones de las cuales el usuario selecciona las más adecuadas, dicho menú se ilustra en la Fig. 5.3. La primer opción

permite visualizar en el monitor de la computadora anfitriona la configuración actual del sistema.

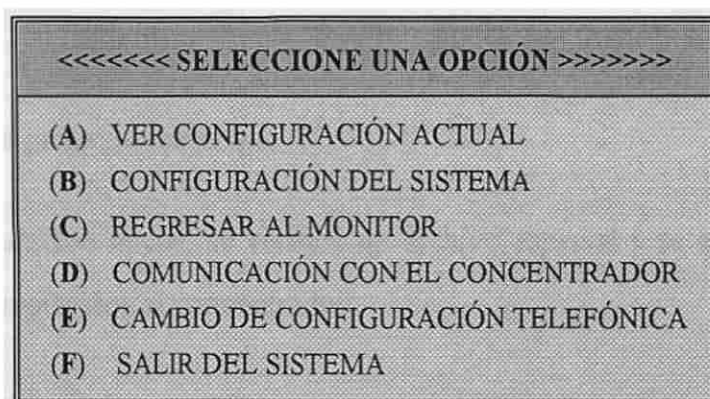


Fig. 5.3 Opciones del menú principal del sistema.

La segunda opción permite realizar cambios en dicha configuración. Cuando se modifica algún parámetro que afecta al algoritmo de detección, se reinicializa la configuración de la tarjeta procesadora, con la finalidad de que el algoritmo de detección se ejecute tomando en cuenta los valores de los nuevos parámetros de configuración.

La tercera opción pasa automáticamente del estado 5 al estado 2 (transición K). La cuarta establece una sesión remota con el concentrador, en este caso se pasa directamente al estado 4 (transición O). Al finalizar la sesión remota, el estado 4 pasa nuevamente al estado 5 (transición P).

La quinta opción permite realizar cambios en los registros telefónicos propios del programa de telecomunicaciones, en estos registros se almacenan los números telefónicos que identifican al concentrador. Finalmente, la última opción retorna automáticamente al estado 0 (transición Q).

Al igual que en el estado 4, al momento de detectar una falla, el estado 5 será interrumpido por el algoritmo de detección. Cuando esto sucede, pasa automáticamente al estado 3 (transición N).

5.3.7 Transiciones entre los dispositivos

A continuación se describen cada una de las transiciones para el diagrama de estados de la Fig. 5.2.

A) Inicia ejecución del programa principal.

B) Durante la configuración inicial, se verificó un archivo especial y se encontraron registros que esperan ser transferidos al concentrador.

C) Fin de la transferencia de los registros encontrados durante la configuración inicial.

D) Sistema configurado, inicialización de la tarjeta procesadora y ejecución del algoritmo detector de fallas.

E) Se verifica un archivo especial a una hora específica y se encuentran registros que esperan ser transferidos al concentrador.

F) Se detecta un cambio de estado en un registro del puerto de comunicaciones, esto indica una solicitud por parte del concentrador para establecer una sesión remota con la unidad de registro.

G) Fin de la transferencia de los registros.

H) Sesión remota finalizada.

I) El monitor ha detectado una interrupción por parte del algoritmo de detección debido a la presencia de una falla.

J) Solicitud de configuración local por parte del usuario.

K) Finalizada sesión de configuración local.

L) El registro de los datos de una falla ha finalizado, se requiere su transferencia al concentrador.

- M) El algoritmo de detección ha interrumpido al programa de telecomunicaciones debido a la presencia de una falla. Se requiere el registro de los datos de falla en forma inmediata.
- N) El algoritmo de detección ha interrumpido la sesión de configuración local debido a la presencia de una falla. Se requiere el registro de los datos de falla en forma inmediata.
- O) El usuario en la unidad de registro solicita una sesión remota con otro usuario en el concentrador.
- P) Sesión remota finalizada por parte del usuario en la unidad de registro o debido a una solicitud de fin de sesión por parte del usuario en el concentrador.
- Q) Finaliza ejecución del programa principal, se detiene el algoritmo de detección y se restaura el estado de la tarjeta procesadora.
- R) No se ha detectado ninguna interrupción.

A continuación se presenta una descripción de la tarjeta utilizada para el acondicionamiento de las señales analógicas de entrada, asimismo se ilustra la configuración de cada una de estas señales.

5.4 ACONDICIONAMIENTO Y CONFIGURACIÓN DE LAS SEÑALES ANALÓGICAS DE ENTRADA

En esta sección se presenta una breve descripción de la tarjeta adecuadora utilizada para el acondicionamiento de las señales analógicas. Las señales de voltaje y corriente tienen que ser llevadas a niveles adecuados antes de conectarse a las entradas de esta tarjeta. Esto es llevado a cabo por transformadores de voltaje y corriente, y por circuitos transductores.

Las funciones principales de la tarjeta adecuadora son las siguientes:

- Acondicionar las señales de voltaje y corriente provenientes de los equipos transductores a voltajes adecuados para la conversión A/D;
- Brindar aislamiento eléctrico a los circuitos electrónicos de la tarjeta procesadora;

- Proteger a la tarjeta procesadora contra sobrevoltajes transitorios inducidos en los conductores de entrada;
- Realizar el filtrado analógico pasabajos (*antialiasing*) de las señales analógicas de entrada.

La tarjeta adecuadora está integrada por circuitos optoaisladores, para proteger la tarjeta procesadora de altos voltajes y cortos circuitos. Tiene capacidad para conectar 16 entradas analógicas dentro de un rango dinámico de ± 10 volts. Las salidas tienen un rango de ± 5 volts y se conectan directamente a las entradas de la tarjeta procesadora. La tarjeta adecuadora cuenta con un circuito de protección, el cual ofrece una operación confiable. Un filtro *anti-aliasing* de un polo está localizado en cada etapa de entrada y un filtro pasa bajo de tres polos se encuentra en cada etapa de salida. Estos filtros limitan las señales a un ancho de banda de 10 Khz. Su función es rechazar las componentes de frecuencia superior antes del muestreo. Un circuito recortador de voltaje basado en un láser fija la escala de cada señal de entrada. Posteriormente un amplificador proporciona la ganancia total.

Para que el algoritmo detector de fallas procese las señales adecuadas, es necesario que dichas señales se conecten a la tarjeta adecuadora de acuerdo al orden establecido en la Tabla 5.1, Como se puede observar, las 16 entradas analógicas se dividen en dos secciones. A la primer sección le corresponden las primeras 8 entradas, las cuales monitorean las señales de voltaje y corriente de la primer línea. Mientras que a la segunda sección le corresponden las entradas restantes, y monitorean las señales de voltaje y corriente de la segunda línea. En la siguiente sección se describe la lógica de operación del algoritmo de detección.

Tabla 5.1. Configuración de las entradas analógicas de voltaje y corriente

Línea 1		Línea 2	
No. de entrada analógica	Señal de entrada	No. de entrada analógica	Señal de entrada
1	Corriente fase A	9	Corriente fase A
2	Corriente fase B	10	Corriente fase B
3	Corriente fase C	11	Corriente fase C
4	Corriente neutro	12	Corriente neutro
5	Voltaje fase A	13	Voltaje fase A
6	Voltaje fase B	14	Voltaje fase B
7	Voltaje fase C	15	Voltaje fase C
8	Voltaje neutro	16	Voltaje neutro

5.5 DESCRIPCIÓN DE LA LÓGICA DE OPERACIÓN DEL ALGORITMO DE DETECCIÓN

El objetivo principal de esta sección es explicar la operación del algoritmo de detección. La Fig. 5.4 muestra un diagrama a bloques que describe la lógica de operación de dicho algoritmo. Éste muestrea y digitaliza las señales trifásicas de voltaje y corriente. Los datos digitalizados de cada señal de entrada son depositados en bloques de memoria independientes llamadas memorias intermedias de entrada. El sistema operativo de la tarjeta procesadora, lleva a cabo la asignación de memoria, ordena los datos contenidos en ellas y sincroniza el muestreo.

Inicialmente, el algoritmo de detección lee los parámetros de configuración que le proporciona el programa principal. Estos parámetros le indican la cantidad de entradas analógicas sobre las cuales operará el algoritmo. También le indican el periodo de prefalla a memorizar y el umbral de sensibilidad del detector.

Enseguida inicia un proceso iterativo, el algoritmo de detección recoge los datos de las memorias intermedias de entrada y lleva a cabo el filtrado digital sobre las muestras de las señales de voltaje y corriente. Si la salida del esquema de filtrado no detecta una falla, se leen nuevos datos de entrada y el proceso se repite. Las muestras de las señales de voltaje y

corriente que ya han sido procesadas, son conservadas en una memoria intermedia circular, creada exclusivamente para este propósito; estos datos servirán posteriormente para reconstruir las señales de prefalla.

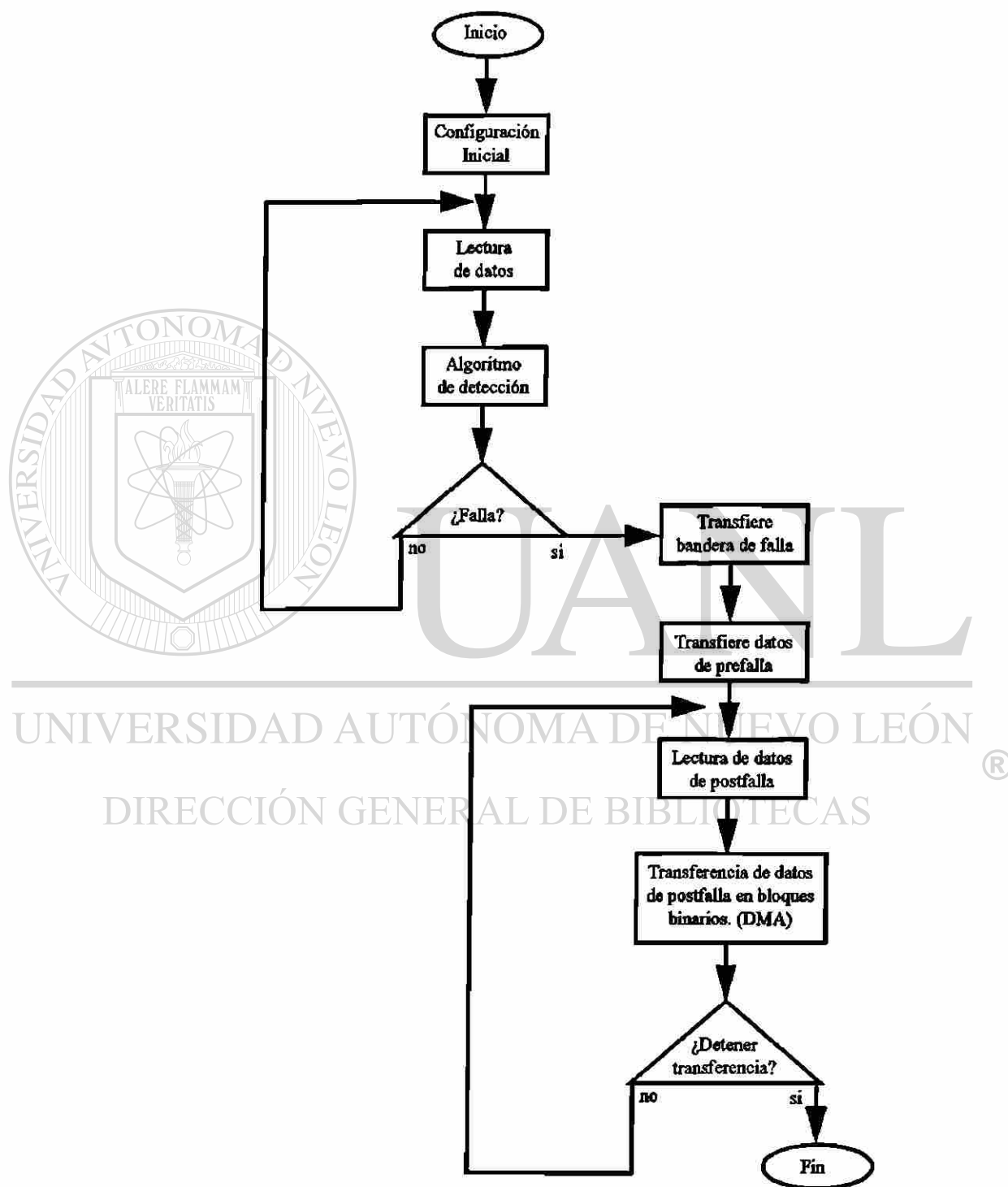


Fig. 5.4 Diagrama a bloques que muestra la lógica de operación del algoritmo de detección.

Cuando la salida del esquema de filtrado detecta la presencia de la componente aperiódica o alguna discontinuidad provocada por la falla, transfiere hacia la computadora anfitriona una palabra entera de 16 *bits*, la cual contiene la fase y línea donde se detectó la falla (en este trabajo esta palabra binaria será denominada “bandera de falla”). Por su parte, el programa principal residente en la computadora anfitriona, al detectar esta bandera, se preparará para iniciar el registro de los datos.

Después de haber transferido la bandera de falla, el algoritmo de detección transferirá los datos del intervalo de prefalla mantenidos en memoria. Posteriormente, recoge los datos de postfalla de las memorias intermedias de entrada y los transfiere en bloques binarios mediante los controladores DMA. Finalmente, cuando el programa principal ha terminado de registrar el intervalo de postfalla especificado, envía instrucciones a la tarjeta procesadora, para que ésta finalice la transferencia de datos y de por concluida la ejecución del algoritmo de detección.

Por otro lado, el algoritmo de detección también puede ser interrumpido en cualquier momento por instrucciones enviadas desde el programa principal. Esto generalmente se realiza cuando se desea modificar algunos parámetros en su configuración (cantidad de entradas a monitorear, intervalo de prefalla o umbral del detector) o cuando se genera un error de ejecución en el programa principal.

El algoritmo de detección memoriza un intervalo de prefalla de hasta 1.6 segundos, (este tiempo es el máximo que permite la memoria de la tarjeta procesadora) mientras que el intervalo de grabación de postfalla puede ser de hasta varias horas y es controlado por el programa principal.

Con el propósito de entender el funcionamiento del algoritmo de detección, a continuación se presenta y explica su diagrama de transición de estados.

5.6 DIAGRAMA DE TRANSICIÓN DE ESTADOS DEL ALGORITMO DE DETECCIÓN

A continuación en la Fig. 5.5 se presenta el diagrama de transición de estados del algoritmo de detección. El algoritmo se puede encontrar en cuatro estados: Inactivo, Configuración inicial, Detección de la falla y Transferencia de datos. Las transiciones de cada uno de estos estados se describirán más adelante.

5.6.1 Estado 0: Inactivo

En este estado el algoritmo de detección se encuentra inactivo, al momento de recibir una instrucción para su ejecución por parte del programa principal pasará automáticamente al estado 1 (transición A). El retorno al estado 0 se hace desde el estado 3, cuando finaliza el registro de datos en la computadora anfitriona (transición E), o bien, desde el estado 2 debido a una instrucción del programa principal (transición F).

5.6.2 Estado 1: Configuración inicial

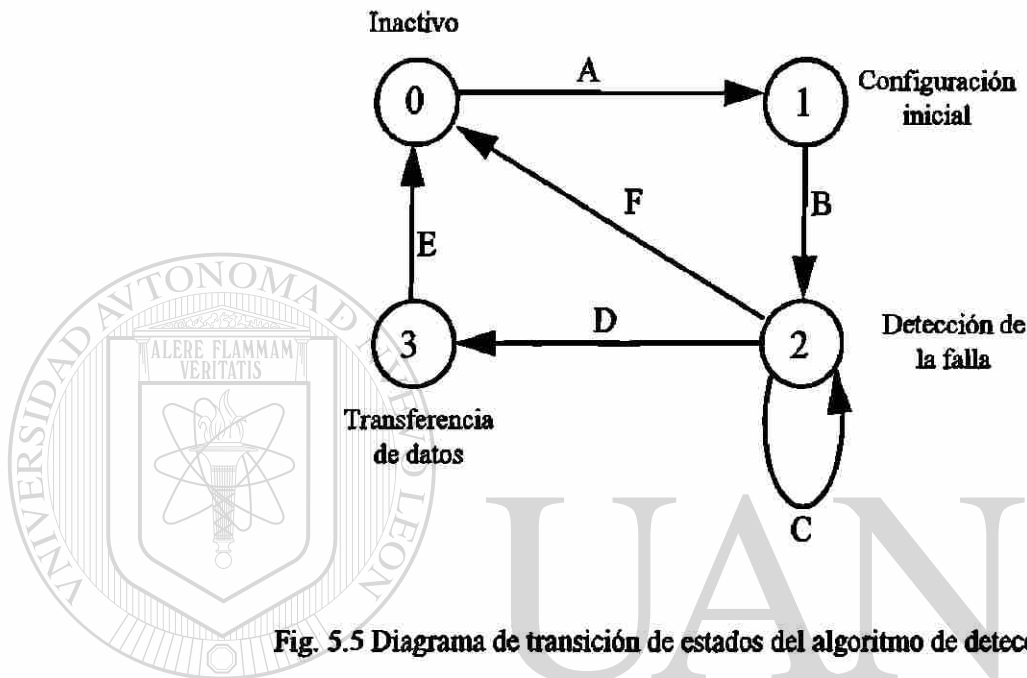
Aquí se leen los parámetros de configuración que envía el programa principal al momento de iniciar la ejecución del algoritmo de detección. Estos parámetros determinan la cantidad de entradas a monitorear, el intervalo de prefalla a memorizar y el umbral del detector. Enseguida se asigna dinámicamente memoria intermedia para almacenar la información de prefalla y se inicializa el algoritmo de detección. Por último, se pasa (B) al estado 2.

5.6.3 Estado 2: Detección de la falla

En este estado se ejecuta el esquema de filtrado digital para la detección del instante de la falla. Dicho esquema opera sobre las señales de voltaje y corriente y ejecuta un proceso iterativo que dispone y procesa los datos de las memorias intermedias de entrada, las señales de voltaje y corriente que ya han sido procesadas son depositadas en memorias intermedias circulares. Estos datos servirán posteriormente para recrear las condiciones de prefalla.

Cuando se detecta una falla se pasa (D) al estado 3. En caso contrario, se leen nuevos datos de entrada y el esquema de filtrado se repite (transición C).

El estado 2 pasará automáticamente al estado 0 cuando el programa principal envía una instrucción que detiene la ejecución del algoritmo de detección (transición F).



5.6.4 Estado 3: Transferencia de datos

En este estado se transfieren los datos de prefalla contenidos en las memorias intermedias circulares. Enseguida inicia la lectura de los datos de postfalla a partir de las memorias intermedias de entrada y se transfieren hacia la computadora anfitriona, este proceso se repite hasta que el programa principal envía una instrucción que detiene dicha transferencia, en este momento se pasa (E) al estado 0.

5.6.5 Transiciones entre los dispositivos

A continuación se describen cada una de las transiciones del diagrama de estado de la Fig. 5.5:

A) Inicia ejecución del algoritmo de detección.

- B) Lectura de los parámetros de configuración enviados por el programa principal y asignación de memoria intermedia para almacenar los datos de prefalla.
- C) No se detectó una falla, se leen las siguientes muestras de entrada y se les aplica el algoritmo de detección.
- D) Se detectó una falla.
- E) Finalizada la transferencia de los datos de prefalla y postfalla.
- F) Instrucción por parte del programa principal con el objeto de detener la ejecución del algoritmo de detección.

A continuación se presenta y describe la operación de las funciones y subrutinas de programación más importantes del algoritmo de detección. Dichas funciones son proporcionadas por el fabricante de la tarjeta y corresponden al lenguaje de programación C.

5.7 FUNCIONES PRINCIPALES DEL ALGORITMO DE DETECCIÓN

El algoritmo de detección fue programado en lenguaje C empleando las primitivas ofrecidas por el fabricante de la tarjeta procesadora, a continuación se presenta el código fuente de su programa principal o función “*main()*”. El algoritmo tiene capacidad de monitorear hasta 16 entradas analógicas y los estados de las 16 entradas discretas, al momento de detectar una falla transfiere los datos digitalizados de cada una de estas entradas directamente hacia la computadora anfitriona para su registro. A continuación se presenta el código C elaborado para este propósito:

```

/* Programa en C que implementa el algoritmo detector de fallas. */
/* Nombre del programa: DETEC1.C */

#include <cdapcc.h>
#include <math.h>

void main(PIB **plib)
{
    void **argv;
    int argc;

```

```

argv=param_process(plib,&argc,20,20, T_PIPE_W, T_PIPE_W, T_PIPE_W,
T_PIPE_W, T_PIPE_W, T_PIPE_W, T_PIPE_W, T_PIPE_W,
T_PIPE_W, T_PIPE_W, T_PIPE_W, T_PIPE_W, T_PIPE_W,
T_PIPE_W, T_PIPE_W, T_PIPE_W, T_PIPE_W, T_CONST_W,
T_CONST_W, T_PIPE_W);

detec1((PIPE *)argv[1], (PIPE *)argv[2], (PIPE *)argv[3], (PIPE *)argv[4],
(PIPE *)argv[5], (PIPE *)argv[6], (PIPE *)argv[7], (PIPE *)argv[8],
(PIPE *)argv[9], (PIPE *)argv[10], (PIPE *)argv[11], (PIPE *)argv[12],
(PIPE *)argv[13], (PIPE *)argv[14], (PIPE *)argv[15], (PIPE *)argv[16],
(PIPE *)argv[17], *(const int *)argv[18], *(const int *)argv[19], (PIPE *)argv[20]);
}

```

Enseguida se explica brevemente el código anterior. El archivo de cabecera CDAPCC.H define todas las constantes, macros, los tipos de datos y los prototipos requeridos para acceder a cada una de las funciones, propias del sistema operativo de la tarjeta procesadora. Los identificadores de los tipos PIB, PIPE, T_PIPE_W, T_CONST_W, y la función "*param_process()*", se definen en este mismo archivo.

El algoritmo de detección inicia su ejecución en la función "*main()*". El sistema operativo de la tarjeta procesadora le pasa a dicha función un puntero que contiene la dirección de inicio de cada uno de los parámetros que aceptará el programa. La función "*param_process()*" verifica que cada uno de estos parámetros sea del tipo correcto y devuelve un arreglo de punteros con la dirección de cada uno. El primer parámetro es *argv[1]*, el segundo *argv[2]*, etc.

La función "*detec1()*" es la encargada de ejecutar el algoritmo de detección. Los primeros 17 parámetros ((PIPE *)*argv[1]*, (PIPE *)*argv[2]*,..., (PIPE *)*argv[17]*) corresponden a las direcciones de inicio de cada una de las memorias intermedias de entrada, en estas memorias se depositan los datos digitalizados de cada una de las señales de entrada. El contenido de las primeras 16 memorias intermedias corresponden a los datos discretizados de las primeras 16 entradas analógicas. El contenido de la memoria intermedia 17 corresponde a los estados de las entradas discretas. Los parámetros 18 y 19 son constantes enteras que definen el periodo de prefalla y el umbral del detector. El parámetro 20 apunta a la dirección de inicio de la memoria intermedia de salida. En esta memoria son depositados los datos que

serán transferidos hacia la computadora anfitriona. La función “*detec10*” finaliza cuando el programa principal residente en la computadora anfitriona envía una instrucción STOP hacia la tarjeta procesadora.

Enseguida se muestra un listado con las instrucciones que preparan a la tarjeta procesadora para que ésta ejecute el algoritmo de detección, estas instrucciones se describen ampliamente en [22]. Las instrucciones son transferidas por el programa principal, residente en la computadora anfitriona, y posteriormente son interpretadas por el sistema operativo de la tarjeta procesadora. El algoritmo de detección inicia su ejecución después de la instrucción START.

```

;%DEFAULT %1 = 3
;%DEFAULT %2 = 500
RESET

IDEF A 17
  SET IP0 S0
  SET IP1 S1
  SET IP2 S2
  SET IP3 S3
  SET IP4 S4
  SET IP5 S5
  SET IP6 S6
  SET IP7 S7
  SET IP8 S8
  SET IP9 S9
  SET IP10 S10
  SET IP11 S11
  SET IP12 S12
  SET IP13 S13
  SET IP14 S14
  SET IP15 S15
  SET IP16 B0
  TIME 61.2
END

PDEF B
DETEC1(IP0,IP1,IP2,IP3,IP4,IP5,IP6,IP7,IP8,IP9,IP10,IP11,IP12,IP13,IP14,IP15,IP16,%1,%2,$BINOUT)
END

START A,B

```

UANL

UNIVERSIDAD AUTÓNOMA DE NUEVO LEÓN
 DIRECCIÓN GENERAL DE BIBLIOTECAS

®

5.8 CONCLUSIONES

- Se presentó la operación general del sistema describiendo para ello el funcionamiento del programa principal residente en la computadora anfitriona y el del algoritmo de detección ejecutado por la tarjeta procesadora; en ambos casos se describió su diagrama de transición de estados.
 - Se presentaron las características de la tarjeta acondicionadora, la cual acondiciona las señales analógicas de entrada, realiza el filtrado analógico pasabajos (*antialiasing*) a dichas señales y brinda aislamiento eléctrico a los circuitos de la tarjeta procesadora.
 - Se describieron las principales subrutinas del algoritmo de detección. Así mismo, se mostraron las instrucciones que acondicionan la tarjeta procesadora y las cuales permiten la ejecución de dicho algoritmo.
 - El programa principal envía instrucciones de configuración a la tarjeta procesadora, inicia y detiene el algoritmo de detección, registra los datos de una falla y atiende las tareas solicitadas por el teclado o módem.
-
- El algoritmo de detección muestrea y digitaliza las señales trifásicas de voltaje y corriente, ejecuta un filtrado digital sobre éstas últimas, memoriza un intervalo de prefalla de hasta 1.6 segundos (este tiempo es el máximo que permite la memoria de la tarjeta), establece el umbral del detector e inmediatamente después de detectar una falla realiza la transferencia de los datos de ésta, hacia la computadora anfitriona.
 - Al usar procesamiento paralelo se evita que la computadora anfitriona efectúe la carga computacional de la detección, de la cual se ocupa la tarjeta procesadora. Además, la independencia de ambos procesos permite la utilización de una computadora de baja capacidad, con lo que se disminuyen los costos del equipo.

CONCLUSIONES

6.1 CONCLUSIONES

Las nuevas familias de ventanas presentadas en el Capítulo 3 son adecuadas para aplicaciones de procesamiento de señales periódicas, estimación espectral y diseño de filtros digitales FIR, en particular en el diseño de filtros más precisos para medición fasorial.

La nueva familia de funciones de donde se obtiene las nuevas ventanas se aproximan a una curva gaussiana conforme se incrementa el factor leptógeno N . Además, modificando dicho factor y su duración D , se pueden definir ventanas con características espectrales específicas (anchura de su lóbulo principal y amplitud relativa de sus lóbulos laterales). Una vez definida una ventana se puede aplicar escalamiento temporal para mejorar sus características espectrales.

La ventana \bar{o}_4 , con $N=4$ y $D=3T$, supera a las ventanas convencionales en cuanto sus lóbulos laterales tienen una amplitud relativa inferior a los -55 dB. Sin embargo, su lóbulo principal es más ancho. Elimina prácticamente la interferencia entre contenidos espectrales vecinos. Por lo que se recomienda su uso en análisis armónico y en espectrogramas, donde la separación armónica es conocida.

Las respuestas impulsionales de los filtros convencionales de Fourier se forman restringiendo mediante una ventana rectangular las funciones seno y coseno. Para eliminar las armónicas, se requiere que la duración de la ventana rectangular sea múltiplo de un ciclo, y que el tiempo de muestreo sea una fracción de un ciclo. Debido a lo anterior, los filtros son

sensibles a las pequeñas desviaciones frecuenciales y permeables a la energía frecuencial interarmónica, lo que conduce a mediciones erróneas.

Los nuevos filtros digitales, obtenidos a partir de las nuevas ventanas, se liberan de las condiciones impuestas por la ventana rectangular en duración y tiempo de muestreo, eliminan la energía interarmónica, obteniendo mediciones más exactas, y superan el filtrado convencional de Fourier cuando la duración es superior a dos ciclos. La mejora en rendimiento de estos filtros se podría extender a otras aplicaciones, tales como en comunicaciones digitales, análisis armónico, la elaboración de espectrogramas, etc.

Los filtros pasapares presentados en el Capítulo 4, tienen ecuaciones de diferencia muy sencillas lo que los hace fácil de implementar en algoritmos computacionales, permiten el paso de las componentes pares, suprimen las componentes impares y su banda de paso se hace cada vez más estrecha al incrementar el factor leptógeno N , lo cual mejora su selectividad frecuencial. Sin embargo, al aumentar N se requiere más tiempo para la elaboración de cada muestra de salida.

Con los filtros pasapares y pasaimpares de orden dos, es posible implementar un separador armónico; el primero se emplea para la extracción de la energía de la banda base y es empleado para detectar fallas; el segundo se puede emplear para extraer la componente fundamental y es útil para aplicaciones de medición fasorial depurada.

El filtro pasapares de orden uno es el más adecuado para la detección del instante de la falla ya que cuenta con la respuesta de salida más rápida (requiere sólo de medio ciclo para procesar cada muestra de salida) y además es el más sensible. Dicho filtro extrae la energía de la componente aperiódica o de la discontinuidad que genera la falla; posee las bandas de paso más amplias y permite el paso de las componentes pares.

El programa principal y el algoritmo de detección trabajan en forma paralela, el primero es ejecutado en la computadora anfitriona mientras que el segundo en la tarjeta procesadora. Este procesamiento paralelo evita que la computadora anfitriona efectúe la carga computacional de la detección, de la cual se ocupa la tarjeta procesadora. Además, la

independencia de ambos procesos permite la utilización de una computadora anfitriona de baja capacidad, con lo que se disminuyen los costos del equipo.

6.2 APORTACIONES

Se presenta la teoría matemática, características temporales y espectrales y las aplicaciones en análisis espectral de una nueva familia de ventanas, las cuales tienen excelentes características espectrales y pueden emplearse en diversas aplicaciones de procesamiento de señales periódicas y en particular en el diseño de filtros digitales FIR. Estos filtros se han propuesto para mejorar al filtro convencional de Fourier en duraciones superiores a los dos ciclos, para los algoritmos de medición fasorial, con excelentes resultados en la supresión de ruido (lo cual se traduce en exactitud de la medición). Experiencias muestran que son, para una misma duración, diez veces más precisos en la medición comparado con el usado actualmente en los equipos comerciales.

Como otra importante aportación, se presenta el desarrollo matemático, características espectrales y ecuaciones de diferencia de una nueva familia de filtros peine, denominados filtros pasapares, así como de sus filtros complementarios: filtros pasaimpares. Se propone dicha familia para aplicaciones de detección de fallas en SEP y para depurar la señal antes de la medición fasorial. Además, se muestra el comportamiento de los filtros pasapares ante diversas señales de falla.

Se presenta el diseño de un detector de fallas el cual consiste de un filtro acoplado que permite el paso de la energía de la banda base y de un comparador de umbral que señala cuando dicha energía sobrepasa un cierto nivel. El detector opera sobre las señales de voltaje y corriente. Y su respuesta a la frecuencia elimina las componentes pares e impares.

Se presentan dos alternativas para dicho detector, la primera está integrada por un filtro pasapares de orden uno en conjunción con un filtro de promedio deslizante de medio ciclo; la segunda emplea el filtro pasapares de orden dos con un filtro de promedio deslizante de un ciclo. Se muestran los resultados al evaluar ambas alternativas ante diversas señales de falla.

Como principal aportación práctica de la presente investigación, se presenta el diseño de un sistema para registrar las señales trifásicas de voltaje y corriente cuando se presenta una falla en las subestaciones de un sistema eléctrico de potencia. El sistema se activa automáticamente ante dichas señales. Para ello emplea un algoritmo de filtrado digital el cual se ejecuta en una tarjeta procesadora de alta velocidad que trabaja en paralelo con el procesador de la computadora anfitriona.

Se define y documenta el código fuente del *software* elaborado tanto para el programa principal, residente en la computadora anfitriona, así como para el del algoritmo de detección ejecutado por la tarjeta procesadora.

Se describe el diseño y funcionamiento del *hardware* y *software* de la tarjeta procesadora y la forma de entablar comunicación. Además, se presenta la manera de transferir datos a alta velocidad y de programar tareas especializadas.

Como otra importante contribución, el diseño del sistema propuesto constituye una aportación a la tecnología nacional, ya que sustituye en gran medida el empleo de tecnologías extranjeras, liberando al usuario de la dependencia tecnológica en lo referente al mantenimiento de los algoritmos y protocolos de comunicación.

6.3 RECOMENDACIONES PARA TRABAJOS FUTUROS

Programar aplicaciones de medición fasorial en la tarjeta procesadora empleando los nuevos filtros pasapares y pasaimpares.

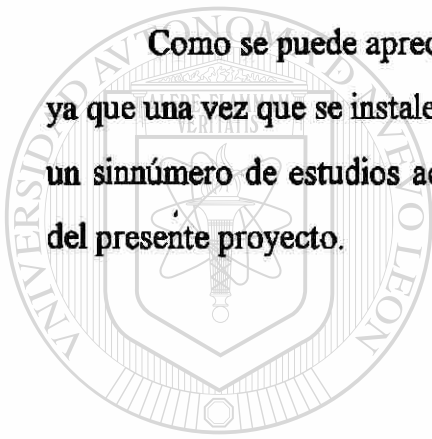
Realizar otros estudios en el área de detección de fallas (por ejemplo, el empleo de onduletas) y programar diferentes algoritmos de detección y medición en la tarjeta procesadora.

Diseñar un *software* para visualizar y explotar el contenido de los datos generados durante una falla.

Una vez que los datos sean registrados se recomienda realizar los siguientes estudios:

- **medición fasorial;**
- **variación dinámica de la frecuencia;**
- **medición de potencias activas y reactivas;**
- **análisis espectral (espectrogramas);**
- **identificación de los modelos dinámicos de oscilaciones electromecánicas,**
- **y estudios de perturbaciones en generadores.**

Como se puede apreciar son muchos campos de investigación los que abre este trabajo ya que una vez que se instalen los equipos en las subestaciones y arrojen los primeros archivos un sinnúmero de estudios actualmente imposibles, serán ahora factibles gracias al desarrollo del presente proyecto.



UANL

UNIVERSIDAD AUTÓNOMA DE NUEVO LEÓN



DIRECCIÓN GENERAL DE BIBLIOTECAS

REFERENCIAS

- [1] A.V. Oppenheim and R.W. Schaffer, *Discrete Time Signal Processing*, New Jersey: Prentice Hall, 1989.
- [2] R.R. Treviño y J.A. de la O, "Diseño de un registrador de oscilaciones Electromecánicas," *XI Reunión de Verano de Potencia del IEEE Sección México*, Acapulco, Guerrero, México, Julio de 1998.
- [3] J.A. de la O, "Extractor de señal aperiódica en corrientes de falla," *X Reunión de Verano de Potencia del IEEE Sección México*, Acapulco, Guerrero, México, Julio de 1997.
- [4] R.R. Treviño y J.A. de la O, "Una nueva ventana para estimación espectral," *SIEEEM-96*, Simposio del IEEE Sección Monterrey, Monterrey, N.L., Octubre de 1996.
- [5] J.A. de la O and R. R. Treviño, "New Window for Spectral Analysis," Conference Proceedings of the International Conference on Signal Processing Applications & Technology, ICSPAT, vol. 1, San Diego, CA, september 1997, pp 682-686.
- [6] J.A. de la O, H.J. Altuve and I. Díaz, "A new digital filter for phasor computation, Part I: Theory," *Proceedings of the 20th International Conference on Power Industry Computer Applications*, Columbus, Ohio, May 1997, pp. 78-83. Artículo No. PE-176-PWRS-16-09-1997 en *IEEE Transactions on Power Systems*.
- [7] H.J. Altuve, I. Díaz and J.A. de la O, "A new digital filter for phasor computation, Part II: Evaluation," *Proceedings of the 20th International Conference on Power Industry Computer Applications*, Columbus, Ohio, May 1997, pp. 84-89. Artículo No. PE-086-PWRS-16-09-1997 en *IEEE Transactions on Power Systems*.
- [8] A. Papoulis, *Random Variables and Stochastic Proces.* New York: Mc Graw Hill, 1991.
- [9] D.J. DeFatta, J.G. Lucas, and W.S. Hodgkiss, *Digital Signal Processing: A System Design Approach*. New York: John Wiley, 1988.
- [10] J.G. Proakis and D.G. Manolakis, *Digital Signal Processing, Principles, Algorithms, and Applications*, New Jersey, Prentice Hall, 1996.
- [11] F.J. Harris, "On the Use of Windows for Harmonic Analysis with the Discrete Fourier Transform," *Proceedings IEEE*, 66(1): January 1978.
- [12] J.G. Proakis, *Digital Communications*, McGraw Hill, 1995

- [13] R.R. Treviño y J.A. de la O, "Principios esenciales de procesamiento de señales digitales para el ingeniero electricista," *XI Reunión de Verano de Potencia del IEEE Sección México*, Acapulco, Guerrero, México, Julio de 1998.
- [14] J.G. Proakis, C.M. Rader, F. Ling and C.L. Nikias, *Advanced Digital Signal Processing*. New York: Maxwell Macmillan, 1992.
- [15] E.A. Guillemin, *Synthesis of Pasivve Networks*, Jhon Wiley and Sons, New York, 1957.
- [16] R.W. Daniels, *Approximation Methods for Electronic Filter Design*, McGraw Hill, New York, 1974.
- [17] H. Lam, *Analog and Digital Filters: Design and Realization*, Prentice Hall, New Jersey, 1989.
- [18] A.G. Phadke and J.S. Thorp, *Computer Relaying for Power System*, Research Study Press Ltd., Jhon Wiley & Sons Inc., 1988.
- [19] I. Díaz, *Estudio Comparativo de Algoritmos de Filtrado Digital para Protección de Líneas de Transmisión*, Tesis de Maestría en Ciencias, FIME-UANL, Diciembre de 1994.
- [20] J.A. de la O y M.A. Escobar, "Red de comunicaciones para la monitorización de fallas en líneas de transmisión," *X Reunión de Verano de Potencia del IEEE Sección México*, Acapulco, Guerrero, México, Julio de 1997.
-
- [21] Data Acquisition Processor Hardware Manual, Analog Accelerator Series Microstar Laboratories, Inc., Version 4.2, 1993
- [22] Data Acquisition Processor DAPL Manual, Analog Accelerator Series Microstar Laboratories, Inc., Version 4.2, 1993
- [23] Data Acquisition Processor Systems Manual, Analog Accelerator Series Microstar Laboratories, Inc., Version 4.2, 1993
- [24] Data Acquisition Processor Advanced Development Toolkit Manual, Analog Accelerator Series Microstar Laboratories, Inc., Version 3.0
- [25] Data Acquisition Processor Applications Manual, Analog Accelerator Series Microstar Laboratories, Inc., Version 4.2, 1993
- [26] Library Reference, Borland C++ , Version 3.1, 1992.
- [27] Microsft C/C++ Compiler, Version 7.0, 1992.

- [28] S.H. Horowitz and A.G. Phadke, *Power System Relaying*, Research Studies Press, John Wiley and Sons, 1992.
- [29] IEEE Task Force on Instrumentation for System Dynamic Performance, "Power system disturbance monitoring: utility experiences," *IEEE Transactions on Power System*, Vol. 3, No. 1, February 1988, pp. 134-148.
- [30] "Application of fault and disturbance recording devices for protective system analysis," IEEE PSRC Special Publication no. 87TH0195-8-PWR, Jul. 1987.
- [31] P. Bornard, J.M. Tesson, J.C. Bastide and M. Nourris, "Field experience of digital fault recorders and distance relay in EHV substations," *IEEE Transactions on Power Apparatus and Systems*, Vol. PAS-103, No. 1, January 1984.
- [32] A.R. Kemp, "Portable minicomputer modem system for collecting field data," *Proceedings of the IEEE Power Industry Computer Applications Conference*, 1977, pp. 403-406.
- [33] G. Bruschi, U. Di Caprio and V. Marchese, "Experiences of use of RIPES system for the detection of electro-mechanical disturbances in the ENEL network," CIGRE Paper No. 81 EX05, International Conference on Large High Voltage Electric Systems, Study Committee 32 Meeting in Rio De Janeiro, September 21-24, 1981.
- [34] G.O. Hensman, L. Morige and D. Westmacott, "The CEGB's new power system disturbance monitoring equipment," Third International Conference on Sources and Effects of Power System Disturbances, May 5-7, 1982, IEE (London) Conference Publication No. 210, pp. 177-182.
- [35] T.W. Clewes, R.H.S. Hardy, L.B. McCuskee, R.P. Moffat and W.E. Norum, "A digital transient recorder for power system monitoring and analysis," *IEEE Transactions on Power Apparatus and Systems*, Vol. PAS-102, No. 7, July 1983.
- [36] *Microprocessor Relays and Protection Systems*, M.S. Sachdev (Coordinator), *IEEE Tutorial Course Text*, Publication No. 88EH0269-1-PWR, February 1988.
- [37] E.O. Schweitzer and Daqing Hou, "Filtering for protective relays," *19th Annual Western Protective Relay Conference*, Spokane, Washington, October 1992.
- [38] J.A. de la O, R.R. Treviño y M.A. Escobar, "Diseño de una red de registradores de disturbios eléctricos," *Memorias SOMI XIII Congreso de Instrumentación*, Ensenada, Baja California Norte, México, Octubre 1998, pp. 356-361.
- [39] IEEE Task Force on Instrumentation for System Dynamic Performance, *Instrumentation for Monitoring Power System Dynamic Performance*, *IEEE Transactions on Power Systems*, Vol. PWRS-2, No.1, February 1987.

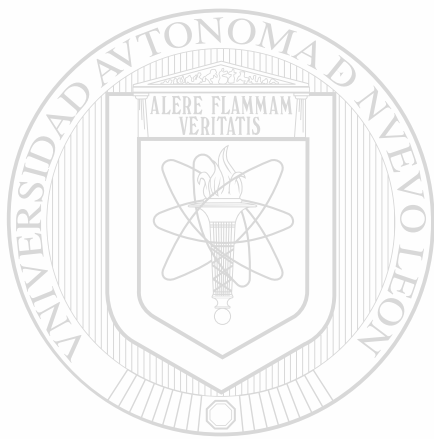
- [40] C.E. Grund, G. Sweezy, J.F. Hauer, S.J. Balser and S. Nilsson, "Dynamic System Monitoring (DSM) for HVDC Modulation Control," *IEEE Transactions on Power Delivery*, Vol. 8, No. 3, July 1993.
- [41] Registrador de fallas REFA-02, Kitron. Instructivo de operación. GPI Mexicana de alta Tecnología, S.A. de C.V. Abril 1997.
- [42] Registrador de fallas BEN-5000, Boletín informativo, Electronic Instruments International, Publicación No. EN01-100-PRE200-0896.
- [43] Registrador de fallas Transcan 2000™ IED, Boletín informativo, Mehta Tech, Inc., Abril 1998.
- [44] Registrador de fallas FAXTRAX DFR, Boletín informativo, e-max Instruments Inc., Publicación No. dfrcomp.963110, Octubre 1996.
- [45] Reporte de Investigación del proyecto "Registrador de Variables Dinámicas", Programa Doctoral en Ingeniería Eléctrica, FIME, UANL, Diciembre de 1998.
- [46] J.A. de la O, "New family of windows for digital signal processing," Proceedings of the IASTED International Conference, Las Vegas, Nevada, USA, October 1998, pp. 99-103.
- [47] J.A. de la O, "New family of frequency selective digital filters," Proceedings of the International Conference on Signal Processing Applications & Technology, ICSPAT, vol. 1, Toronto, Canada, september 1998, pp 439-443.
-
- [48] DLP - Digital Line Protection, General Electric, GET-8037 Report.
- [49] Programa URPC, Software para el manejo de unidades remotas de GE, disponible electrónicamente en el sitio <http://www.ge.com/eds/pm>.

RESUMEN AUTOBIOGRÁFICO

Rodolfo Rubén Treviño Martínez nació en Monterrey, Nuevo León, México, el 11 de Marzo de 1972. Sus padres son el Sr. Mario Alberto Treviño Albeldaño y la Sra. María Candelaria Martínez de Treviño. En Septiembre de 1990 recibió el premio al Mérito Académico que otorga la UANL por haber obtenido el primer lugar en la generación 1987-1990 de la Preparatoria Técnica Pablo Livas. En Diciembre de 1994 finaliza los estudios de Licenciatura. En Febrero de 1996 recibió el título de Ingeniero en Electrónica y Comunicaciones en la Facultad de Ingeniería Mecánica y Eléctrica de la UANL con Mención Honorífica. En Febrero de 1995 inició sus estudios de Postgrado (becado por CONACyT) en la misma Facultad; durante el semestre Agosto 1997 - Enero 1998, trabajó como profesor a nivel Licenciatura en la Facultad de Ingeniería Mecánica y Eléctrica de la UANL, impartiendo las Cátedras de Electrónica III (Amplificadores operacionales) y Programación II (Lenguaje C). La tesis desarrollada para obtener el grado de Maestro en Ciencias de la Ingeniería en Telecomunicaciones fue: "Nueva Familia de Ventanas para Estimación Espectral y Diseño de Filtros Digitales". En Febrero de 1999 inició sus estudios de Doctorado en Ingeniería Eléctrica en la misma Facultad.

UNIVERSIDAD AUTÓNOMA DE NUEVO LEÓN

DIRECCIÓN GENERAL DE BIBLIOTECAS



UANL

UNIVERSIDAD AUTÓNOMA DE NUEVO LEÓN



DIRECCIÓN GENERAL DE BIBLIOTECAS



